

T.C.  
Marmara Üniversitesi  
Fen Bilimleri Enstitüsü

5091

Elektrofizyolojik Ölçümler İçin Düşük  
Gürültülü, Mikro-İşlemci Kontrollü Ça  
lışabilen Genel Amaçlı Yükseltic̄

(YÜKSEK LİSANS TEZİ)

Mehmet ENGİN

Tez Yöneticisi: Yrd.Doç.Dr.Burhanettin CAN

İstanbul-1987

Y. C.  
Yükseköğretim Kurulu  
Dokümantasyon Merkezi

(I)

Bu çalışmamda, değerli zamanlarımı ayırarak, büyük bir ilgi ile beni destekleyen, Marmara Üniversitesi Teknik Eğitim Fakültesi Öğretim Üyesi Sayın Hocam, Yrd.Doç.Dr.Burhanettin Can'a en içten teşekkürlerimi sunarım.

Sayısal filtreleme konusunda, bana yol göstererek, yardımalarını esirgemeyen Sayın Prof.Dr.Ergür Tütüncüoğlu'na teşekkürü borç bilirim.

Ayrıca, tez konumla ilgili olarak doküman açısından yardımcı olan, Sayın Öğretim Görevlisi Murat Demirer'e de ayrıca teşekkür ederim.

Mehmet ENGİN

Eylül 1987-Kocaeli

## (II)

### ÖZET

Fizyolojik kökenli işaretlerin değerlendirilebilmesi için, öncelikle bunların vücuttan algılanmaları gelir. Bu işaretler; kalp, beyin, sinir ve kas sistemi v.b. hakkında bilgi vererek hastalıkların teşhisinde yardımcı olurlar. Bunlar, kullanılan ölçüm sistemine göre isimlendirilirler. Örnek vermek gerekirse; Elektrokardiyogram (ECG), Elektroensefalogram (EEG), Elektromiyogram (EMG) v.b. sayılabilir.

Elektrotlar yardımıyla elektriksel potansiyeller halinde elde edilen bu işaretler, genellikle  $10\mu V$ -200 mV ile DC-20KHz kademeleri arasında yer alırlar. Bunların yorumlanıp değerlendirilebilmeleri için, yeterli genlik düzeyine çıkarılmaları ve istenmeyen etkilerden (gürültüler) arındırılmaları gerekecektir.

Biyo-işaretlerin işlenebilmesi için, kalibrasyona sahip kazanç ile filtreleme işlemlerinin yerine getirilmesi gerekmektedir. Bu amaç için, elektronik devrelerin kullanılması kaçınılmazdır. Çünkü elektronik devrelerle dinamik olarak, kazanç ve filtreleme işlemleri rahatlıkla sağlanabilir.  
Bu tür bir elektronik sistem; gürültü etkisi en az düzeyde ve band genişliği yeterli büyüklükte olan genel amaçlı bir yükselteç olacaktır.

Çalışmamızın kapsamına giren yükselteçde, yalıtım (isolation) devresi ile hasta şebeke etkilerinden korunmaktadır. Ayrıca devrede, kazanç ve filtreleme olayları dinamik olarak mikro işlemci denetimi ile yapılabilmektedir.

Tezin ikinci bölümünde; biyo-işaretler ve bunların algılanmaları incelenmiştir. Daha sonra sayısal işaret işleme tekniğinin özellikleri üzerinde durulmuştur. Bu arada analog-sayısal dönüştürmenin esasını oluşturan, örnekleme ve kuantalama işlemleri de incelenmiştir.

Fiziksel prototip olarak gerçekleştirdiğimiz yükselteç sisteminde en önemli birimlerden birisi filtre devresi olmaktadır. Burada kullandığımız Anahtarlanmış-Kapasitör Filtreler, öncelikle eleman bazında incelenmişlerdir. Daha sonra滤波器 tasarımları hesapları yapılmıştır.

Son olarak deneysel çalışmalar aracılığı ile sistemin performansı belirlenmiştir.

### (III)

#### ABSTRACT

To take into count physiological signals, firstly these signals must be taken from the body. These signals help to identify the illnesses by giving information about heart, brain, nerve and muscle systems.

These are called according to the used measurement system. To give an example, these are electrocardiogram(EGC), electroencephalogram (EEG).

These signals which are received in the form of electrical potentials by the help of electrodes generally take place between the ranges  $10\mu V$ - $200mV$  and DC-20 KHz. In order to interpret and perceive these signals, it is necessary to bring the signals to the sufficient amplitude level and to eliminate from unwanted noise.

To process bio-signals, the calibrated gain and filtering must be performed. For this aim, electronic circuits must be used. Because gain and filtering process can be easily provided by electronic circuits as a dynamic process. This kind of electronic system will be a generally aimed amplifier having the least level noise effect and band-width sufficient size.

On the amplifier concerned with our work, a patient has been protected from power line effects by the isolation circuit. In addition to this, gain and filtering process have been performed in the circuit by micro-processor controlling as a dynamic operation.

In the second chapter of the thesis, bio-signals and their receptions have been studied on. Then digital signal processing technic features have been examined. At the same time sampling and quantisation processes forming analog-Digital conversion has been investigated, too.

In the system amplifier which we realised physically, one of the most important units is the filter circuit. Switched-Capacitor Filters used by us firstly have been investigated as an element. Then filter design is performed.

Finally, the system performance has been determined by the experimental works.

(IV)

S E M B O L E R

- f : frekans  
 $\omega$  : Açısal frekans  
 $\theta$  : Açı  
 $\langle X(t) \rangle$  : Ortalama değerler toplamı  
 $X_k(t)$  : Ortalama değer  
 $\tau$  : İki örnek alma süresi arasındaki uzaklık  
 $R(\tau)$  : Oto korelasyon fonksiyonu  
 $X^2$  : Kare ortalama değer  
 $p(X)$  : Olasılık yoğunluk fonksiyonu  
 $P(X)$  : Olasılıklı dağılım fonksiyonu  
 $X(f)$  :  $X(t)$ 'nin Fourier dönüşümü  
 $S(f)$  : Spektral güç yoğunluğu fonksiyonu  
B : İşaretin band genişliği  
 $f_o$  : Örnekleme frekansı  
T : İşaret peryodu  
h : Örnekleme aralığı  
 $\delta(t)$  : Delta fonksiyonu (impals fonksiyonu)  
 $X_q(t)$  : Kuantallanmış işaret  
 $v$  : Analog giriş işaretti  
 $A_v$  : Gerilim kazancı  
 $V(s)$  :  $V(t)$ 'nin Laplace Dönüşümü  
 $H(s)$  : Transfer fonksiyonu  
S : Karmaşık (complex) frekans  
 $H_o$  : Transfer fonksiyonunun genliği  
H : Filtre gerilim aktarma oranı

## İÇİNDEKİLER

1- GİRİŞ	
1.1 Ölçüm sisteminin genel tanıtımı.....	1
1.2 Tezin konusu ve kapsamı.....	2
2-BİYO-İŞARETLER VE ALGILANMALARI	
2.1 Kalıcı ve etkin potansiyeller.....	4
2.2 Etkin potansiyellerinin yayılımı ve biyo-elektrik potansiyeller	5
2.2.1 Elektro kardiyogram (ECG).....	6
2.2.2 Elektroensefalogram (EEG).....	7
2.2.3 Elektromiyogram (EMG).....	9
2.2.4 Diğer biyoelektrik potansiyeller.....	10
2.3 İşaretlerin algılanması-Elektrotlar.....	10
2.3.1 Elektrot teorisi.....	10
2.3.2 Biyo-potansiyel elektrotları.....	11
2.3.3 Elektrokardiyografi.....	13
3.SAYISAL İŞARET İŞLEME TEKNİĞİ	
3.1 İşaret ve işaret çeşitleri.....	16
3.2 İşaretlerin sınıflandırılması.....	16
3.3 Random işaretlerin yapısı.....	17
3.3.1 Genlik düzleminde değerlendirme.....	18
3.3.2 Zaman düzleminde değerlendirme.....	19
3.3.3 Frekans düzleminde değerlendirme.....	20
3.4 İşaret analizi yöntemi.....	21
3.5 Sürekli bilginin sayısallaştırılması.....	22
3.5.1 Örnekleme.....	22
3.5.2 Kuantalama.....	23
3.6 Bilgisayar tabanlı işaret işleme teknikleri.....	24
3.6.1 Sayısal Filtreleme.....	25
3.6.2 Şebeke gürültüsünün atılmasına ilişkin teknik.....	27
4-ÖN YÜKSELTEC	
4.1 Temel prensipler.....	29
4.2 Tasarım Özellikleri.....	30
4.3 Yalıtım ve kalibratör.....	31
4.4 Gürültü davranışı.....	32
5- TEMEL FİLTRE İNCELEMESİ	
5.1 Temelfiltreleme olayı.....	34
5.2 Filtre analizine matematiksel yaklaşım.....	34
5.3 Bazı kullanışlı filter karakteristikleri.....	36
5.3.1 Butterworth Filtre.....	37
5.3.2 Chebyshev Filtre.....	38
5.3.3 Bessel Filtre.....	39
5.3.4 Eliptic Filtre.....	39
5.4 Aktif ve pasif filterlerinin karşılaştırılması.....	40
6-ANAHTARLANMIŞ KAPASİTÖR FİLTRELERİ(A.K.F.)	
6.1 Anahtarlanmış, kapasitör-direnç.....	41
6.2 Anahtarlanmış, kapasitör-integratör.....	42
6.3 A.K. Filtrelerin örneklenmiş veri sistemi olarak incelenmesi..	44
6.3.1 Çıkışadımları.....	44
6.3.2 Saat (clock) beslemesi.....	45
6.3.3 Off-set gerilim.....	45
6.3.4 Isıl gürültü.....	45
6.4 A.K.F. ile filter tasarım.....	45
6.4.1 Tasarıma ilişkin yaklaşım.....	46
6.4.2 Butterworth alçak geçiren filter tasarım.....	47
6.4.3 Butterworth yüksek geçiren filter tasarım.....	51

<b>7-DİĞER DEVRE BİRİMLERİ</b>	
7.1 Analog anahtar (4066).....	5
7.2 Analog çoğullayıcı (4051) ve ana yükseltçeç.....	5
<b>8-SONUÇLAR VE TARTIŞMA</b>	
8.1 Ön yükseltçeç.....	5
8.2 Diğer devre birimleri.....	5
8.2.1 Analog anahtar (1.4066)nın test edilmesi.....	5
8.2.2 Analog çoğullacının (4051)test edilmesi.....	6
8.2.3 Filtrelerin test edilmesi.....	6
<b>EK.A. MİKRO İŞLEMCI YAPISI VE 8085A MİKRO İŞLEMCİSİ</b>	
E.A.1 Mikro işlemci genel yapısı ve özellikleri.....	6
E.A.2 Kontrol birimi.....	6
E.A.3 İç yazıcılar.....	6
E.A.4 Aritmetik-mantık birimi.....	6
E.A.5 8085A Mikro işlemcisi.....	6
<b>EA.B. MF10 ÜNİVERSAL MONOLİTİK DÜAL ANAHTARLANMIŞ KAPASİTÖR FİLTRESİ</b>	
VERİ YAPRAKLARI	
E.B.1 MF10'un teknik Özellikleri.....	7
E.B.2 Terimlerin tanımlanması.....	7
E.B.3 Uçlara (pin) ait açıklamalar.....	7
E.B.4 Çalışma mod'lari.....	7
E.B.4.1Mod.1: Band durduraklı, Band geçiren, alçak çıkışlar.....	7
E.B.4.2Mod.3: Yüksek geçiren, Band geçiren, alçak geçiren çıkış.....	7
<b>EK.C TABLO VE ŞEMALAR</b>	
Tablo E.C.1. Biyoelektrik potansiyeller.....	7
Şekil E.C.1. Elektriksel şema.....	7
Şekil E.C.2. Baskı devre şeması.....	82
Şekil E.C.3. Yerleştirme planı.....	83
<b>KAYNAK YAYINLAR</b> .....	84
<b>ÖZGEÇMİŞ</b> .....	85

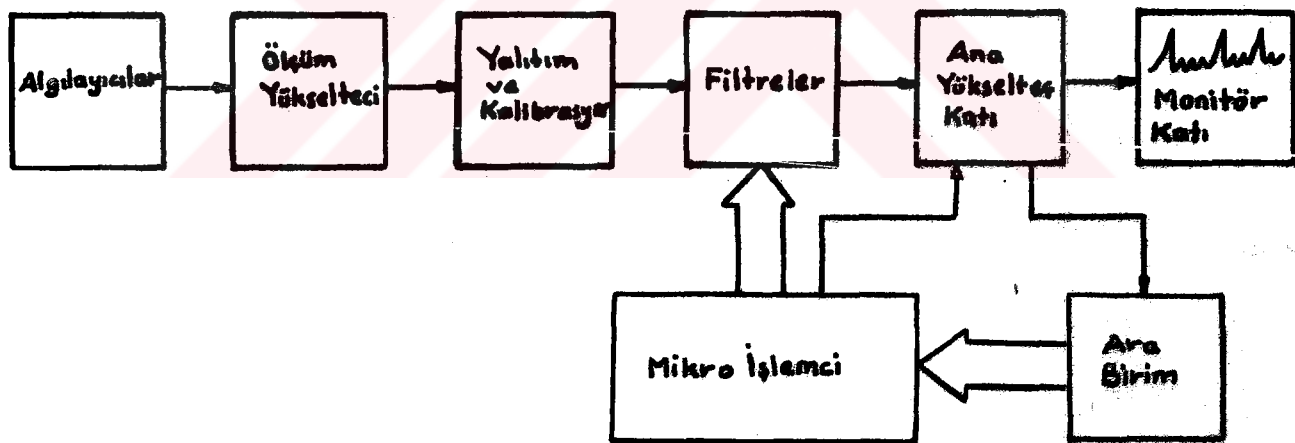
## 1. BÖLÜM

## GİRİŞ

Günümüzde hastalıkların teshisinde, vücutun ilgili kısımlarından gelen fizyolojik işaretlerin (signals) kullanılması çok önem kazanmıştır. Bu işaretlerin yorumlanabilmesi; bunların fizyolojik kökenleri hakkında bilgi sahibi olmayı gerektirir. Bununla birlikte bu tür işaretlerin görünebilir duruma gelmesi için, gelişmiş teknik ekipmanlara ihtiyaç duyulmaktadır.

İncelenen biyo-işaretlerin içerisinde istenmeyen etkilerde karışmaktadır. Bu etkiler; fizyolojik kökenli olabileceği gibi, ölçüm sırasında dış ortamdan da gelebilir. Vücuttan alınan biyo-potansiyeller, rast gele değişim özellikle dirler (random). Bütün bu sayılan nedenlerden dolayı, işaretin işlenmesi (processing) gerekecektir. Ancak, bu durumda anlamlı bir duruma gelebilirler.

İşaret işlemesinin (signal processing) temel düşüncesi; işaret gürültü oranının yükseltilmesidir. Ancak böylelikle istenmeyen etkiler atılabilir. Bu proses içerisinde; yeterli bir kazancın sağlanması, kalibrasyon, filtreleme işlemleri girmektedir. Böylebir işlem zinciri en uygun şekilde, sayısal bilgisayar veya mikro- işlemci denetiminde gerçekleştirilebilir. Bu özelliklerini yerine getirebilecek, "Ölçüm sistemi"nin incelenmesi tezimizin amacı olup, sistem Şekil 1.1'de gösterilmiştir.



Şekil 1.1 Tüm yükselticinin blok diyagramı.

#### 1.1 Ölçüm sisteminin genel tanıtımı

Blok diyagramdan görüleceği gibi, ana elemanlar olarak yükseltic ve filtre katları gelmektedir. Filtrelerden itibaren, yer alan birimler mikro- işlemci denetimi altında çalışırlar. Elektrotlarla vücuttan alınan biyo-potansiyeller doğrudan ölçüm yükseltchine uygulanırlar.

W. G.

Yükseköğretim Kurulu  
Dokümantasyon Merkezi

Bu devre esasen, bir farksal girişli yükseltedir. En büyük Özelliği giriş empedansının çok büyük olmasıdır. Bununla birlikte, elekrot "dengesizlik" (off-set) gerilimlerinin konpanzasyonu için gerekli özelliğe de sahiptir. Takip eden kısım, yalıtım ünitesidir. Bununla, ölçüm sırasında hastayı şebeke etkilerinden korumak amaçlanmaktadır. Bu iş için optik aktarıcı (opto-coupler) CNY21 kullanılmıştır. Ölçüm yükseltici ve yalıtım birimleri, ön yükseltic kışını oluştururlar. Kalibrasyon devresi esasen yüksek kazançlı bir işlemel yükseltic olup, ön yükseltic kazancının istenen kademe ile kalmasını sağlar.

İşaretin, gürültü etkilerinden arındırılması için, onun spektral yapısının (frekans kompozisyonunun) korunması gereklidir. Bu tür bir işlem ancak iyi bir filtreleme ile gerçekleşir. Fakat frekans sınırları ayarlanamayan filtre kullanılırsa; bazen işaretin istenen frekans bileşenleri de zayıflatılabilir. Bu yuzden, dinamik olarak ayarlanabilen sayısal denetimli filitreler kullanılmaktadır.

Filtre ünitesinden sonra, kazancın ayarlanabilmesi amacıyla yine; sayısal denetimli "Analog çoğullayıcı" (Analog multiplexer) yer almıştır. Esasen; analog çoğullayıcı ile seçilen direnç ana yükseltic kazancını değiştirmektedir. Bu ana yükselticin dengesizlik ayarı da yine mikro-islemci ile yapılmaktadır.

Son birim, elde edilen işaretin güç kazancına ugratılarak, ekranda veya bir grafik kağıdında gösterilmesini sağlar. Sistemin mikro-islemci ile denetlenmesi için, çıkıştan alınan örneğin sayısal biçimde sokulması gereklidir. Bu amaçla, analog-sayısal dönüştüricilerden faydalanan. Sekiz bitlik bir çözümleme için, tipik bir mikro-islemci rahatlıkla kullanılabilir.

### 1.2 Tezin konusu ve kapsamı

Tez çalışmamızda öncelikle, yukarıda sayılan özelliklere sahip bir ölçüm yükselticinin (Instrumentation Amplifier) tasarlanması amaçlanmıştır. Bundan önce; biyo-isaretlerin fizyolojik kaynakları incelenerek, işaretlere ait gerekli özelliklerin ortaya çıkarılması yoluna gidilmiştir.

Daha sonra genel elekrot teorisi ve bunların bağlantı tipleri kabaca gözden geçirilmiştir. Bu aşamadan sonra işaret işlemesindeki temel özellikler ve gereksinimler üzerinde durulmuştur.

Konumuzu oluşturan yükseltic sistemi günümüzde; nöroloji, optalmoloji ve kardiyoloji labaratuvarlarında kullanılabilmektedir (1). Sistemin mikro-islemci birimleri ve monitör kısmı hariç, diğer devreler prototip olarak gerçekleştirilmiştir. Pratik çalışmamızın en önemli yanlarından birisi; yalıtım olayının optik yöntemle gerçekleştirilmesidir. Diğer kısmı; ilerde sayılacak üstünlüklerinden dolayı aktif filtrelerin yerine, Anahtarlanmış-kapasitör filtrelerinin (Switched Capacitor Filters) adapte edilmesidir.

Sistemin mikro-islemci denetimindeki kısımlarının performansı test edilirken; statik yöntemle ölçme yapılarak, mikro-islemci denetimi altındaki çalışma, simülle edilmiştir. Bu arada, devre birimlirine ait tasarım hesaplamalarında yer verilmiştir. Filtrelerin sınır değerleri değişken olduğundan bunlara ilişkin hesaplamalar, örnek değerler için yapılmıştır. Bu hesaplamalarda; anahtarlanmış-kapasitör filtre devrelerinin özeliklerinden dolayı, filtre tipi değişmemektedir. Zira bu tip filtrelerde devre tipi, dışarıdan bağlanan bir kaç direnç değerine

bağımlıdır. A.K.F.'lerde sınır frekansları esasen; saat (clock) frekansı ile merkez frekansı arasındaki orana bağlıdır. Bu işlem, mikroişlemci tarafından üretilen saat dörtləri ile yapılmaktadır. Böylelikle filtreler dinamik olaraq ayarlanabilmektedirler.

Özellikle yapılan deneysel çalışmalarla alınan ölçüm değerleri ile; teori-deney uyumluluğu vurgulanmaya çalışılmıştır.

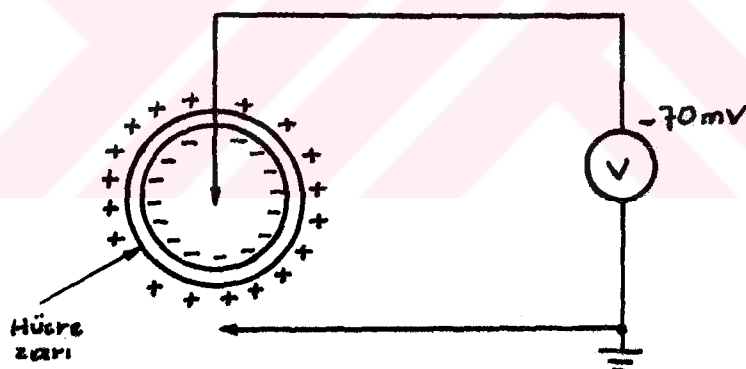
2. BÖLÜM  
BİYO-İŞARETLER VE ALGILANMALARI

Vücutun ürettiği fizyolojik işaretler, ilgili vücut bölgisi-ne ait çok faydalı bilgiler taşırlar. Biyo-elektrik potansiyeller; sinir iletimi, beyin aktivitesi(action), kalp vurusu, kas aktivitesi ve diğer etkileri ifade ederler. Bu potansiyeller, bazı özel tip hücrelerin elektro-kimyasal etkileri sonucunda oluşan iyonik gerilimlerdir (2). Elektrotlar yardımıyla elektiriksel gerilime çevrilirler.

Çok tanınan biyo-ışaretler; Elektrokardiyogram (ECG) Elektroensefalogram (EEG), Elektromiyogram(EMG) olarak sayılabilir. Bunlar sırasıyla; kalp, beyin ve kas aktivitelerini ifade ederler. Vücutun elektrik aktivitesi 1903 yıllarında keşfedildi. Günümüzde, elektronik sistemlerin gelişmesiyle bu işaretler daha iyi incelenmiştir.

2.1 Kalıcı ve Etkin Potansiyeller.

Bir kısım hücreler, bazı maddeleri içeriye alan bazılarını da geçirmeyen yapıdaki yarı geçirgen bir zar(Membran) ile kaplıdır. Zarın yapısı ve mekanizması tam olarak bilinmemektedir (2). Vücut hücrelerinin civarı, iletgen çözeltileri kapsayan iyonlardan oluşmuştur ve vücut sıvısı ile kaplıdır. Bu iyonlar; Sodyum ( $\text{Na}^+$ ), Potasyum ( $\text{K}^+$ ) ve Klorit ( $\text{Cl}^-$ ) dir. Uyarılabilen hücrelerin zarları, potasyum ve klorit iyonlarının geçişine izin verirken sodyum iyonlarını durdurur (2). Zarın civarındaki sodyum iyonlarının pozitif olmasından dolayı zarın dışı, içeresine göre daha pozitiftir. Şekil: 2.1 de gösterildiği gibi bu potansiyel farkına "Kalıcı potansiyel" (Resting potential) denilmektedir ve yaklaşık olarak  $-60 \text{ mV}$  ve  $-100 \text{ mV}$  arasındadır (2).

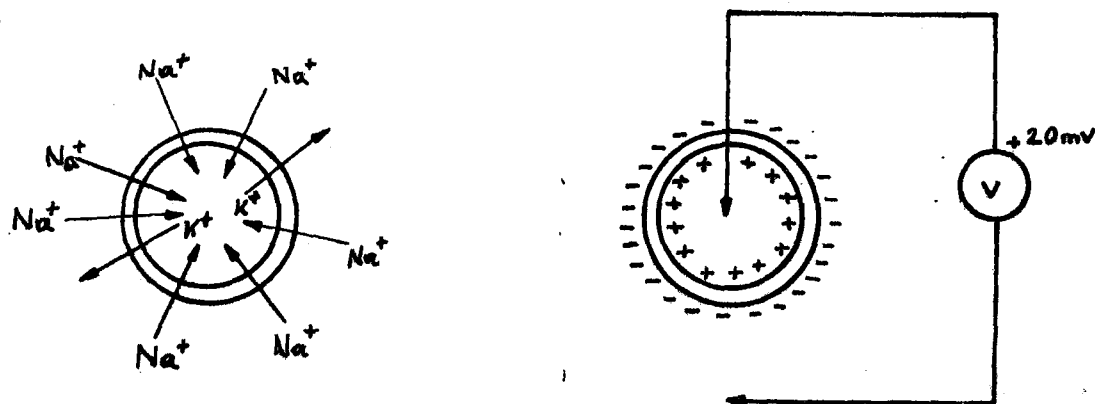


Şekil: 2.1 Kalıcı potansiyelli polarizeli hücre (2).

Hücre zarı, başka enerjiler tarafından (iyonik akımlar aracılığı ile) uyarıldığında, zarın yapısı değişecektir ve bir miktar sodyum iyonu hücre içine girecektir. Hücre içersindeki yüksek yoğunluklu potasyum iyonları, terkedilecektir. Yavaş süren bu hareketin sonunda hücre içine daha fazla sodyum iyonu ( $\text{Na}^+$ ) gireceğinden, iç kısım daha pozitif olacaktır. Bu yeni potansiyele "Etki potansiyeli" (Action potential) ve hücreye de depolarizeli hücre denir. Etki potansiyeli yaklaşık  $+20\text{mV}$  civarındadır.

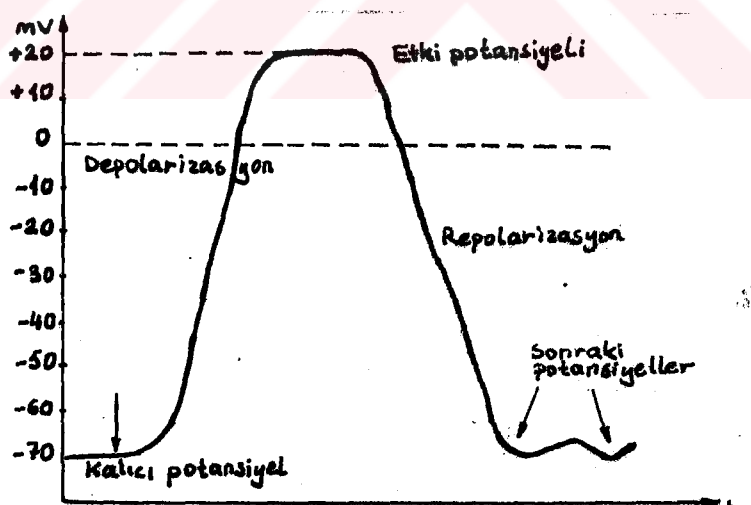
Sodyum iyonlarının hareketi dardduğunda, zar özgün(Original) yapısına dönerek hücre tekrar Kalıcı potansiyeline sahip olur. Bu tekrar polarize olayına dönüş, "Sodyum pompası" adı verilen aktif

bir proses sayesinde gerçekleşir. Sodyum pompasının kimyasal aşamaları az bilinmekte birlikte, sodyumun geri çekilmesine yüksek enerji seviyeli fosfat bileşiklerinin sebep olduğuna inanılmaktadır (2). Pompanın hızı, hücreye doğru olan potasyum akışı ile ilişkili dir. Polarizasyonun bozuluşundaki iyon hareketleri ve Etki potansiyeli Şekil: 2.2 de gösterilmiştir.



Şekil: 2.2 a) Depolarizeli hücrede iyon hareketleri.  
b) Etki potansiyelinin gösterilmesi (2).

Etki potansiyelinin Genlik-zaman ekseninde gösterilmesinde, ortalama darbe genişliği hücre tipine göre değişmektedir. Sinir ve kas hücrelerinde bu değer 1msn, kalp kası hücrelerinde 150 msn-300 msn arasındadır(2). Bu potansiyelin etkin yüksekliği, tepe değer ile Kalıcı potansiyel düzeyi arasındaki farktır. Şekil: 2.3 de tipik bir hücre için her iki potansiyel grafik olarak gösterilmektedir.



Şekil: 2.3 Değişik evrelerdeki hücrenin potansiyel yapısı(2).

2.2 Etki potansiyellerinin yayılımı ve biyo-elektrik potansiyelle  
Uyarılan hücre, bir iyonik akım üreterek yakınındaki diğer hücreleride uyarır. Uzun iplikçik şeklinde olan sinir hücrelerinde, Etki potansiyeli küçük bir parça boyunca üretilir. Sinir hücreleri yapıları gereği sadece giriş uclarına yakın bölgelerde uyarılır (2). Etki potansiyelinin hücreden hücreye yayılma hızına, bazen "Sinir iletim hızı" veya sadece "iletim hızı" denir. Bu hız, genel

likle 20-140 m/sn arasındadır.

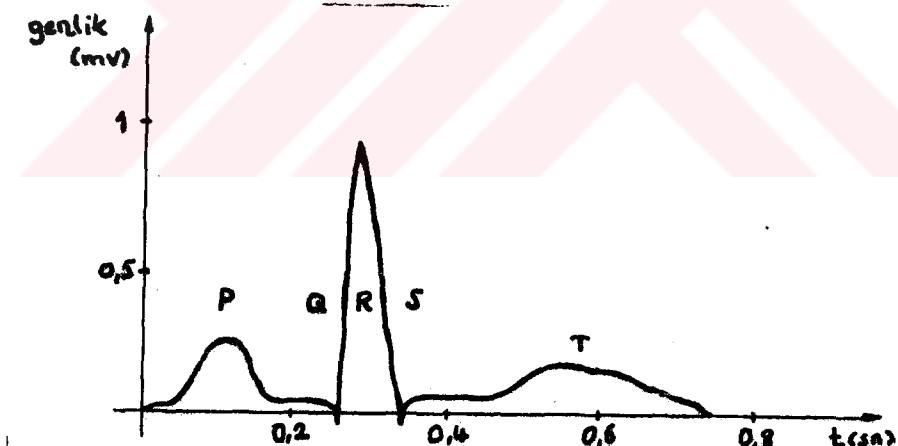
Kalp kası üzerinden olan yayılım hızı 0,2m/sn-0,4m/sn arasındadır. Fakat Kalp kulakçığı (Atria) ve Kalp karıncığı (Ventricles) bölgeleri arasındaki özel zaman geciktirici iplikler bu hızın 0,03-0,05 m/sn lik düşük değerlerde olmasına neden olurlar (2).

Biyo-elektrik potansiyellerin ölçümünde, iyonik potansiyeller elektrotlarla alınıp elektiriksel potansiyele dönüştürülür. Ölçümde en çok kullanılan yol, çok sayıda elektrot potansiyellerinin bir araya getirilmesidir.

Bilinmeyen potansiyellerin vücut yüzeyine ulaşmasını açıklamak için çok sayıda teori geliştirilmiştir. Bunlardan birisi; kalpteki her bir hücreden gelen etki potansiyellerini üreten iyonik akımların oluşturduğu elektrik alanlarının, potansiyellerin toplandığı yüzey şekli ile ilişkili olmasıdır. Bu; her ne kadar makul olsa da en uygun yaklaşım olarak yüzey şeklinin, birim hücre etki potansiyellerinin birinci türevlerinin (değişim hızları) toplamının fonksiyonu olduğunu söyleyebilir (2). Uygulamada spesifik işaretler çok iyi tanımlanmışlardır. Grafik şeklindeki ifadeleme de ölçümlü aletinin ismi kullanılır. Örneğin; Elektro-kardiyogram elektrokardiyografi ile ölçülülmektedir. Çok tanınmış bu işaretler aşağıda incelenmişlerdir.

### 2.2.1 Elektrokardiyogram (ECG)

Kalp çevrimi esnasında kalp kası tarafından oluşturulan gerilimlerin zamana göre değişimine elektrokardiyogram denir. Şekil: 2.4 gösterildiği gibi eğri üzerindeki çıkışları ifade eden noktalar alfabetik olarak gösterilmiş olup, etki potansiyellerinin yayılma şekline bağlı olarak belirlenebilirler.



Şekil: 2.4 Elektrokardiyogram (2).

P, Q, R, S ve T dalgaları kalp kasının kulakçık ve karıncık ile ilgili elektiriksel titreşimlerini ifade etmektedir. Eğrinin analizinin kolay yapabilmesi bakımından, P dalgasının yerleştiği yatay parça Taban- çizgi (Bise-Line) veya "Isopotential line" olarak tasarlanmıştır. Eğer ECG' nin temel özelliklerinden bir veya bir çoğu görülmemezse, kalp fonksiyonlarının yerine gelmediği görülür (2).. Elektrokardiyogram değişik hastalıkların teshisinde kullanılmaktadır, diğer ölçümler için zamanlama referansı gibi hizmet görür.

Kardiyolog, kritik olan değişim zaman aralıkları ile polaritelere ve genliklere bakar. Bazı önemli ECG parametremeleri aşağıda sıralanmıştır.

Genlik:	Pdalgası	0,25mV
	Rdalgası	1,60mV
	Qdalgası	% 25.R
	Tdalgası	0,1-0,5mV

Darbe Genişliği:	P-R aralığı	0,12-0,2sn
	Q-T aralığı	0,35-0,44sn
	S-T parçası	0,05-0,15sn
	P dalga aralığı	0,11sn
	QRS aralığı	0,09sn

Tehis için önce kalp vuruşuna bakılır. Normal değer 60-100 vurus/dakika arasındadır. Kalp vuruşu 60 vurus/dak. dan çok küçük ise bu durum "Yavaş Kalp" (Bradycardia), eğer 100 vurus/dak. çok büyük değerlerde ise; "Hızlı Kalp" (Tachycardia) etkisi vardır. Titresimler düzenli aralıktadır, aksi takdirde "Düzensiz Vurus" (Arrhythmia) etkisi vardır. Eğer P-R aralığı 0,2sn den büyük ise AV\* düğümü tikalıdır.

Vücutun ayakta ve yatma durumuna göre kalbin elektriksel eksenin farklıdır. Vücutun yapısına paralel olan elektriksel eksen, verilen kalp çevrimi esnasında üretilen en büyük e.m.k. (elektromotor) doğrultusundadır. Hastalık şartları altında ECG'de çeşitli değişimler oluşur. Bu değişimler söyle sıralanabilirler; 1) Kalbi tahrik eden değişik hastalıklar, 2) Dalgaların orjinal yapısının değişmesi (anormal vuruşlar), 3) Değişik özelliklerin ortaya çıkması, 4) Bir veya daha çok genliğin değişimi, 5) Dalga süreleri veya aralıkların değişimi olarak sayılabilir. ECG; kalbin düzensiz çalışması (arrhythmias) ve kalp krizi (myocardial infarction) yani kalbi besleyen damardaki tikanmaların təşhisinde kullanılırken; kalp kapakçıkları ile ilgili durumlarda kullanılmaz.

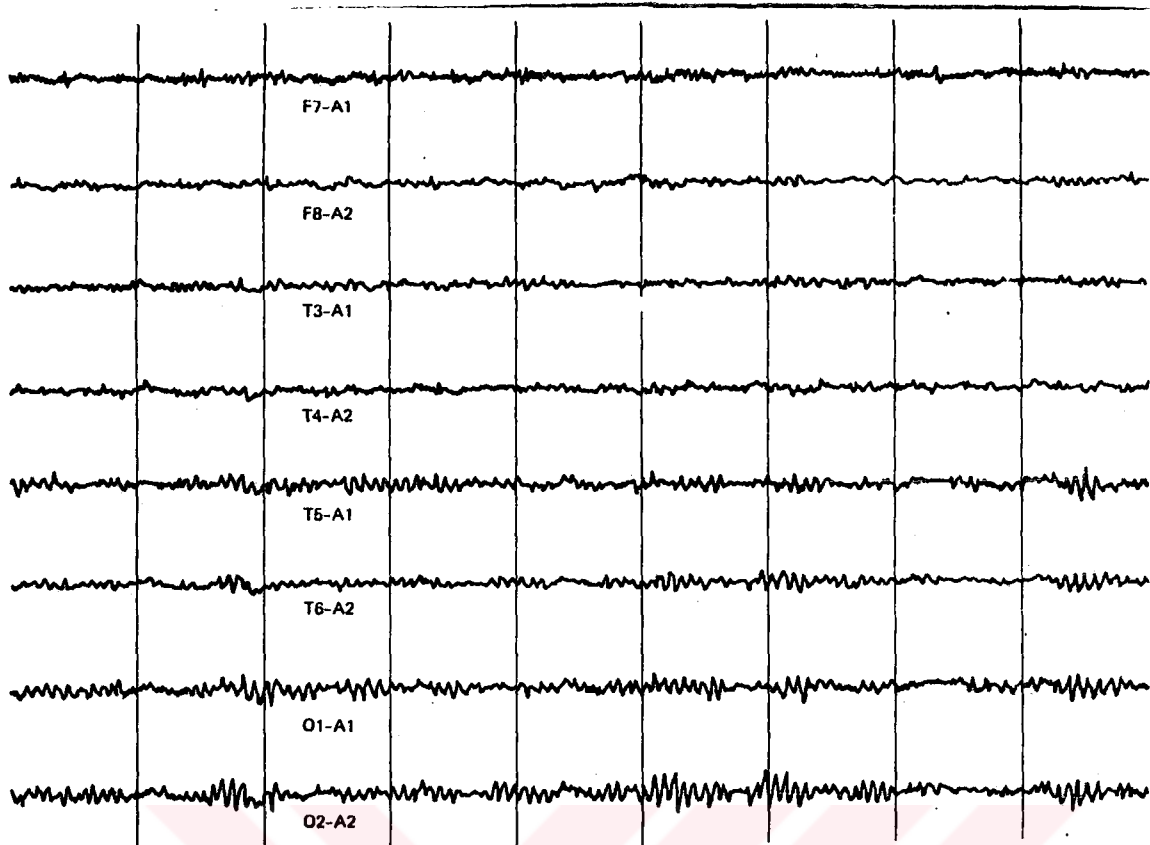
### 2.2.2 Elektroensefalogram(EEG)

Beyninsinirsel (neuronal) aktivitesi tarafından üretilmiş olan biyo-elektrik potansiyellerin kayıt edilerek ifade edilmiş haline Elektroensefalogram denip, EEG şeklinde kısaltılmıştır. ECG'ye nazaran tanınması çok zor olup, oldukça karmaşık bir şekillidir. Tipik bir EEG, Şekil: 2.5'de gösterilmiştir.

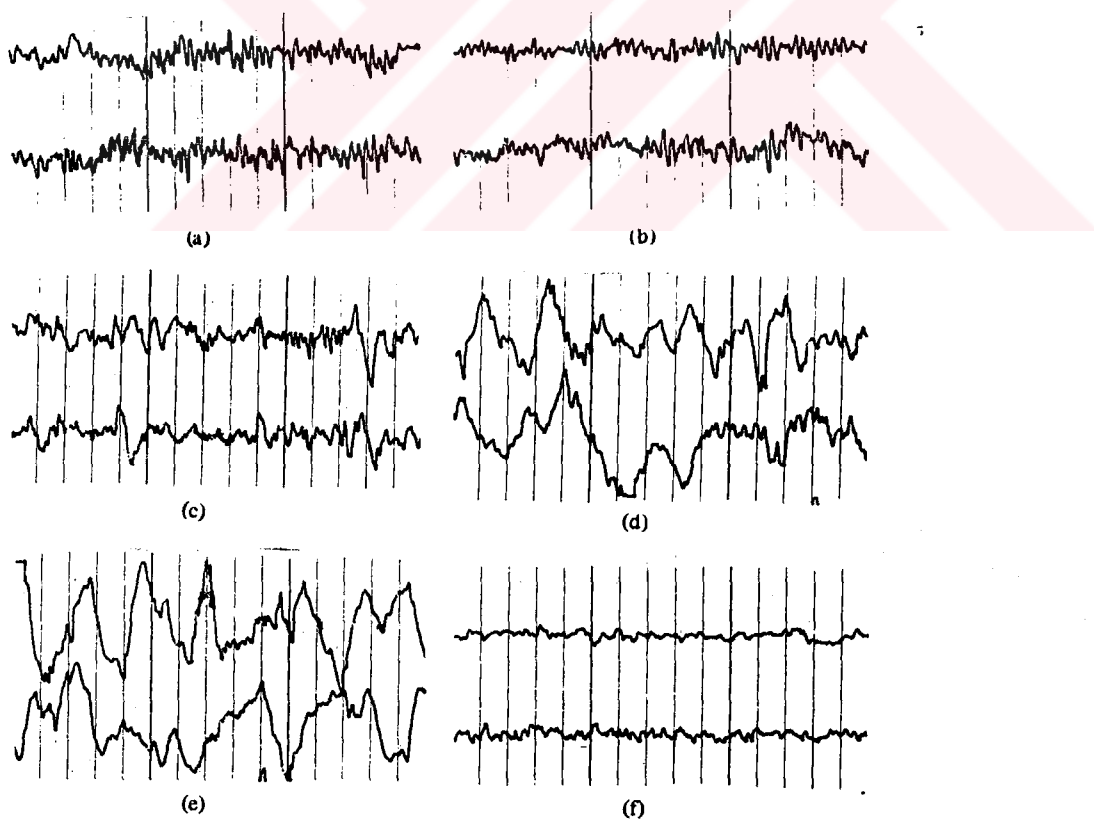
EEG potansiyelleri, kafa derisi yüzeyinde ölçülmüş olup esasen beyin zarının oldukça geniş bölgeleri ve değişik noktalardan gelen potansiyellerin bir araya gelmiş durumunu ifade eder(2). Deneyler; EEG Frekansının, kişinin zihinsel aktivitesini ifade edebileceğini göstermiştir. Çok sayıda ölçüm yapılmasının gereklisi ve ölçümllerin kişiye göre değişmesi bir takım güçlükler çıkarır. Bununla birlikte sara hastalığı ve uykuya bağlılık gösteren belirli EEG karakteristikleri vardır. Şekil: 2.6'da gösterildiği gibi uykunun farklı evrelerindeki dalga şekilleri bir araya getirilmişlerdir.

\* AV düğümü (atrioventricular node): Sağ ve sol kulakçık ile karınçığının birleştiği yerdeki düğüm.

(8)



Sekil 2.5: Tipik, insan elektroensefalogram(2).



Sekil 2.6: Tipik, insan EEG sekilleri(2).

Tamamen uyanık bir kimse, senkronize edilmemiş yüksek frekanslı EEG karakteri gösterir. Hafif uykudaki bir kimsede 8-13 Hz kademe lerinde büyük miktarlı ritmik aktivite olusur. Uyku ağırlaştıkça, genlik ve frekans azalır. Belirli zamanlarda, derin uykuda olan bir kişinin EEG şekli bir süre senkronize olmamış yüksek frekansla kırılsa bile tekrar düşük frekans şekline döner. Bu yüksek frekans peryoduna "Paradoxiyal Uyku" (paradoxial Sleep) denir.

EEG'nin değişik frekans kademeleri Grek Alfabesi kullanılarak kısaltılmıştır. Bunlar aşağıdaki gibi yaklaşık frekans kademeleriyle sınıflandırılmışlardır:

Delta dalgası	3,5Hz
Teta dalgası	3,5Hz-8Hz
Alfa dalgası	8Hz-13Hz
Beta dalgası	13 Hz

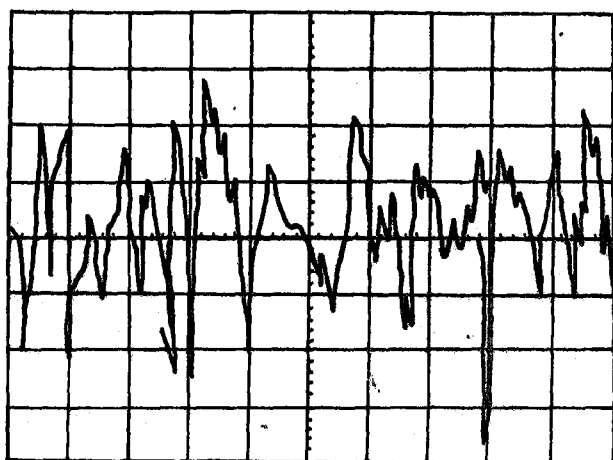
Günümüzde çok önemli bir araştırma konusu; beyin davranışının fizyolojik kaynaklarının öğrenilmesi olup, henüz kesin sonuçlar alınamamıştır (2).

EEG ölçümünün bir başka şekli, "Animsatıcı yanıt" (Evoked response) dir. Bu, bir ışık parlaması veya ses tıkirtısı gibi harici uyarıcıların sebep olduğu EEG şeklindeki karşılığın bir ölçüsüdür.

### 2.2.3 Elektromiyogram (EMG)

Kas aktivitelerinin bir araya geldiği biyo-elektrik potansiyellere Elektromiyogram EMG denir. Bu potansiyeller, ilgili kasın yakınındaki vücut yüzeyinden veyaigne elektrotların deriye batırılmasıyla doğrudan ölçülebilir. EMG, genellikle kas veya kasları oluşturan ilmiklerden gelen birim potansiyellerin toplamı şeklinde ölçülmüş olabilir. Küçük kaslardan yapılan ölçümlerde,igne elektrotlar doğrudan kaslara yerleştirilir.

Kas için elde edilen etki potansiyeli, ölçümde kasın uyarılmasında kullanılan uyarı elemanın (stimulus) şiddetine bağlı olan bir genlige sahiptir. EMG'nin genliği, verilen bir zaman içerisindeki tüm etki potansiyellerinin anı değerlerinin toplamıdır(2). Çünkü bu potansiyeller verilen elektrot çiftine göre hem pozitif ve hem de negatif polariteli olabilmektedir. Yani bazen tapamları bazen de farkları alınmış olur. Bu işaretin enerjisi, elektrot ve kas aktivitelerinin fonksiyonu olup tipik bir EMG dalga şekli, Şekil: 2.7 de gösterilmiştir



Şekil: 2.7 Tipik EMG dalga şekli (Süpürme hızı 10sn/cm genlik 1mV/cm) (2).

#### 2.2.4. Diğer biyo-elektrik potansiyeller

Daha önce incelenen biyo-elektrik potansiyellere ilave olarak bazı işaretler daha elde edilmiştir. Bunlar EEG ve EMG'nin değişik tipleri veya sinir-atesleme paternleridir.

**Elektroretinogram (ERG):** Gözün retina tabakasından sağlanan biyo-elektrik potansiyellerin karmaşık paterninin kaydedilmiş şeklidir.

**Elektrookülogram (EOG):** Gözün hareket ve pozisyonuna göre korneal-retinaldeki değişimlerin bir ölçüsüdür.

**Elektrogastrogram (EGG):** Mide ve barsakla ilgili bölgenin peristaltik hareketleriyle elde edilen EMG parternlerinin birleştirilmiş şeklidir.

#### 2.3. İşaretlerin algılanması-Elektrotlar

Iyonik potansiyelleri elektrikselleşten dönüştüren elamanlara elektrot denir. Biyo-elektrik potansiyel ölçümünün analayılabilmesi için, elektrot teorisinin bilinmesi gereklidir. Aynı teori, kimyasal dönüştürücülerin (transducers) kullanıldığı elektrotlar için de geçerlidir. Bu tür kimyasal ölçümler kanın; pH, PO<sub>2</sub> ve PCO<sub>2</sub> ölçümleridir.

##### 2.3.1 Elektrot teorisi

Gözelteideki metalik iyonların, ara bölge (interface) civarında metallerle birleşmesi sonucunda "Elektrot potansiyeli" olarak adlandırılan bir potansiyel oluşur. Bu potansiyel, metal dışı ve içindeki iyonların difüzyon hızları arasındaki farkın sonucudur (2).

Hidrojen gibi metalik olmayan materyallerde, gözelti içersinde onların birleşmiş iyonlarının engellendiği durumlarda elektrot potansiyeli oluşur. Elektrot potansiyeli metal tipine göre değişmekte olup, Tablo: 2.2'de gösterilmüştür.

Tablo: 2.1 Elektrot potansiyelleri (2).

Elektrot Reaksiyonu	E <sub>a</sub> (Volt)	Elektrot Reaksiyonu	E <sub>a</sub> (Volt)
Li ⇌ Li <sup>+</sup>	-3.045	V ⇌ V <sup>+</sup>	-0.876
Rb ⇌ Rb <sup>+</sup>	-2.925	Zn ⇌ Zn <sup>+</sup>	-0.762
K ⇌ K <sup>+</sup>	-2.925	Cr ⇌ Cr <sup>+</sup>	-0.74
Cs ⇌ Cs <sup>+</sup>	-2.923	Ga ⇌ Ga <sup>+</sup>	-0.53
Ra ⇌ Ra <sup>2+</sup>	-2.92	Fe ⇌ Fe <sup>+</sup>	-0.440
Ba ⇌ Ba <sup>2+</sup>	-2.90	Cd ⇌ Cd <sup>2+</sup>	-0.402
Sr ⇌ Sr <sup>2+</sup>	-2.89	In ⇌ In <sup>+</sup>	-0.342
Ca ⇌ Ca <sup>2+</sup>	-2.87	Tl ⇌ Tl <sup>+</sup>	-0.336
Na ⇌ Na <sup>+</sup>	-2.714	Mn ⇌ Mn <sup>+</sup>	-0.283
La ⇌ La <sup>3+</sup>	-2.52	Co ⇌ Co <sup>4+</sup>	-0.277
Mg ⇌ Mg <sup>2+</sup>	-2.37	Ni ⇌ Ni <sup>2+</sup>	-0.250
Am ⇌ Am <sup>3+</sup>	-2.32	Mo ⇌ Mo <sup>3+</sup>	-0.2
Pu ⇌ Pu <sup>4+</sup>	-2.07	Ge ⇌ Ge <sup>4+</sup>	-0.15
Th ⇌ Th <sup>4+</sup>	-1.90	Sn ⇌ Sn <sup>2+</sup>	-0.136
Np ⇌ Np <sup>5+</sup>	-1.86	Pb ⇌ Pb <sup>2+</sup>	-0.126
Bc ⇌ Bc <sup>2+</sup>	-1.85	Fe ⇌ Fe <sup>3+</sup>	-0.036
U ⇌ U <sup>4+</sup>	-1.80	D <sub>2</sub> ⇌ D <sup>+</sup>	-0.0034
Hf ⇌ Hf <sup>4+</sup>	-1.70	H <sub>2</sub> ⇌ H <sup>+</sup>	0.000
Al ⇌ Al <sup>3+</sup>	-1.66	Cu ⇌ Cu <sup>2+</sup>	+0.337
Ti ⇌ Ti <sup>2+</sup>	-1.63	Cu ⇌ Cu <sup>+</sup>	+0.521
Zr ⇌ Zr <sup>4+</sup>	-1.53	Hg ⇌ Hg <sup>2+</sup>	+0.789
U ⇌ U <sup>4+</sup>	-1.50	Ag ⇌ Ag <sup>+</sup>	+0.799
Np ⇌ Np <sup>4+</sup>	-1.354	Rh ⇌ Rh <sup>+</sup>	+0.80
Pu ⇌ Pu <sup>4+</sup>	-1.28	Hg <sub>2</sub> ⇌ Hg <sup>2+</sup>	+0.857
Ti ⇌ Ti <sup>3+</sup>	-1.21	Pd ⇌ Pd <sup>2+</sup>	+0.987
V ⇌ V <sup>2+</sup>	-1.18	Ir ⇌ Ir <sup>+</sup>	+1.000
Mn ⇌ Mn <sup>2+</sup>	-1.18	Pt ⇌ Pt <sup>2+</sup>	+1.19
Nb ⇌ Nb <sup>3+</sup>	-1.1	Au ⇌ Au <sup>+</sup>	+1.50
Cr ⇌ Cr <sup>2+</sup>	-0.913	Au ⇌ Au <sup>+</sup>	+1.68

\*Reproduced by permission from Brown, J. H. V., J. E. Jacobs, and L. Stark, *Biomedical Engineering*, F. A. Davis Company, Philadelphia, 1971.

Tek bir elektrodun "mutlak elektrot potansiyelini" belirlemek mümkün değildir. Elektrot ve onun iyonik çözeltisinde oluşan potansiyellerin ölçümü için, çözeltide bir başka metalik ara bülgenin yerleştirilmesi gerekebilir. Bu yüzden, tüm elektrot potansilleri, bağıl değerler şeklinde verilmiş ve bazı referans değerler belirlenmiştir(2). Tablo:2.1'de gösterildiği gibi, hidrojen elektrodu referans olarak seçilerek, bunun potasiyeli sıfır volt alınmıştır.

Elektrot potansiyelinin diğer bir kaynağı, hücre zarı üzerindeki iyon alış verisinin eşit olmamasıdır. Bu yarı geçirgen zar, farklı iyon yoğunlukları ile birlikte likit çözeltileri ayırr. İki iyon yoğunluğu ve zar üzerindeki potansiyel "Nerst eşitliği" ile ifade edilebilir(2).

$$E = - \frac{RT}{nF} \cdot \ln\left(\frac{C_1 \cdot f_1}{C_2 \cdot f_2}\right) \quad (2.1)$$

Burada; R: Gaz sabiti ( $8,315 \times 10^7$  erg/mol/kelvin derecesi), T; Mutlak sıcaklık (Kelvin derecesi), n; Iyonun valansı (ionize atoma eklenmiş veya uzaklaştırılmış elektron sayısı), F; Faraday sabiti (96,5), C<sub>1</sub> ve C<sub>2</sub>; Zarın iki tarafındaki iyon yoğunlukları, f<sub>1</sub> ve f<sub>2</sub>; Zarın iki tarafındaki iyonların bağıl aktivite katsayıları, E; Elektrot potansiyeli (Volt) olarak gösterilmektedir.

### 2.3.2 Biyo-potansiyel elektrotları

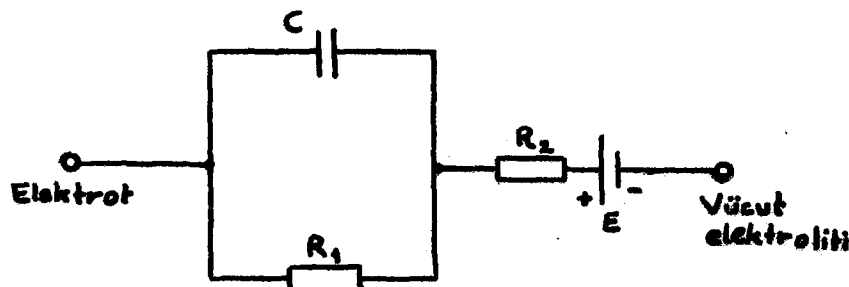
Biyo-elektrik potansiyellerin ölçümünde kullanılan elektrotlar üç grupta sınıflandırılabilirler.

1-Mikro-elektrotlar: Tek bir hücrenin yakınındaki potansiyeleri ölçmek için kullanılırlar.

2-İğne elektrotlar: Beynin belirli bir bölgesindeinden gelen EEG potansiyellerini kaydetmek veya özel kas gruplarından gelen EMG potansiyelleri ölçmek için kullanılırlar.

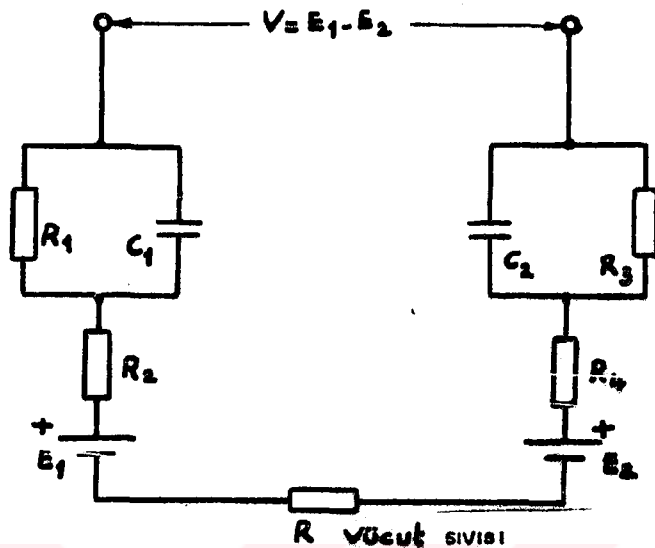
3-Deri yüzey elektrotları: Deri yüzeyinden gelen EEG, EMG ve ECG potansiyellerinin ölçümünde kullanılırlar.

Her üç tipde; daha önce açıklandığı gibi metal-elektrolit ara bölgeye sahiptirler. Elektrot potansiyeli bu ara bölge üzerinde gelişmekte olup, vücut elektroliti ve metal arasındaki iyon alış-verisi ile orantılıdır(2). Bir kondansatör gibi etki yapan, ara bölgede yükler, İki tabaka halindedir. Şekil: 2.8'de gösterildiği gibi vücutla temas halindeki biyo-elektrik elektrotun eşdeğer devresi, seri gerilimlerle birlikte bir direnç-kapasite şebekesini kapsar(2).



Şekil: 2.8 Biyo-potansiyel elektrot ara bölgesinin eşdeğer devresi (2).

Biyo-elektrik potansiyellerin ölçümünde iki elektrot gereklilikinden, Şekil: 2.9'da gösterildiği gibi ölçülen gerçek değer, iki elektrotun potansiyellerinin anıltır. Değerleri arasındaki farktır(2). Eğer iki elektrot benzer tipde ise, fark gerilimi genellikle küçük olup esasen vücutun iki noktası arasındaki iyonik potansiyellerin gerçek farkına bağlıdır.



Şekil: 2.9 İki elektrotla yapılan ölçümün eşdeğer devresi(2).

Eğer iki elektrot farklı yapıda ise, bağlı oldukları yükseltice uygulanan belirli bir D.C. gerilim oluşacaktır. Bu D.C. gerilim, "Elektrot dengesizlik gerilimi" (Electrode off-set voltage) olarak adlandırılır(2). Deneysel; fiziksel bir giriş olmaksızın elektrotlar da kimyasal aktiviteye bağlı olan gerilim dalgalanmalarının olduğunu göstermiştir. Bu tür dalgalanmalar, biyo-isaretler için gürültü niteliğindedir. Bunu önlemeyi bir yolu; saf malzeme seçimi veya özel işleminden geçirilmiş elektrot kullanmaktadır. Bu amaç için; Gümüş, gümüş-klorit (silver, silver-chloride) elektrodun iyi sonuç vereceği bulunmuştur.

Şekil: 2.8 ve Şekil: 2.9'daki direnç-kapasite şebekesi, elektrotların empedansını ifade etmekte kullanılabilir. Empedans, sabit olmayıp frekansa bağlıdır. Elektrot potansiyeli ve empedans, polarizasyon denilen bir etki ile değiştirilebilir(2).

Polarizasyon, metal-elektrolit ara bölgesi üzerinden geçen doğru akımın sonucudur. Eğer elektrotların uygulandığı yükselticin giriş empedansı çok büyük ise; elektrot empedansındaki değişim veya polarizasyon etkisi minimize edilmiş olur. Elektrot empedansının belirlenmesinde; elektrot tipi ve fiziksel ölçüsü de etkili olmaktadır. Büyük elektrotlar düşük empedansa sahip olmaya eğilimli olup, mikro ve igne elektrotların empedansları çok büyüktür(2). İşaretin, kaliteli şekilde alınıp kayıt edilmesi için, yükselticin giriş empedansı, elektrot empedansının bir kaç katı olmalıdır.

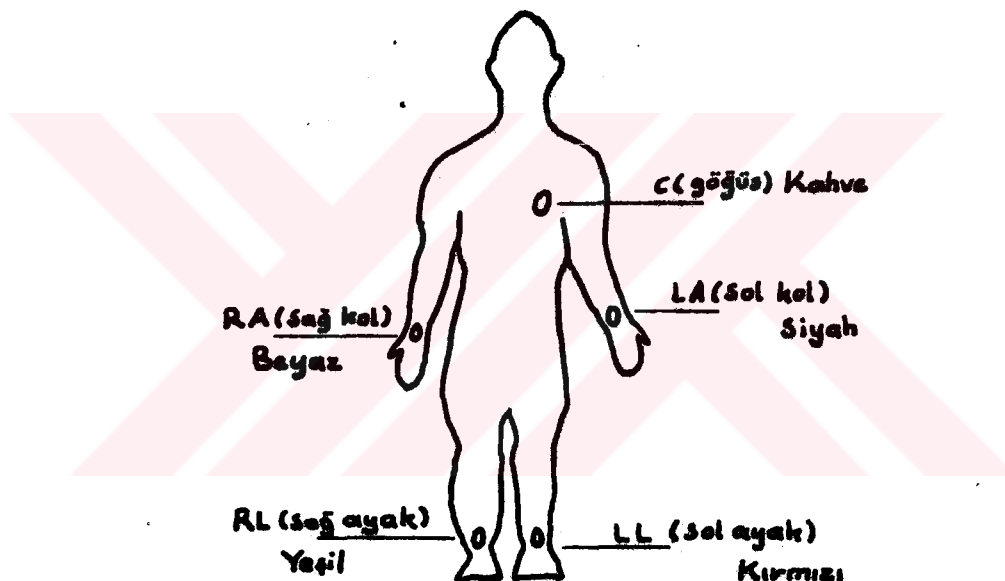
Aşağıdaki bölümde; elektrot bağlantılarının özellikleri, elektrokardiyografi örnek alınarak incelenmiştir. Uygulama da çok sık karşılaşılan ölçüm tipi ECG'dir.

### 2.3.3 Elektrokardiyografi

ECG; kardiyak (cardiac) çevirimi sırasında miyokardiyum (myocardium) tarafından sağlanmış zaman değişimli gerilimlerin grafik olarak gösterilmiş durumudur. Bir ECG'yi kaydetmek için genellikle dört-beş elektrot bağlanır. Elektrotların bağlılığı duyarlı iletgenlere klavuz(lead) denir. Kayıt için, çok sayıdaki elektrot içinden bir veya ikisi seçici anahtar ile yükseltce bağlanır. Uygulamada klavuz terimi, genellikle belirli bir elektrot grubunu ve onların yükseltce bağlı olduğu yolu göstermek için kullanılır. Elektrot terimi ise, vücutta fiziksel bağlantılı "birim klavuz telini" ifade etmek kullanılır. Klavuz terimi için iki anlam kullanılabileceğine dikkat etmek gereklidir(2).

Kalbin pompalaması sonucu üretilen gerilim, zamanla değişen vektöryel bir büyüklüktür. ECG işaretinin yüzeyden ölçüldüğü için dalga şekli elektrotların yerleştirilmesine bağlıdır(2). Ayrıntılı bir dalga şekli elde etmek için, genellikle çok sayıda elektrot kullanılır.

Elektrotların yerleştirilmesi ve isimlendirilmesinde standartlar kullanılmaktadır. ECG'yi kaydetmek için normal olarak dört elektrot gerekmektedir. Bu durum Şekil: 2.10'da gösterilmiştir.



Sekil: 2.10 ECG elektrotlarında kullanılan renk kodları ve semboller(2).

ECG yükselteci iki girişe sahip olduğu için, elektrotlardan ikisinin seçilmesi gereklidir. Kol ve bacakta yüzey elektrotları kullanılırken, göğüste emici tip elektrot kullanılır. En çok kullanılan, on iki standart bağlantı tipleri Şekil: 2.11'de ve Einthoven üçgeni ise Şekil: 2.12'de gösterilmiştir.

Aşağıda verilen üç bağlantıya bipolar isimi verilir. Çünkü her bağlantıda iki elektrot kullanılmaktadır.

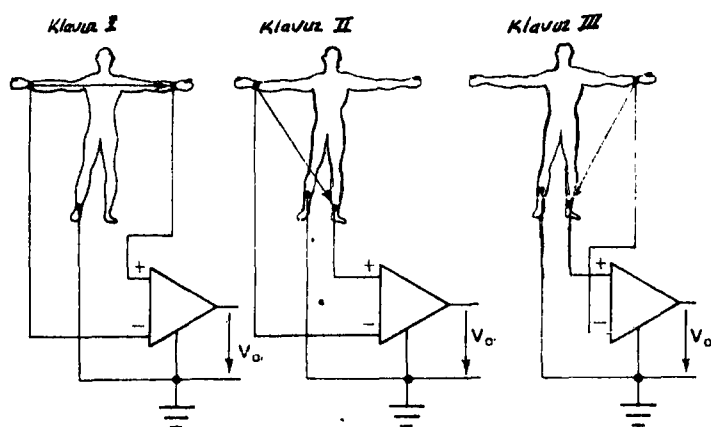
Klavuz I : LA ve RA (Sol kol ve sağ kol)

Klavuz II : LL ve RA (Sol ayak ve sağ kol)

Klavuz III : LL ve LA (sol ayak ve sol kol)

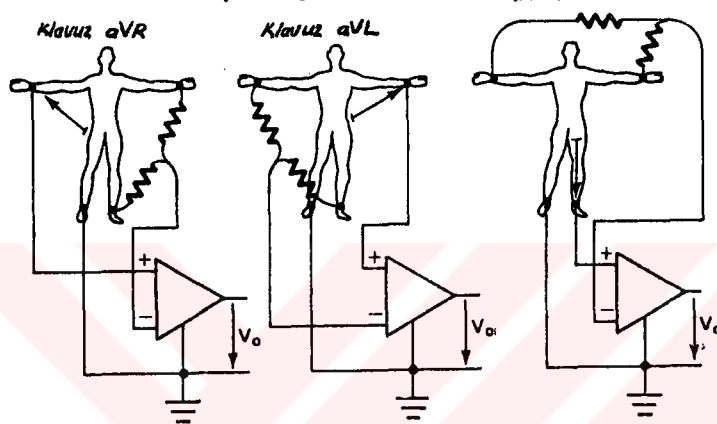
(14)

Bipolar organ klavuzları



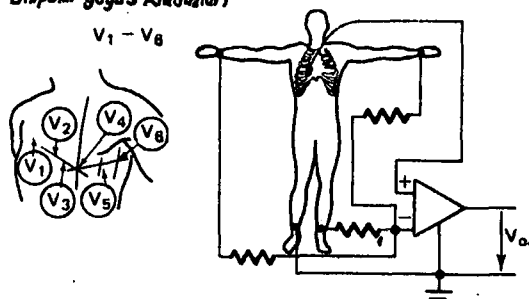
(a)

Unipolar organ klavuzları



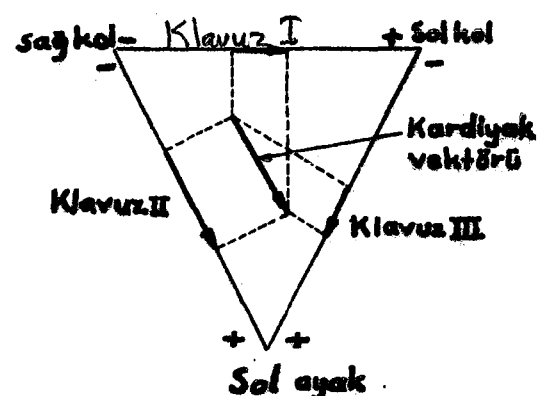
(b)

Unipolar göğüs klavuzları



(c)

Şekil 2.11: ECG üç bağlantıları(2).



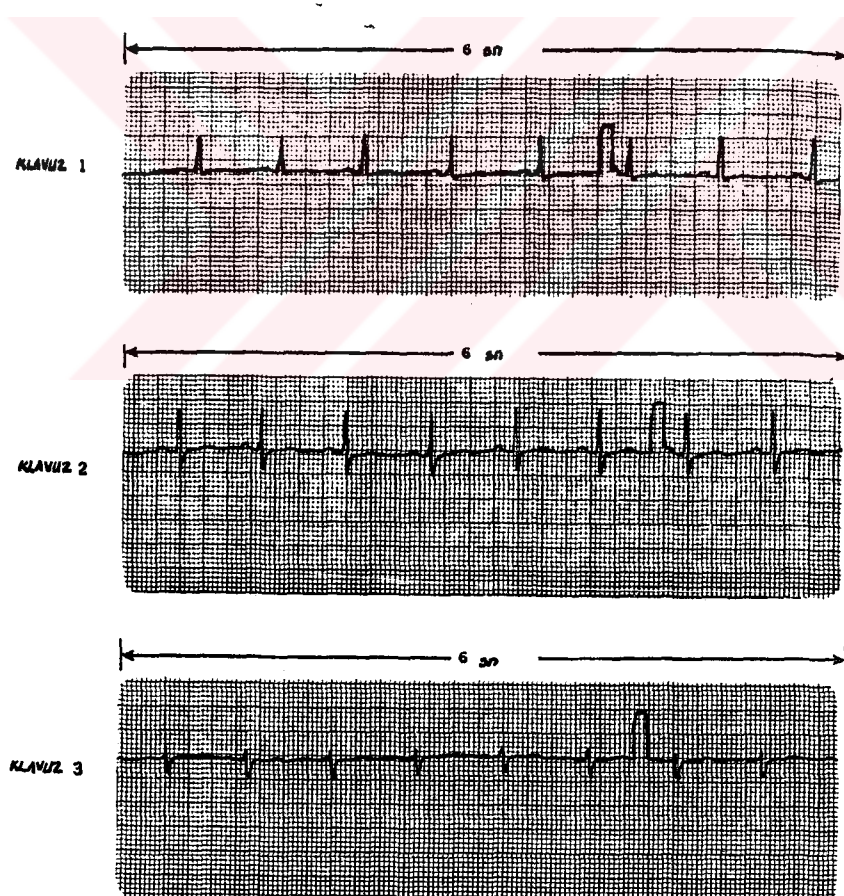
Şekil 2.12: Einthoven üçgeni (2).

Her üç bağlantıda QRS kompleksindeki R dalgası pozitiftir(2). Einthoven bu üç temel bağlantıya ait yaptığı çalışmalarla, kalbin elektriksel ekseninin bir vektör olduğunu ve ECG'nin bu vektörün zaman boyutunda olduğunu kanıtladı(2). Kalbin; köşeleri sağ omuz, sol omuz ve kasık olan üçgenin ortasında olduğu kabul edilip elektronların bu köşelerde olmasına izin verildi.

İkinci bağlantı tipi, Şekil: 2.llb'de verilmiş olan "Unipolar klavuz" (unipolar leads) bağlantısıdır. Bu teknikte ECG; vücutun merkezine denk gelen potansiyele sahip üç ile gezici uç arasında kaydedilir.

Merkez nokta, üç aktif elektrot ve eşit büyüklükteki dirençlerin ortak bağlanmasıyla oluşturulur. Bu noktanın potansiyeli, üç elektrot potansiyellerinin ortalamasıdır. Geliştirilmiş Unipolar bağlantıda, gezici elektrot, ayrıca merkez terminali olarak kullanılamaz. Bağlantılar AVR, AVL ve aVF alarak isimlendirilir.

Üçüncü bir bağlantı tipi, "Unipolar göğüs klavuzu"dur (Unipolar chestleads). Şekil: 2.ll.c'de gösterildiği gibi; bir göğüs elektrođu, göğüs üzerinde belirlenmiş altınoktanın her birine sırayla yerleştirilir. Bu konumlar, "Precordial Unipolar Leads" olarak isimlendirilir ( $V_1$ ,  $V_2$ , ...,  $V_6$ ). Şekil: 2.13'de birinci bağlantı tekniğinde alınan hasta bir insana ait kayıtlar örnek olarak verilmiştir.



Şekil 2.13: Tipik hasta, ECG şekilleri(2).

## 3. BÖLÜM

## SAYISAL İŞARET İŞLEME TEKNİĞİ

Günümüzde işaret işlemesi (signal Processing); kesikli zaman aralıklarında örnekleme (sampling) yapan ve sayısal (digital) sonuçlar veren bilgisayarlar veya mikro işlemciler aracılığı ile yapılmaktadır.

Fizyolojik kaynaklı işaretlerin genlik ve frekanslarının rastgele (random) değişmesi, onların anlamlı duruma getirilmelerinde belirli zamanlarda örnek alınıp bunların genlik ve frekans açısından analiz edilmelerini gerektirir. Bu tür bir işlem zinciri ancak sayısal hesaplayıcılarla gerçekleştirilebilir.

Bu bölümde random olayın temel özelliklerini, işaret analizi metodunu ve sayısal filtre kavramı kısaca incelenecektir.

## 3.1 İşaret ve İşaret Çeşitleri

Fiziksel büyüklüklerin dönüştürülmüş olduğu elektiriksel büyüklüğe, işaret (signal) denir. Bu, ait olduğu fiziksel büyüklüğün bir çok parametresi ile ilişkili olup elde edildiği peryot esnasında sürekli bir proses gibi davranışır. En sık kullanılan bağımsız değişken zaman olup, zamanın sürekli fonksiyonları  $X(t)$ , kesikli örneklenmiş fonksiyon ise  $X_i(t)$  ile gösterilir.

Ayrıca ikinci olarak sık kullanılan değişken, frekans olup  $X(f)$  veya  $X_i(f)$  şekilde gösterileceği gibi, açısal frekans için  $X(\omega)$ ,  $X_i(\omega)$  ve kompleks frekans için  $X(j\omega)$ ,  $X_i(j\omega)$  gösterimleri kullanılabilir. (3).  $X(f,t)$  veya  $X(\omega,t)$  iki boyutlu gösterimleri, tekil bağımsız değişkene eşdeğer veya ardışıl değişkenler kümesine eşdeğer gelip analiz işlemlerinde oldukça sık kullanılan yöntemdir.

## 3.2 İşaretlerin Sınıflandırılması

Olgılmekte olan fiziksel büyüklük kesin bir şekilde matematiksel olarak açıklanabiliyorsa ona ait işaret, Deterministik işaret ismini alır. İşaretler daha ziyade Rastgele (random) tipde olup, bir sonraki zamanda hangi değeri alacağı açıkça bilmemektedir (3). İşaret analizleri bu yüzden istatistiksel değerlerle yapılır. Belirli bir peryot içinde benzer şartlar altında bir kaç veri kümesi alınıp karşılaştırılır. Eğer benzer sonuçlar alınmışsa verilere Deterministik denir.

Fiziksel Büyüklüklerin matematiksel biçimini deterministik işaretlerle ifade edilmiştir. Düzenli aralıklarla tekrarlama varsa, "periódiktir" veya kısa zamanda sıfıra düşüyorsa, "geçici (transient)" denir. Peryodik işareten en basit örnek Sinüsoidal fonksiyondur:

$$X(t) = A \cdot \sin(\omega t + \theta) \quad (3.1)$$

Cok genel bir peryodik işaret örneği olarak Şekil:3.1'de; ilgili sinüsoidleri kapsayan fakat kendisi sinüsoidal olmayan bir  $X(t)$  verilirken; tüm değerleri kendi kendine tekrarlayan harmonik bileşenler Fourier Serileri ile ifade edilirler.

$$X(t) = A_0 + A_1 \cdot \sin(\omega_0 t + \theta_1) + A_2 \cdot \sin(2\omega_0 t + \theta_2) + \dots + A_n \cdot \sin(n\omega_0 t + \theta_n) \quad (3.2)$$

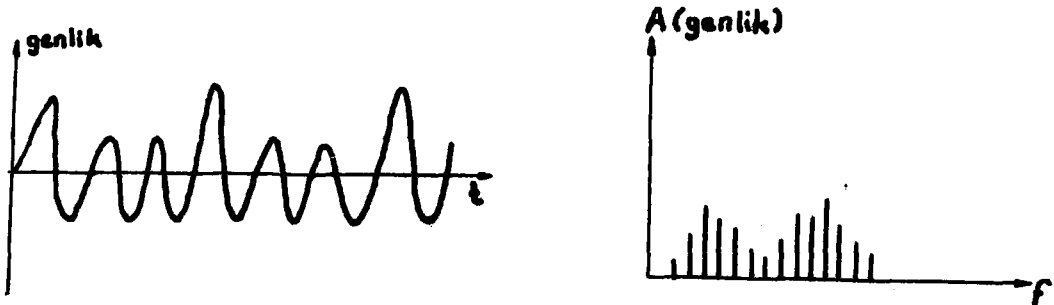
veya:

$$X(t) = A_0 + \sum_{n=1}^{\infty} A_n \cdot \sin(n\omega_0 t + \theta) \quad n=(1,2,3,\dots) \quad (3.3)$$

Seklinde yazılır.

(17)

$X(t)$ 'nin frekans yapısı çizgi spektrumu (line spektra) biçiminde  
Şekil: 3.2'de gösterilmiştir.

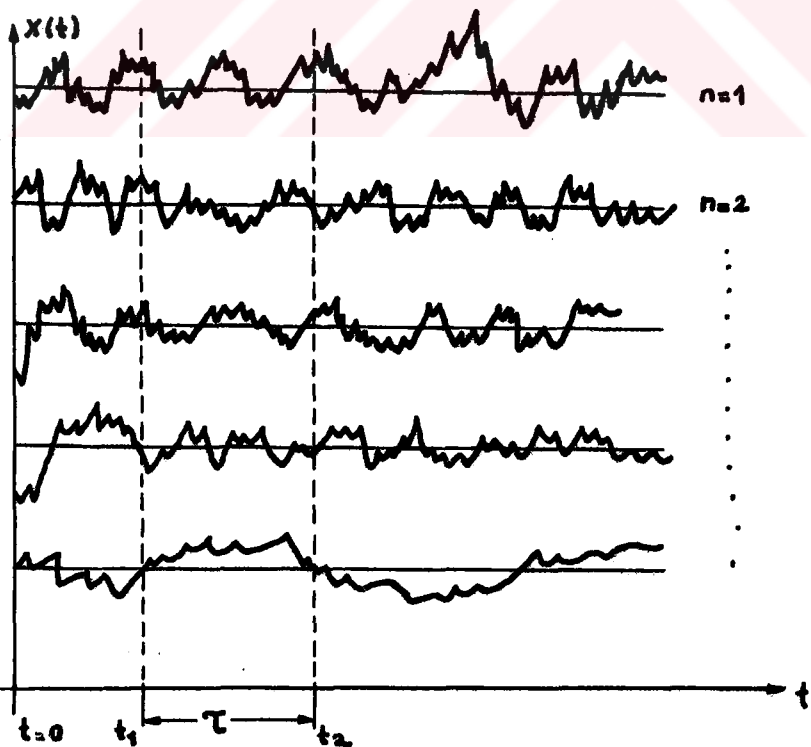


Şekil: 3.1 Sinüsoidal olmayan peryodik fonksiyon(3).  
Şekil: 3.2 Line spektra(3).

Geçici(transient) işaretler çok sınırlı bir zaman aralığında sıfıra doğru azalırlar. Teorik olarak sonsuz sayıda harmoniklere sahip olduklarından sürekli spektrum özelliği gösterirler.

### 3.3 Random işaretlerin yapısı

Bu işaretlerin fonksiyonları açıkça bilinemez. Bu nedenle istatistiksel ve olasılıklı açıklamalar kullanılır. Her seferinde aynı zaman noktalarına veya başlangıç noktasına ( $t=0$ ) başvurarak zaman-oluşumlu(Time-history) bir kümenin elde edilmesi yoluna gidilir. N Adet kaydın bir araya getirilmesi(ensemble) için N sefer tekrarlama yapılır. Bu birlestirmenin istatistiksel değeri, zaman ekseninde özel anlarda alınan kayıt değerlerinin dikkate alınmasıyla sağlanmış olup, Şekil: 3.3'de gösterilmiştir.



Şekil: 3.3 N adet kayının birleştirilmesi(3).

Bu prosese örnek olarak  $t_1$  noktası alınırsa, bu noktadaki ortalama değerler şöyle toplanabilir.

$$\langle X(t_1) \rangle = \lim_{N \rightarrow \infty} \frac{1}{N} \sum_{n=1}^N x_n(t_1) \quad (3.4)$$

$t_1$  ve  $t_2$  ile ayrılmış iki örneğin çarpımının ortalama değeri "Oto-korelasyon" olarak bilinir ve aşağıdaki gibi yazılır (3).

$$R(\tau) = \lim_{N \rightarrow \infty} \frac{1}{N} \sum_{n=1}^N X_k(t_1) \cdot X_k(t_2) \quad (3.5)$$

Bu tür bir yaklaşım, "Birleştirici ortalama" isimini alır. Bu değer sürekli olabiliip, pek çok kayıt uzunluğu için kayıt kümesinin kompleks istatistiksel açıklamasını verir. Eğer  $\langle X(t_1) \rangle$  ve  $R(\tau)$  değerleri  $t_1$ 'in mümkün olan bütün değerleri için (her  $t_1$  tekrarlamasında) sabit kalıyorsa ve  $R(\tau)$  sadece  $\tau$  ölçüşüne bağımlıysa, bu durumda işaret yavaş değişiyor (stasyoner) denir. Pratik durumlar için zaman değişiminin yavaş olması stasyoner sınıflandırmaya sokulabilir. Ancak böyle bir yavaş değişimli zaman-bağımlı işaretlerin işlenmesinde, sadece tek bir kayıt test edilerek, bu yolla elde edilen istatistiksel sonuçların çizilmesine izin verilebilir.

Bir fiziksel büyülüğün elektriksel benzesi yoluyla ifade edilmesinden dolayı, işaret ortamının ayrıntılarının bilinmesi gereklidir. Eğer geçici depolama ortamı kullanılmışsa işaret gerçek-zamanda (real time) analiz edilemez. Çok iyi bir sonuç için, random veri tahminleri olan tüm ölçümü gerçekleştirmek gerekecektir. Hatalardan kaçınmak için ayrıca ölçümler, gevresel koşullara uygun düşmüş olmalıdır (gürültünün dikkate alınması gibi).

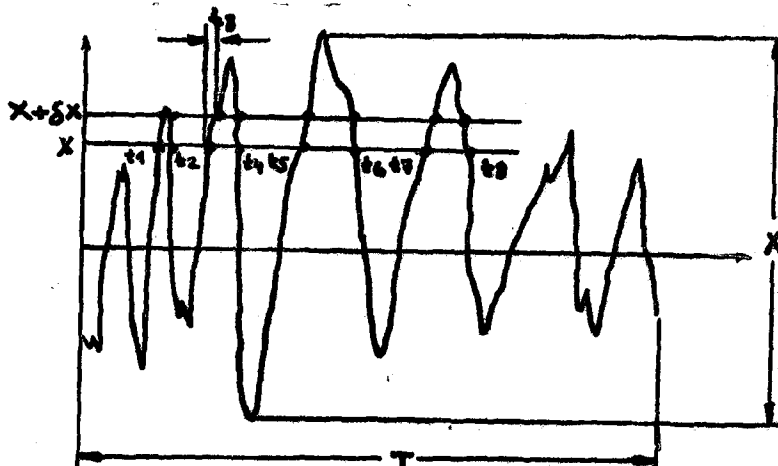
Random bir işaretin analizine yardımcı olması açısından, öncelikle onun genlik, zaman ve frekans düzlemlerindeki (domain) karakteristiklerinin bilinmesi gereklidir. Aşağıda bu konu sırasıyla incelenmiştir.

### 3.3.1 Genlik düzleminde değerlendirme

Random bir işaretin genlik özelliği, yalnız olarak "Kare-ortalama" değeri ile tanımlanabilir.

$$\overline{X^2} = \lim_{T \rightarrow \infty} \frac{1}{T} \int_0^T X^2(t) dt \quad (3.6)$$

Bu ifadenin kare kökü de kullanışlı bir büyülüktür. Her iki değer, işaretin genlik etkisinin bir göstergesi olsa bile değişken yapısını yeterli şekilde açıklayamazlar (3). Bu yüzden, işaret genliğinin verilen bir düzeyi aşmaması veya tanımlanmış iki düzey arasında kalması gibi olasılıklı terimlerle ifade edilecek faktörlerin belirlenmesi gereklidir. Bu durum Şekil: 3.4'de gösterilmiştir.



Şekil: 3.4 Olasılığın belirlenmesi (3).

İşaretin tümünün dinamik genliği aşağıdaki gibi ifade edilir.

$$t_n = \sum_{p=0}^{p=k} t_p(x, x+\delta x, n) \quad p=0, 1, \dots, k \quad (3.7)$$

Buradaki  $n$ ; işaretin bölünmüş olduğu düzeylerin sayısıdır.  $t_p$ ; ise düzey çiftleri arasındaki işaretin, kalma peryodudur. Olasılıklu yoğunluk fonksiyonu, verilen  $x$  ve  $\delta x$  kademeleri arasında işaretin bulunabilme olasılığını verir. Bu fonksiyonun bir yoğunluk fonksiyonunu vermesi için  $\delta x$  ile normalize edilmiş durumu dikkate alınır(3).

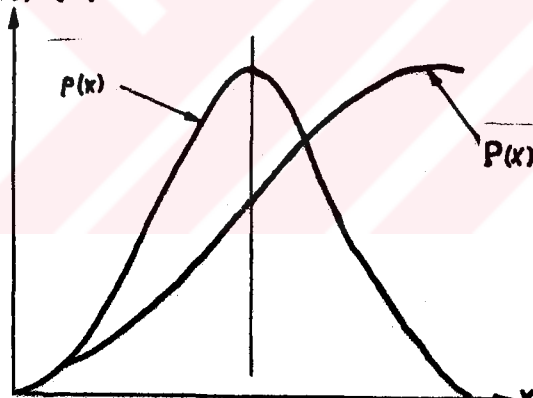
$$p(x) = \lim_{T \rightarrow \infty} \frac{t_n}{T \cdot \delta x} \quad (3.8)$$

Yukarıdaki oran, sonsuza uzanan bir kayıt uzunluğu için tam bir olasılık değerine yaklaşacaktır. Eğer  $X$ 'in mümkün olan tüm kesikli değerlerinin sayısı büyükse,  $X(t)$  fonksiyonunu açıklamak için geniş düzlemlü olasılık fonksiyonlarına gerek duyulur. Bu amaçla aşağıdaki olasılıklı dağılım fonksiyonu kullanılır.

$$P(x) = \int_{-\infty}^x p(x) \cdot dx \quad (3.9)$$

Her iki fonksiyon Şekil:3.5'de gösterilmiştir.

$P(x), P(x)$



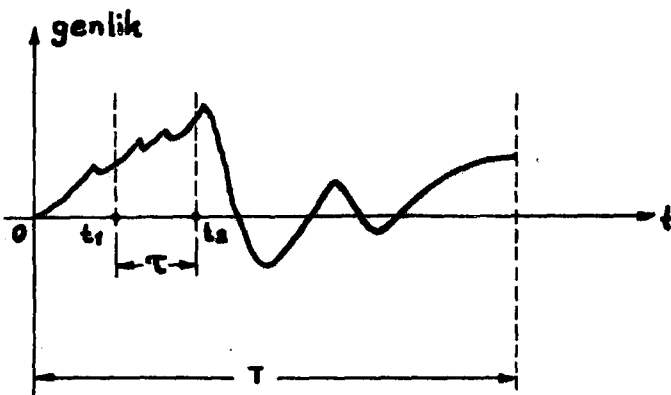
Şekil: 3.5 Olasılıklı fonksiyonlar(3).

### 3.3.2 Zaman düzleminde değerlendirme

Yalın ortalamalar ve olasılıklu ölçümler işaretin peryodik davranışının hakkında yeterli anlatımda değildirler(3). İstatistiksel olarak bilgi, işaret genliğinin iki zaman arasında alınan değerlerinin ölçümlü ile sağlanmıştır. Bu fark süre  $T$  ile gösterilecek olursa aşağıdaki bağıntı kayıt süresinin ortalamasını verir(3).

$$R_x(\tau) = \lim_{T \rightarrow \infty} \frac{1}{T} \int_0^T X(t) \cdot X(t+\tau) \cdot dt \quad (3.10)$$

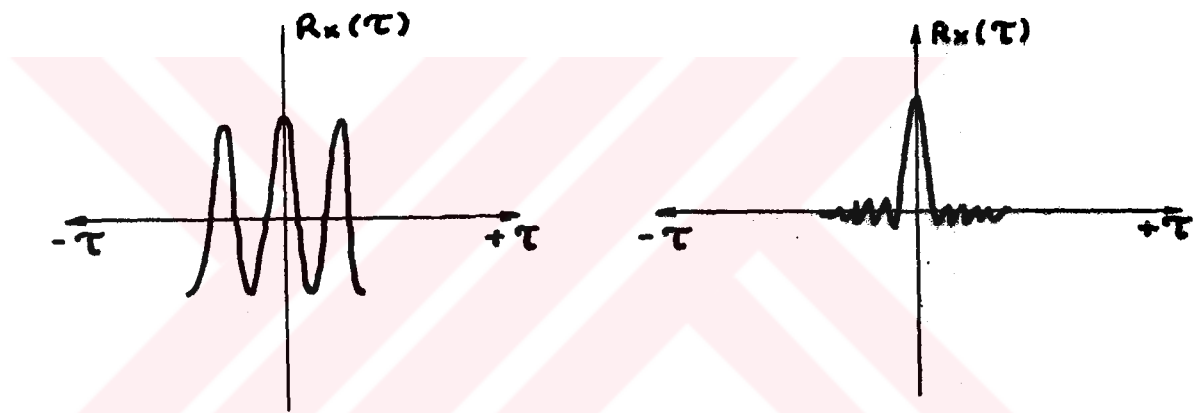
Bu işlem "oto-korelesyon" olarak bilinir ve bağıntı da; oto-korelasyon fonksiyonunu verir. Şekil: 3.6'da Bu fonksiyonun grafik gösterilişi çizilmiştir.



Şekil: 3.6 Oto-koreogram(3).

Bağıntının grafik formundaki ismi oto-koreogram olup;  $R_x(\tau)$  dikkate alınan fonksiyon,  $\tau$  ise gecikme veya tekrarlama zamanıdır. Oto-koreogramın ortalama değeri random işaretteki peryodikliği açıklaması yeteneğindedir.

Tamamen random bir işarette;  $x(t) \cdot x(t+\tau)$  çarpımı küçük bir değere kadar azalır. Aşağıda Şekil: 3.7'de peryodik ve random işaretin oto-koreogramları arasındaki fark kolaylıkla görülebilir.



Şekil: 3.7 (a) Sinüs Dalgası (b) Random işaret (3).

### 3.3.3 Frekans düzleminde değerlendirme

İşaretin spektral analizindeki bilgiler, onun spektral yapısının doğrudan çizilmesiyle sağlanan çok kullanışlı bir açıklama tarzı olan Oto-koreogramdan kaynaklanabilmektedir(3). Fourier Seri analizleri, peryodik fonksiyonlara uygulandığından, harmonik ilişkili bileşenlere sahip olmayan random işaretler için kullanılamazlar. Bu yüzden frekans bileşenlerinin bağıl genlik ölçümü, Fourier transformu ile sağlanmıştır (3).

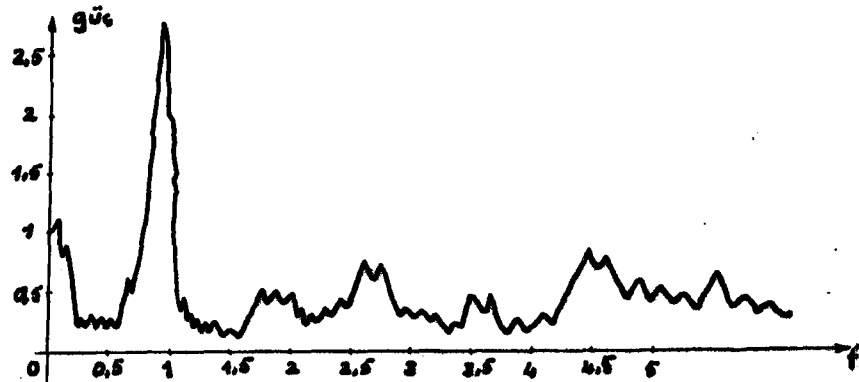
$$X(f) = \int_{-\infty}^{\infty} x(t) \cdot \exp(-j\omega t) \cdot dt \quad (3.11)$$

Karesel ortalama değeri, çok kısa bir  $T$  kayıt uzunlığında verilen bir frekansdaki anı gücün ölçümünü sağlamak için kullanılmıştır(3).

$$S(f) = \lim_{T \rightarrow \infty} \frac{1}{T} \int_0^T \frac{|X_B(t)|^2}{B} dt \quad (3.12)$$

Burada  $X_B(t)^2$ ; B band genişliğinde dikkate alınan işaretin ani değerlerinin karesidir. Bu büyüklik, etkin filtre band genişliğinin serbest yaklaşım derecesini verecek şekilde,  $|X(f)|^2$  Fourier transform genliğinin karesiyle ilişkilidir.

Yukarıdaki eşitlik, çok dar bir band genişliğindeki karesel ortalama ile elde edilmiş "Güç spektral" yoğunluğunu verir. Böyle bir örnek, bir kaç güçlü peryodik birleşene sahip random işaret için aşağıda, Şekil: 3.8'de çizilmiştir.



Şekil: 3.8 Spektral güç yoğunluğunun grafik gösterilişi(3).

Spektral güç yoğunluğu fonksiyonu ve oto-korelosyon fonksiyonu arasındaki ilişki, pratik ölçüm metodlarının bir terimi olarak çok önemlidir(3). Fonksiyon bir birelerinin Fourier transformu şeklinde gösterilebilir(3).

$$S(f) = \int_{-\infty}^{\infty} R(\tau) \cdot \exp(-j\omega\tau) dt \quad \text{ve} \quad (3.13)$$

$$R(\tau) = \int_{-\infty}^{\infty} S(f) \cdot \exp(j\omega\tau) df \quad (3.14)$$

olarak yazılabilir. Pratik durumlarda pozitif frekanslardaki gerçek değerler için şu durum yazılabilir(3).

$$S(f) = \int_0^{\infty} R(\tau) \cdot \cos\omega\tau d\tau \quad (3.15)$$

$$R(\tau) = \int_0^{\infty} S(f) \cdot \cos\omega\tau d\tau \quad (3.16)$$

### 3.4 İ işaret analizi yöntemi

Analiz yöntemleri işaretin olduğu çevresel koşullara bağımlıdır. Zaman oluşumlu dönüştürücü (transducer) analizlerinin ilk aşaması kalibrasyon işlemini kapsar. Bu ön proses, işaretin uygun şekilde sınırlandırmasında rol oynar. Dinamik kademe sınırlamları yardımı ile işaretteki küçük genlikli hızlı değişimlerin analizi önlenebilir. Kesikli zaman serilerinin, (kayıt örneklerinin ifadesi) sayısallaştırma (digitisation) ve ondalıklaştırılma (decimation) öncesi, filtreden geçirilmesi gereklidir. Bu sayılan tüm işlemler işaretin yorumlanabilmesi için gereklidirler.

Sayısal bilgisayar yöntemi, yüksek tekrarlama ve son derece doğru bilgi verme yeteneğine sahiptir. Bu yöntem de yer alan Hızlı Fourier Algoritması için gerekli donanım (hardware) önemli bir harcama gerektirmez(3). En büyük zorluk, sürekli analog işaretin öneklenmiş sekle dönüştürülmesidir.

Önemli olan diğer bir konu, random işaretteki peryodik bileşenlerin ortaya çıkışmasını belirleyecek test yöntemini kurmak-tır. Bu amaçla Oto-korelasyon fonksiyonun kullanılması güçlü bir yoldur. Bu yolla yapılmış ölçümler, peryodik bileşenlerin değerini belirlemek amacıyla kullanılan güç spektral yoğunluğunun araştırıldığı bir bölgeyi tanımlar(3). İlgili filtre band genişliği etkisiyle sinüsoidal pik(peak)ler ortaya çıkarılabilir.

Eğer peryodik bileşenler gerçekten sinüsoidal ise, onların transformları bir delta fonksiyonu olacaktır. Spektral analizde band geçirici filtre kullanılmışsa; filtre genişliğinin değişimi  $X_B(t)$ , ani giice etki etmeyecektir.  $S_x(\omega)$ nın tepe degeri, filtre bant genişliği, B ile ters orantılı olarak değişmesine rağmen sinüsoidal yapının bir göstergesi olabilmektedir.

Analizlere başlamadan önce işaretten istenmeyen bilgilerin (gürültü) atılması gereklidir. Gürültünün yok edilmesi ile ilgili önlemler ilerde ön yükseltçe katının incelenmesinde açıklanacaktır. O halde özetlemek gerekirse; fiziksel kökenli (ki biyopatansiyelleri incelemekteyiz) random işaretlerin sayısal yönteme işlenmesinde, önce kalibre edilmesi gerekecektir. Sonra gürültü gibi istenmeyen etkilerin atılması amacıyla filtre edilmesi daha sonra örneklenip-kuantalanarak sayısal biçimde sokulması gereklidir. Ancak bundan sonra sayısal biçimde sokulması gereklidir. Ancak ~~böylükle~~ sayısal bilgi-sayar tarafından algılanabilir. Makina tarafından, işaretin spektral yapısının incelenerek sayısal bilgisayar denetimi altındaki filtre-ve kazanç devrelerine gerekli uyarılar gönderilip, random işaretin frekans ve genlik özellikleri dinamik olarak belirlenir. Belirli sayıdaki taramadan elde edilen sonuçların toplam etkisi, zaman değişimli bir eğri olarak fiziksel davranışın yerine tutacak biçimde yardımcı devreler ile grafik kağıda çizilir veya bir monitörde gösterilir.

Bundan sonra işaret analizi açısından örnekleme ve kuantalama işlemlerinin özelliklerini prinsip olarak incelemecaktır.

### 3.5 Sürekli bilginin sayısallaştırılması

Sürekli bir analog işaretin sayısal bilgisayara giriş yapması amacıyla kesikli şekilde dönüştürülmesi, zaman düzleminde örnekleme ve genlik düzleminde kuantalama ile kodlamayı kapsar. Analog işaretin örneklenmesi, dar bandlı darbe (pulse) serilerin seçimini veya eşit zaman aralıklarında yerleştirilmiş işaretin dilimlenmesini kapsar (3). Zaman düzleminde örneklemenin (sampling), düzgün hızda yapıldığı kabul edilir. Random işaret çalışmalarında düzgün hızda yapılan bir örnekleme, "aliasing" etkisini yemek açısından tercih edilmelidir.

#### 3.5.1 Örnekleme

Ideal olarak örneklemenin sonsuz kısa bir zaman peryodunda yapılması gereklidir(3). Verilerin ortalamasının alındığı bu süreye, "Aralık zamanı" (aperture time) denir. Kaliteli bir analog-sayısal dönüştürme için, bu sürenin örnekleme peryodundan çok küçük olması gereklidir. Bu, ancak çok hızlı analog-sayısal dönüştürücülerle sağlanabilir.

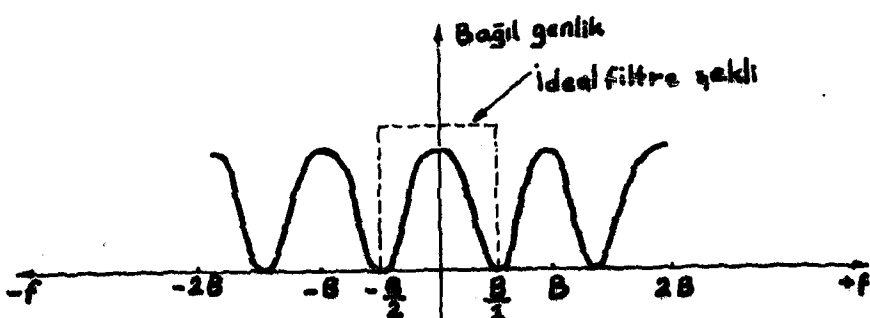
Eğer örnekleme düzenli aralıklarda yapılmazsa, aralıkların zaman bölgelerinin belirsizliğinden dolayı sahte frekanslar, bilgiye girerler. Bu tür bir etki yüksek frekanslı işaret işlemede iletleyen faz hatalarına yol açar. Bant genişliği B olan bir işaretin örneklenmesinde, bilgi içeriğinin korunması için gerekli olan en düşük örnekleme frekansı  $f_a \geq 2B$  olmalıdır(3). Bu özellik "örnekleme teoremi" olarak bilinir.

Aliasing\*: Çıkış spektrumunda yansımış frekans bileşenleri etkisi.

Eğer ilgili işaretin  $\Omega$  ve  $B$ (Hz) değerleri arasındaki frekanslara sahipse o zaman örneklenmiş veriden işaretin tekrar elde edilebilmesi için gerekli minimum kayıt uzunluğu;

$$T \geq \frac{1}{2B} \text{ (saniye)} \quad (3.17)$$

olmalıdır. Bu özellik "Rayleigh Kriteri" olarak bilinir. İşaretin tekrar elde edilmesi, pratikte kusursuz değildir. Bunun nedeni yetersiz filtre tasarımıdır. Eğer sınırlı band genişliğinin spektrumu dikkate alınırsa şekildeki gibi iki yanlı spektrum elde edilir (Şekil: 3.9).



Şekil: 3.9 Sınırlı band genişlikli işaretin Fourier ifade edilmesi (Tayfl) (3).

Orijinal spektrumun her iki yanında spektranın sonsuz serilerini kapsayan bölgeler oluşmuştur. Oysa ideal karakteristikde, işaretin orijinal spektrumu sınırlı bir bölgede (kesik çizgili kısım) elde edilecektir.

Yukarıdaki incelemelerden şu görülmektedir;  $f_N = B$  den daha büyük frekansların içeriye kaçmamasından emin olmak için, sayısallaştırma öncesi işaretin alçak-gögüren bir filtreye uygulanması gereklidir. Band sınırlamada kullanılacak filtrelerin yüksek hızda bir zayıflatmaya sahip olması da ayrıca istenir. Ancak bu sayede band genişliğinden büyük olan bileşenler daha kolay atılabilmektedir.

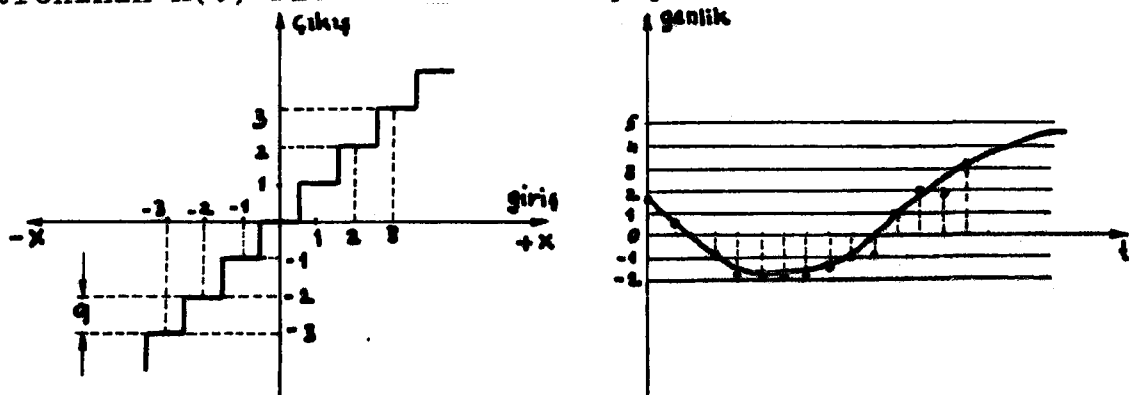
### 3.5.2 Kuantalama

Kesikli sayıların sınırlı serileri şeklinde algılanan kesikli örnek değerlerinin, değişken genlik serileri şeklinde ifade edilmesine kuantalama denir (3). Bu işlem, orijinal işaretin çeşitli parçalarının sonlu sayılar şeklinde kabul edildiği bir yaklaşımdır. Sayısal ifade edilmedeki bitlerin (digit) sayısı sınırlıdır. Kuantalananın değişkenin nümerik değerleri, sayısal bilgisayara girmeye izin verecek şekilde ikili (binary) formda ifade edilmişlerdir. Şekil: 3.10'da kuantalayıcının geçiş (transfer) karakteristiği ve Şekil: 3.11'de örneklenmiş ve kuantalananmış fonksiyon gösterilmiştir.

Kuantalama işlemi, fonksiyonunkendisi üzerine etki yapmayıp onun olasılık yoğunluk dağılımına etki eder. Kuantalamaya bir istatistiksel terim olarak bakmak kullanışlidir. Örneklemme ve kuantalama, işlenmekte olan işaretin bir miktar distorsyon sokacağından, zaman düzleminde örneklenmiş sinyalin gürültüsü bir miktar artar (3).

Örneklenmiş bir  $X(t)$  sürekli işaret; zaman ekseninde düzgün olarak yerleştirilmiş,

$D(n) = \sum (\delta t - nh)$  (3.18)  
İmpals treninin  $X(t)$  ile modüle edilmiş şekli olarak görülebilir.



Sekil: 3.10 Kuantalayıcı geçiş karakteristiği(3).

Sekil: 3.11 Örnekleme ve kuantalama(3).

$$X_q(t) = \sum_{n=-\infty}^{\infty} X(t) \cdot \delta(t-nh) \quad (3.19)$$

Buradaki  $(t-nh)$ ; nh saniye kadar gecikmiş birim alanın bir impuls ifadesi olup, h; örnekleme aralığıdır. Bunlardan türetme yaparsak, dikdörtgen pals serilerinin spektrumu aşağıdaki gibi elde edilir.

$$D(n) = \frac{AB}{h} \left\{ \frac{\sin n\pi(B/h)}{n\pi(B/h)} \right\} \quad (3.20)$$

Burada A; darbe yüksekliği B; ise darbe genişliğidir. Delta fonksiyonu  $B \rightarrow 0$  iken  $A \cdot B = 1$  olacaktır. Yani.

$$\lim_{B \rightarrow 0} D(n) = \frac{1}{h} \text{ olur.} \quad (3.21)$$

Zaman düzleminde delta serilerini ifade etmek için,  $D(n)$  Fourier transformunda yerine konularak, kuantalanmış işaret;

$$X_q(t) = X(t) \cdot \frac{1}{h} \sum_{n=-\infty}^{\infty} \exp(j2\pi nt/h) \quad (3.22)$$

şeklinde ifade edilir. Kuantalanmış işaret, impals treni ve sürekli  $X(t)$  işaretinin Fourier serisinin (harmonik yapısı) çarpımı olarak gösterilmiştir.

Ayrıca kuantalama sırasında işarete giren hatanın minimum yapılabilmesi için analog/sayısal dönüştürücünün dinamik kademesi (çıkış kelimesindeki bit sayısı) büyük olmalıdır.

### 3.6 Bilgisayar tabanlı işaret işleme teknikleri

Modern mini bilgisayarlar (mini computer) günümüzde bir çok laboratuvar ölçüm aletlerine hızlı şekilde girmiştir. Veri (data), yazılım (software) kontrolu altında işletilip tekrar elde edilebilmektedir. Analog-sayısal ve sayısal-analog dönüştürücülerin bilgisayar veya mikro-islemci ile bağlantılı şekilde kullanılabilmeleri, büyük miktardaki verinin işlenmesini mümkün kılmaktadır.

Esasen sadece donanım( hardware) tabanlı işaret/gürültü iyileştirme teknikleri, bilgisayar tabanlı tekniklerin yanında yetersiz kalmaktadır(4).

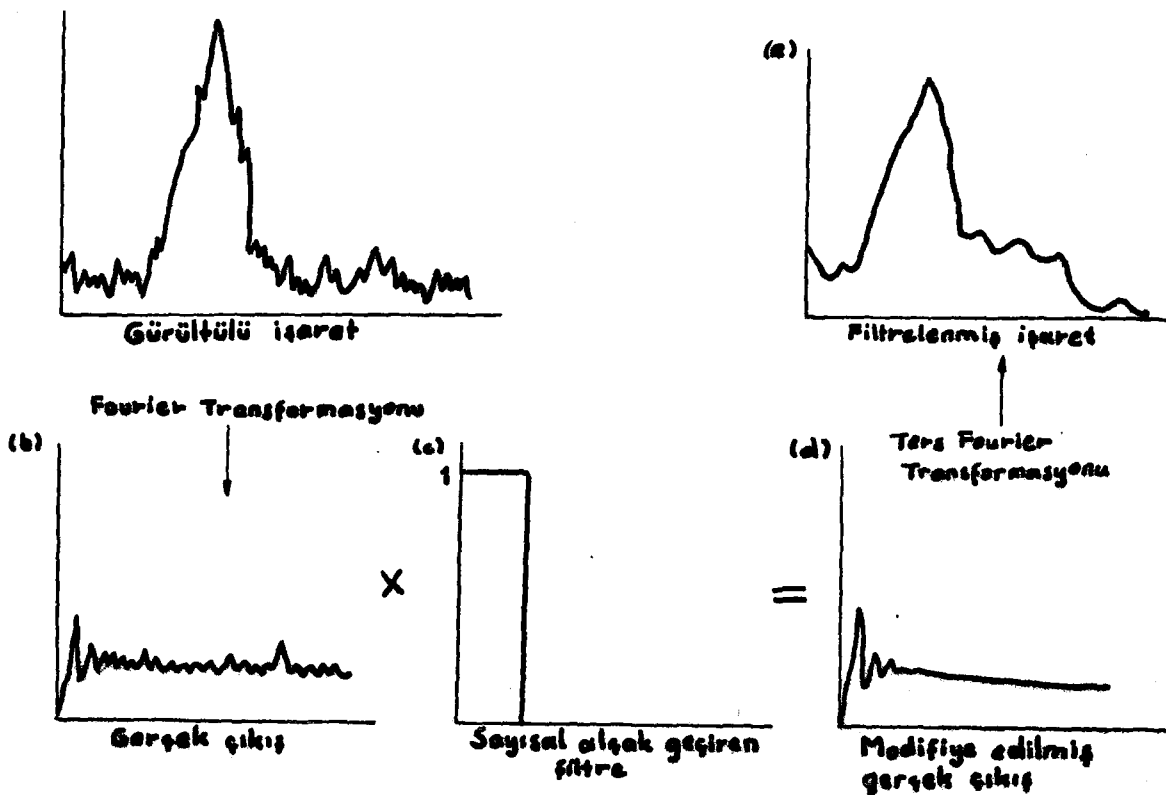
Bilgisayar tabanlı sistemin ilk avantajı esnek olmasıdır. Bir çok durumda işaret/gürültü iyileştirme çalışması, verinin işlenmesinden önce yapılır. Eğer İ/G iyileştirmesi de bilgisayar tabanlı ise, sonraki veri işlenmesi oldukça kolaylaşır. Bir çok durumda sorun olan, verinin tekrar elde edilme hızıdır. Herhangi bir bilgisayar tabanlı İ/G iyileştirme tekniği veya işaret işleme tekniğinde doğal bir adım, analog verinin sayısallaştırılmasıdır. Bunun içinde; ilgili işaretin örneklenmiş ve kuantalanmış olması gereklidir. İstemesek de bu sırada bir miktar hataya yol açılır. Örnekleme aşamasında da bilgisayar tabanlı teknikler kullanmak çok faydalıdır. Yalın analog filtreleme, İ/G iyileşterme tekniklerinin tümü içersinde yaygın olarak bir miktar yer kaplar. Filtreleme işlemleri de etkin olarak, bilgisayarda depolanmış dalga şeklärının kullanılması ile yapılabilmektedir(4).

### 3.6.1 Sayısal Filtreleme

İşaret ölçümünün optimizasyonunda başlıca önemli nokta, işaretin bant genişliği için devrenin kontrol edilebilmesidir(4). Band genişliği kontrolu, aktif veya pasif tipte; direnç, kapasitör ve endüktörlerin olduğu şebekelerde frekans seçimi ile yerine getirilir. Bununla birlikte sonuçlar arzu edilenden çok eksik olur. Çünkü arzu edilmeyen zayıflatmalar ve işaret frekansındaki faz kaymaları işaret bilgisinde distorsiyona sebep olurlar veya İ/G iyileştirmesinin optimal değerinin altında kalmasına yol açarlar. Sayısal filtreleme, bu sorunların bir çoğunu yener.

Sayısal filtreleme, yalın olarak, yazılım kullanarak band genişliği kontrolünü kapsar(4). Sayısal filtrelemenin yapısına uygun ve öğretici bir yol onun, Fourier transformu kullanılarak yapılmasıdır. Burada önemli olan, işaretin frekans yapısının (composition) bilinmesi düşüncesidir. Frekans yapısı, Fourier transformasyonun kullanılması ile genlik-zaman değişimli dalga şeklärinden belirlenebilmektedir. Genlik-zaman değişimli dalga şeklärindeki analog filtre etkisi; filtrenin frekans cevap eğrisi ile dalga şeklärının frekans spektrumunun çarpılması suretiyle doğru bir şekilde açıklanabilmektedir(4). Bu benzer proses, bilgisayarda işaret dalga şeklärının Fourier transformunun tekrarlamalı hesaplanmasıyla başarılmalıdır. Bununla birlikte arzu edilen herhangi bir frekans cevap eğrisi başlatılabilirken, basit sayılabilecek bu işi sadece donanım (hardware) ile yerine getirmek mümkün olmayabilir. Böyle bir sonuç ancak; faz kaymasız, karesel kesimli (cutoff), yüksek geçiren, farklısal(differentiating) ve kesikli (discrete) frekans filtrelerinden birisini kullanmak suretiyle sağlanabilir.

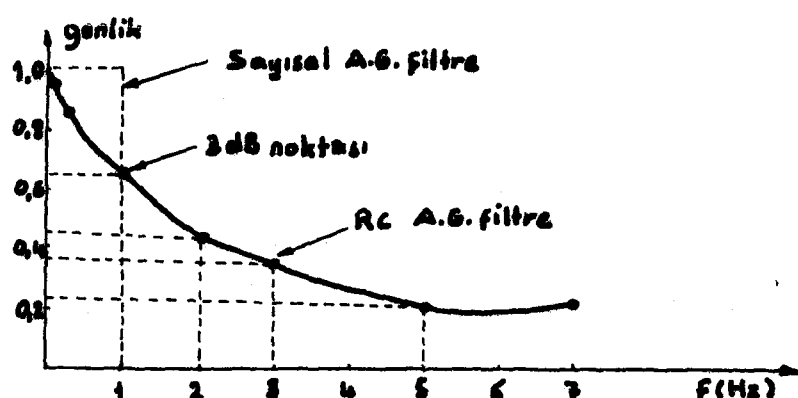
Aşağıdaki Şekil: 3.12'de bir alçak geçiren sayısal滤re çalışmasının değişik evreleri gösterilmiştir.  
Şekil: 3.12(a)'da gürültülü bir işaret gösterilmiştir. Fourier transformunun gerçek (real) çıkışısı ise Şekil: 3.12(b)'de görülmektedir. Fourier transformunun gerçek çıkışısı (real) esasen, genlik spektransının bir benzesidir. İşaretin dağılımı (distribution) önemli olup, bu çizimdeki gürültü bilgisi, genlik spektansındaki gibidir.



Şekil: 3.12 Sayısal Filtreleme Aşamaları(4).

Şekil: 3.12(c)'de ideal bir alçak geçiren滤器 karakteristiği gösterilmiştir. Bu滤器 faz kaymasız ve dinamik değişen kesim değerli olup bu karakteristikler bir analog滤器 ile çarpılarak, modifiye edilmiş gerçek (real) çıkış elde edilmiştir. Sonuctaki filtrelenmiş işaret, bu çıkışın Ters Fourier Transformunun alınmasıyla tekrar elde edilmiş olup, Şekil: 3.12(e)'de gösterilmiştir. Dikkat edilmesi gereken, gürültü düzeyinin yeterince azalmış olmasıdır. Bu işlemin analog滤器lerle yapılması, işarette distorsyon sokmaksızın oldukça zordur. Sayısalfiltrelemeden kaynaklanan hatalar ihmali edilebilecek düzeydedir.

Sayısal alçak geçiren滤器 ile bir analog R/C alçak geçiren滤器 Şekil: 3.13'de karşılaştırılmıştır.



Şekil: 3.13 Sayısal yazılımlı frekans cevabı ile Analog alçak geçiren滤器 karakteristiğinin karşılaştırılması(4).

Eğrilerde dikkat edilmesi gereken, sayısal filtrenin kesim değerinin, Analog filtrenin-3dB noktasına göre belirlenmiş olmasıdır(4). Böylece filtreleme olayına güç ve esneklik açısından en iyi yaklaşımın, sayısal teknik olduğu açıkça görülmektedir. Bir çok kullanışlı filtre, bu yaklaşımla oluşturulmuştur. Ayrıca diğer önemli bir nokta; sayısal filtreleme olayının, I/G iyileştirmesinde sıkça kullanılan hareketli ortalamalı (moving average) düzgünleştirme prosesine benzes olmasıdır(4). Bu yaklaşımda işaret, düzgünleştirme (smoothing) fonksiyonu ile çapraz ilişkiliidir (cross-correlated).

Düzgünleştirme fonksiyonu, dikdörtgen biçimde yakın alınlabilir. Çapraz-ilişki işlemi, esasen bir taramalı (scanning) boxcar integratörünü simule edebilmektedir. Aşırı karmaşık yapılı çok sayıda düzgünleştirme fonksiyonu geliştirilmiştir. Herhangi bir durum için, sekili çok önemli olmayan bir düzgünleştirme fonksiyonu kullanılabilir. Sayısal filtrenin eşdeğeri; daima düzgünleştirme fonksiyonunun Fourier transformunun alınmasıyla basitçe bulunabilmektedir(4).

Aşağıda; sayısal filtrelemeye örnek olarak, 60Hz'lik şebeke frekansının atılmasına ait teknik incelenmiştir.

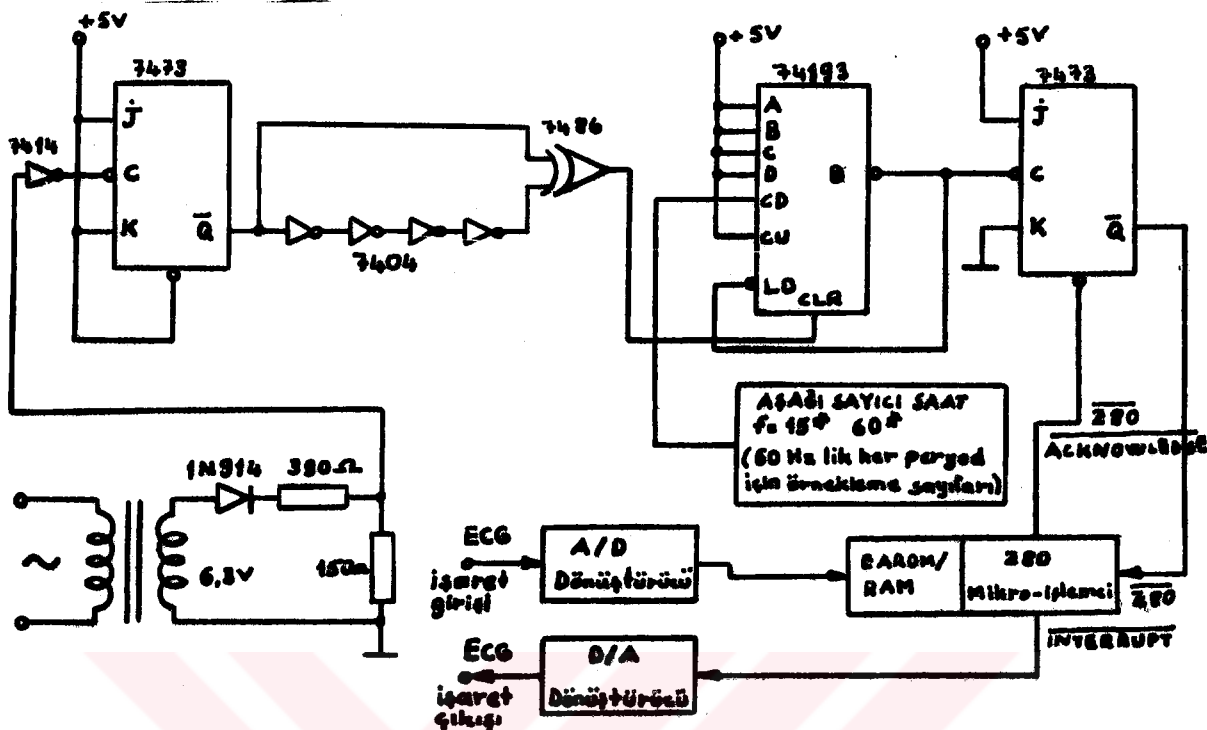
### 3.7 Şebeke gürültüsünün atılmasına ilişkin teknik

Güç hattından gelen 60Hz'lik (Amerikan sistemi) girişimler (interference), ECG gibi biyopotansiyelleri bozabilirler. Analog algak geçirici filtrelerin kesim frekansları (Cut-off frequency) 60Hz değerinde ayarlanarak bu tip girişimler uzaklaştırılır. Fakat bu arada işaretin band genişliğide azalacaktır. Sayısal filtreler, 60Hz'lik siniroidleri uzaklaştırırken, daha yüksek frekanslarındaki harmoniklere etki etmez(5).

Bu filtreler; gürültünün bir peryotluk varlığının öğrenilip bunun işaret dalga şeklinden çıkartılması sonucunda, şebekeden gelen girişimlerin atılması esasına göre çalışırlar.

Küçük mikro-islemcili veri elde etme sistemlerindeki filtre algoritması iki adımda gerçekleşir. Birincisinde; 60Hz'lik zaman aralıklarında biyopotansiyel işaretin örneklenmesi ile gürültü girişiminin yapısı öğrenilir ve örneklenmiş değerler mikro bilgisayarlardaki RAM bellekteki tabloya kaydedilir. Sonra filtre, ardışılı(subsequent) giriş işaret örneklerinden tablodaki değerleri çıkararak filtrelenmiş çıkışı sağlar(5). Bu işlem, etkin olarak girişimleri uzaklaştıracaktır. En etkili bir şekilde gürültünün atılabilmesi için; filtre algoritmasının işaretin bir peryodu esnasında gürültü dalga şekeini öğrenirken, diğer bir dalga şekeinin saptırmalarının olmaması gereklidir. Örneğin, ECG'nin yapısındaki izoelektrik bölgede (isoelectric region) gürültü sayılı, kardiyak dalga şeke aktivitesi tarafından dağılım olmaksızın yakalanmaktadır.

Filtrenin gerçekleştirilmesinde; Z80 mikro işlemcisi, RAM, ROM, A/D ve D/A dönüştürücülerile mikro işlemci için gerekli örneklemeye kesmeleri (interrupts) üreten zamanlayıcı devresi kullanılmaktadır. Önemli olan bir nokta; örneklemeye kesmelerinin bu zamanlayıcı yardımıyla elde edilebileceğidir. Filtrenin dahili gürültü tablosu ile(bellekte), işaretin bozan gürültü dalga şekeini kilitlemek için, zamanlama devresinin 60Hz'lik şebeke frekansı ile kesme darbelerini senkronize etmesi gereklidir. Şekil: 3.14'de zamanlama devresinin şematik diyagramı gösterilmiştir.



Şekil: 3.14 Kesme darbelerinin elde edilmesi (5).

Devrede, şebekeden alınan 60Hz'lik darbeler, darbe üreteceği olan sayıcıyı 15. ve 16. darbeler arasında sıfırlayarak (reset), darbe treninin senkronize edilmesini sağlar. Filtre yazılımının gerçekleşmesi için, RAM bellekte 220 kelime (byte)lik yer işgal eden 150 satırlık assembly dil kodu kullanılmıştır(5).

Mikro-bilgisayar tabanlı öğrenci filtreler; öğrenme başlangıcında depolanmış olan gürültü dalga şeklinin kopyasının biyo-potansiyel işaretten çıkarılması prosedürünü gerçekleştirirler. Filtre, giriş işaretinin çok küçük bir peryodunda gürültü dalga şeklini öğrenmelidir. Ayrıca滤, gürültü dalga şeklinin genlik değişimleri sırasında yeni bir gürültü dalga şeklini otamatik olarak öğrenebilmelidir.

Bundan sonraki bölümlerde, Ölçüm sistemini oluşturan kısımlar incelenecektir. Devrelerin özellikleri incelenirken, tasarımlarına ait gerekli hesaplamalara da yer verilmektedir. İlk olarak ön yükselteç katından başlanılmıştır.

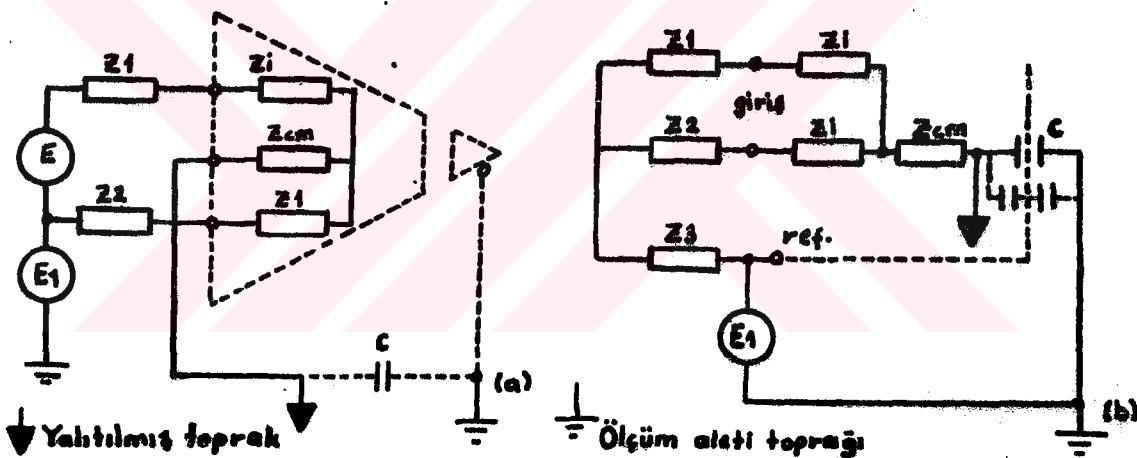
#### 4. BÖLÜM ÖN YÜKSELTEC

Biyomedikal ölçümlerin amacı, fizyolojik işaretlerin alınması işlenmesi ve gösterilmesini kapsar. işaretlerin fizyolojik kaynaklardan alınmaları daha önceki bölümlerde incelenmiştir. işaretin, işlenebilmesi için yeterli bir düzeye çıkılması gereklidir. Bu aşamada, işaretin harici gürültülerin karıştırılmaması gereklidir. Bunun yanında hastaya en yakın devre birimi ön yükselteç olduğundan, bu devrenin kesinlikle pil ile beslenmesi gereklidir. Aşağıdaki bölümlerde; kullandığımız ön yükselteç devresi, saydığımız özellikler açısından incelemiştir.

##### 4.1 Temel prensipler

Genellikle tüm elektrofizyolojik ölçümleme, A.C. besleme hattından gelen girişimler, fizyolojik işaretin bulasımına neden olmaktadır (1). Bu nedenle işaret yükseltilirken; bu girişimler olabildiğince zayıflatılmalıdır. Farksal yükselteçler (Differential amplifier), bu iş için rahatlıkla kullanılabilir. Bu nedenle ön yükselteçimizin girişinde, "Ölçüm yükselteci" kullanılmıştır.

Devrenin diğer bir özelliği de yalıtımıdır. Şekil: 4.1'de yalıtılmış giriş katına ait basitleştirilmiş diyagramlar verilmiştir.



Şekil: 4.1 Yalıtılmış giriş katının basitleştirilmiş diyagramı (1).  
 a) Yalıtım ile  $Z_{cm}$  ortak mod empedansının artırılması.  
 b) Yalıtım ve ekranlama ile  $Z_{cm}$  empedansının artırılması.

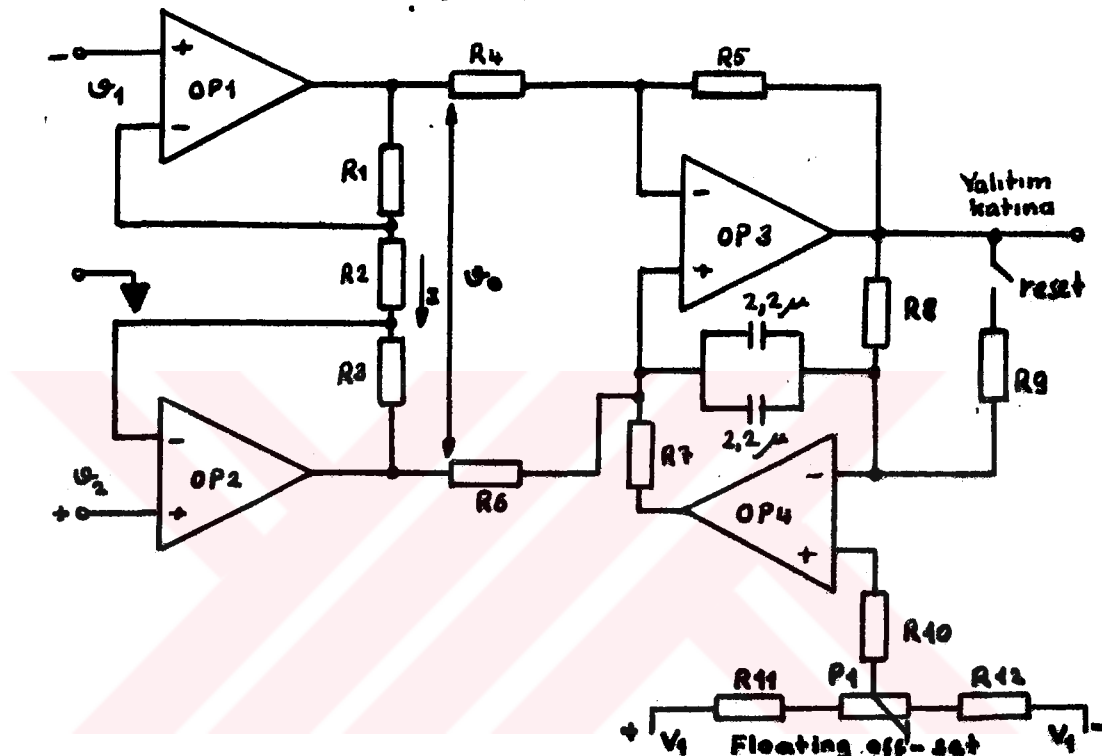
Arzu edilen biyo-isaret  $E$  gerilim kaynağı ile ifade edilirken, her iki giriş ve toprak arasındaki istenmeyen girişim işaretini ise  $E_1$  ile gösterilmistir.  $E$ ; işaretin yükseltecin girişleri arasındaki fark işaretidir.

$Z_{cm}$  ortak mod(common mode) empedansının yükselmesi, istenmeyen girişimleri atacaktır (1).  $Z_{cm}$ , pratik olarak sonsuz kabul edilebileceğinden, kaynak empedans farklılıklarını ayrıca bir fark işaret (gürültü) üretmeyecektir. Uygulamada ortak mod empedansı, yalıtım ve ölçü aleti tıpraklaması arasında görülen kapasite ile belirlenir. Bunun değerinin çok küçük tutulması gereklidir. Elektrot polarizasyon etkileri gibi girişimler, işaretin girmiş olduğundan, zayıflatılamazlar. Bu yüzden biyo-isaretteki var olan gürültü, giriş katında atılamaz fakat gürültü eklenmesi mümkün olan küçük bir seviyede tutulur.

Esasen işarette girmiş olan gürültü, işaretin filtrelenmesi ile atılır.

#### 4.2 Tasarım Özellikleri

Ün yükselticen katının tasarımında aşağıdaki gereksinimlerin karşılanması gereklidir. Giriş katının kazancı; gürültü katkılamasını ihmali ettierecek kadar, gerekli seviyede olmalıdır (Yüksek işaret-gürültü oranı). Elektrot polar izasyonundan kaynaklanan off-set gerilimleri büyük kademelerde dengelenebilir (compensation). Çok amaçlı kullanımlar için, büyük kademeli kazanç ayarlamaları yapılmamasının yanında, beyin ile ilgili ölçümler için 20KHz'e uzanan band genişliğine sahip olmalıdır. Şekil: 4.2'de ön yükselticin, "Ölçüm yükselticisi" olarak adlandırılan farksal giriş katı görülmektedir.



Şekil: 4.2 Ölçüm yükselticinin elektriksel şeması(1).

Konpanzasyon devresi, integratörle geri beslemeli olan birim kazançlı fark yükselticini kapsar (OP4). Elektrot off-set gerilimleri istenmeyen bir D.C. seviye oluşturduğundan, OP4'ün girişine gelen bu etki integre edilerek giriş işaretinden atılmış olur. Esasen bu devre;  $R \times C$  zaman sabiti 100sn üzerinde olan yüksek geçiren bir filtre etkisi gösterir. Bu etki, integratör kapasitesinin sızıntısı ile işlemsel yükselticin (opamp) kutuplama akımına bağlı olduğu gibi, besleme gerilimine de bağımlıdır.

Elektrotların uygun olduğu giriş katı, iki adet alçak gürültülü OPAMP ile kurulmuştur. Bu tür bağlantıda giriş direnci yüksek olup, çıkıştaki üç dirençle ( $R_1, R_2, R_3$ ) kazanç ayarı yapılmaktadır.

Kazanç aşağıdaki gibi hesaplanabilir. Her iki OPAMP'in uçları arasındaki gerilim farkı, kabaca sıfır alınırsa (giriş dengesizlik gerilimi);  $R_2$  uçlarında  $V_1 - V_2$  gerilimi oluşur ( $V_1 > V_2$  ise). Dirençten akan akım ile çıkış gerilimi aşağıdaki gibi hesaplanabilir(6).

$$I = \frac{V_1 - V_2}{R_2} \quad (4.1)$$

(31)

$$V_o = I \cdot (R_2 + 2R) = (V_1 - V_2) \cdot \left(1 + \frac{2}{m}\right) \quad (4.2)$$

Burada  $R_1 = R_3 = R$  ayrıca  $R_2 = m \cdot R$  olmaktadır.

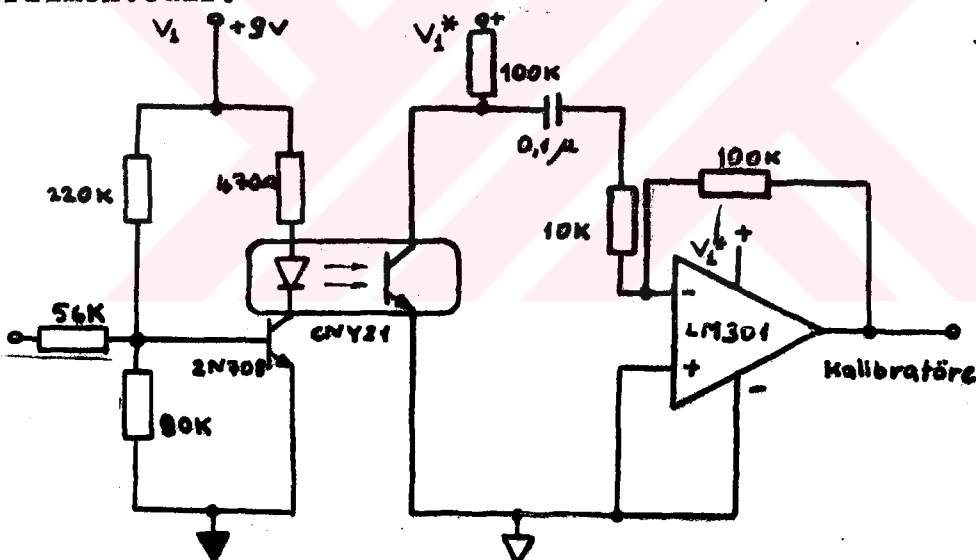
Uygulama devresinde,  $R_1 = R_3 = 15K$ ,  $R_2 = 1K$  olduğuna göre:

$V_o = (V_1 - V_2) \cdot (1 + 30)$ 'dan kazanç: 31 olarak bulunabilir. Bu duruma göre konpanze edilebilen maksimum off-set gerilim kademesi;  $V_1 / 31$  dir ( $V_1$ : yalıtılmış besleme kaynak değeri).

Konpanzasyon devresinin, D.C. off-set gerilimindeki önemli miktardaki değişimlere cevap verebilmesi için integratörün zaman sabitinin azalmas gerekebilir. Bu amaçla anahtar yardımıyla direnç değeri küçültülür.

#### 4.3 Yalıtım ve kalibratör

Elektrofizyolojik ölçümlerin yapılmasında, hastanın güç besleme hattından gelecek etkilerden korunması gereklidir. Bu amaçla önyükselteç kısmında yalıtım devreleri kullanılmaktadır. Yalıtım teknikleri, endüktif veya optik olabilmektedir. Endüktif yalıtımın esası; biyo-işaret ile 500KHz civarındaki taşıyıcının dengeli modülasyona(balanced modulation) uğratılmasıdır. Modülelli işaret transformatör aracılığı ile diğer kata aktarılır, burada demodüle edilmektedir. Gerçeklestirdiğimiz sisteme yalıtım tipi, optik tiptir. Bu amaç için CNY21 optik aktarıcı (opto-coupler) kullanılmıştır. Şekil: 4.3'de yalıtım katı gösterilmektedir.

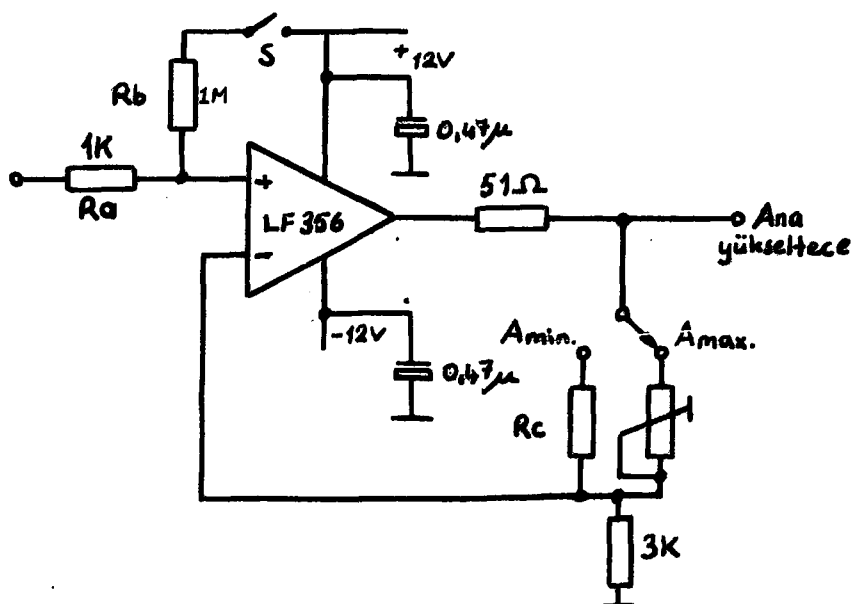


Şekil: 4.3 Optik yalıtım katı(1).

Optik aktarıcı GaAs infrared ışık yayan diyon ile epitaksiyal planar foto transistörlerden yapılmıştır. Elemanın akım aktarma (transfer) oranı 0,6'dır. Bu yüzden ışık yayan diyon, 2N708 transistörü ile sürülmektedir. Transistör devresinin kullanım amacı, akım kazancı sağlamaktır. Elemanın diğer kısmındaki foto transistör de "Düz yön kutuplama" altında çalıştırılmaktadır. LM301 işlemel yükselteçi esasen bir "evirici yükselteç" olarak çalışmakta olup, gerilim kazancı 10'dur. Bu tür bir devrenin, yalıtım gerilim sınırı D.C. 10KV'dur.

Kalibratör devresinin amacı; önyükselteç katının kazancını kalibre etmektedir. Devrenin elektriksel bağlantısı Şekil:4.4de gösterilmiştir. Devrede alçak gürültülü LF356 işlemel yükselteci kullanılmıştır.

(32)



Şekil: 4.4 Kalibratör katı(1).

S anahtarı ile  $R_b$  direnci devreye alınmadan önce, opamp bir evirmeyen yükselteç olarak çalışır. Bu devre yardımıyla, değeri belirlenen bir kazanç sağlanabilmektedir. Devrenin kazancı belirlenirken, Terslemeyen mod çalışması esas alınmaktadır. S anahtarı kapanlığında  $R_a$  ve  $R_b$  den oluşan gerilim bölücü sistemi yardımıyla, opampın (+) girişinde bir referans gerilim oluşur. Aşağıda, bu kalibrasyon gerilimi şöyle yazılabilir (1).

$$V_{cal} = \frac{R_a \cdot V_2}{280 \cdot (R_a + R_b)} \quad (4.3)$$

Burada; paydadaki (280) katsayı, opamp giriş direncinin sonsuz büyüklükte olmamasından dolayı oluşacak gerilim bölücü sistemdeki sapmayı ifade eder.

Devrenin kazancı da şöyle yazılabilir (1).

$$AV = \left( \frac{R_c}{3K} + 1 \right) 300 \quad (4.4)$$

$V_2$  kaynağından bir referans gerilimi uygulamakla, devre yalnız bir terslemeyen mod çalışmasından çıkar. Kazanç ifadesindeki (300) kat sayısı bu durumu dengelemek için geliştirilmiştir. Eğer  $R_c = 100K$  ve bir kaç ohm gibi iki ayrı değerde (anahtar yardımıyla) seçilirse kazanç kabaca; maximum 10.000 ve minimum 300 civarında belirlenebilir. Bu seçilen iki kazanç kademesi, tipik olarak kullanılan değerlerdir.

#### 4.4 Gürültü Davranısı

Sistemin toplam gürültüsü, iki gürültü üreteci ile tasvir edilebilir (1). Bunlardan  $\text{e}_n$ : RMS gürültü gerilimi veya eşdeğer kısa devre gerilimi diğeri ise  $\text{i}_n$ : RMS gürültü akımı veya eşdeğer açık devre akımıdır. Genellikle yükselteç tasarımında genel gürültü, ön yükselteç gürültüsü ile belirlenmektedir. Çünkü bu gürültü, diğer gürültülere hakimdir. Ön yükseltecin ilk katında, OP27 işlemsel yükselteç gürültülerinin hesaplanması,  $\text{i}_n$  ile kaynak direnci (elektrot empedansı) önemli olmaktadır (1).  $\text{e}_n$  Elektrot direncinin

değeri  $2-3\text{K}\Omega$  dan büyükse,  $10\text{Hz}$ 'in altındaki frekanslar için OP-27'nin gürültü akımı etkili olmaktadır. Burada gürültüden anladığımız; ölçüm yükseltecinde ortak mod empedansının sonsuz değerde olmamasından dolayı; elektrot çıkış empedansları ile giriş empedansı dengesizliğinden kaynaklanan fark gerilimler sayılabilir. Bunun yanında yarı iletgen malzemelerin kendi ıslı gürültülerini ve besleme kaynağından gelen etkiler de sayılabilir (ideal D.C. olmazsa).

Ön yükseltcin birinci katında, yüksek kazanç tercih edilmez. Çünkü, girişden yüksek genlikli işaretler gelmiş olabilir. Devrenin tümü için çok sayıda gürültü etkisi (kaynağı) olduğundan, gürültü kaynakları için, ana yükseltcede kullanılan elektronik anahtarlama etkileri ile filtre katından gelecek etkiler de sayılabilir.

Bundan sonraki bölümde, filtreleme olayı ile filtre devreleri incelenecektir.

## 5. BÖLÜM TEMEL FİLTRE İNCELEMELERİ

Fiziksel kökenli analog bilgilerin işlenmesinde, filtreleme çok önemlidir. İşaretin istenilen band genişliği içerisinde kalması, onun diğer etkilerden uzak tutulması anlamına gelmektedir. Böyle bir devreyi kullanmaktadır. Bu nedenle tezimin odak noktasını filtre kısmı oluşturmaktadır. Sayısal hesaplayıcı kontrolunda çalışan ana yükseltic katının büyük bir kısmını filtreleme birimi oluşturur. Bu bölümde; filtreleme olayı, temel滤re karakteristikleri ve filtre tipleri kabaca gözden geçirilecektir. Böylece; gerçeklestirdiğimiz "Anahtarlanmış-kapasitör-Filtre" tipinin incelenmesine açıklık getirilmiş olunacaktır.

### 5.1 Temel Filtreleme Olayı

Devre teorisinde filtre, frekansa bağlı olarak işaretin genlik ve faz karakteristiklerini değiştiren elektriksel bir devre dir. Bağlı kazanç, frekansa bağlı olmaktadır. Filtrelerin, çok kullanılan analitik ve grafik açıklamaları, frekans düzleminde (domain) yapılmaktadır. Frekans düzlemindeki davranışları, transfer fonksiyonu veya Devre fonksiyonu (Network function) yardımıyla açıklanırlar. Transfer fonksiyonu, çıkış ve giriş işaretlerinin Laplas dönüşümünün (Laplace Transformation) oranı şeklinde yazılır:

$$H(s) = \frac{V_o(s)}{V_i(s)} \quad (5.1)$$

S; karmaşık(complex) frekans değişkeni,  $V_o(s)$  çıkış geriliminin transformu,  $V_i(s)$  giriş geriliminin transformudur.

Laplas dönüşümü yaklaşımı; cebirsel eşitliklerle çalışma kolaylığı sağladığından, yorumlamaları da kolaydır. Böylece diferansiyel denklem kullanılması gereksiz olmaktadır. Transfer fonksiyonu, filtre davranışını herhangi bir keyfi giriş işaretinde tanımlamaktadır. Değişen frekanslardaki, transfer fonksiyonunun genliği, genlik-cevabı (amplitude response) olarak veya odyo frekans uygulamalarında "Frekans-Cevabı" olarak bilinir(7).

Benzer şekilde "Faz cevabı", frekansın fonksiyonu şeklinde sinüsoidal işaretler için devrenin faz kaymasını verecektir. Genlik ve faz etkileri, (5.1) bağıntısında  $s=j\omega$  alınması ile bulunabilir. Genlik ve faz;

$$|H(j\omega)| = \frac{V_o(j\omega)}{V_i(j\omega)} \quad (5.2)$$

$$\arg H(j\omega) = \arg \frac{V_o(j\omega)}{V_i(j\omega)} \quad (5.3)$$

şeklinde bulunur.

### 5.2 Filtre analizine matematiksel yaklaşım.

Transfer fonksiyonu, her birisi  $s$  değişkeninin fonksiyonu olan pay ve paydayı içerir:

(35)

$$H(s) = \frac{N(s)}{D(s)} \quad (5.4)$$

Aşağıda ise,  $n$ 'inci dereceden bir filtre için transfer fonksiyonu yazılmıştır.

$$H(s) = H_0 \cdot \frac{s^n + b_{n-1}s^{n-1} + b_{n-2}s^{n-2} + \dots + b_1s + b_0}{s^n + a_{n-1}s^{n-1} + a_{n-2}s^{n-2} + \dots + a_1s + a_0} \quad (5.5)$$

Herhangi bir transfer fonksiyonu, filtrenin özelliklerine bağlı olarak  $a_i$  ve  $b_i$  katsayı değerlerine sahiptir. Bu katsayı değerleri, filtre karakteristiklerini belirler. Uygulamada bir çok filtre, katsayı terimlerini kapsayan "Filtre tasarım tabloları" ile açıklanmıştır(7).

Filtre transfer fonksiyonunun diğer yazma yolu ise; pay ve paydanın aşağıdaki gibi çarpanlar şeklinde yazılmasıdır.

$$H(s) = H_0 \cdot \frac{(s - Z_0)(s - Z_1)(s - Z_2) \dots (s - Z_n)}{(s - p_0)(s - p_1)(s - p_2) \dots (s - p_n)} \quad (5.6)$$

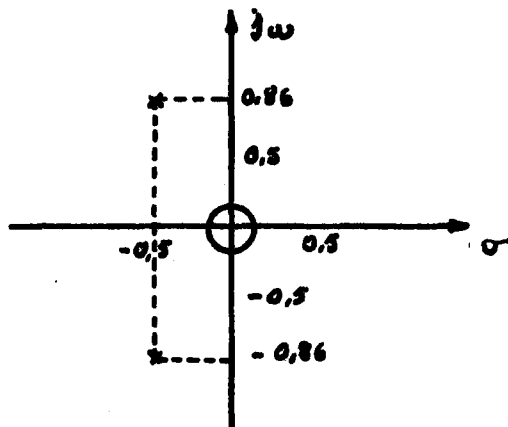
Payın kökleri olan  $Z_1, Z_2, \dots, Z_n$  "sıfırlar" (zeros) olarak, paydanın kökleri olan  $p_1, p_2, \dots, p_n$  ise "kutuplar" (poles) olarak bilinir.  $Z_i$  ve  $p_i$ 'ler karmaşık sayıdır. Bunlar karmaşık eşlenik çift şeklinde olabilirler. Bir karmaşık eşlenik çift, iki kökü içermekte olup bunların her birisi gerçel ve sanal kısma sahiptir. Karmaşık eşlenik çifte; gerçel kısımlar eşit olup, sanal kısımlar ters işaretlidir. Örneğin 2.dereceden band geçiren şebekenin fonksiyonu çarpanlar şeklinde şöyle verilmiş olsun.

$$H(s) = \frac{s}{(s+0,5+j\frac{\sqrt{3}}{2})(s+0,5-j\frac{\sqrt{3}}{2})} \quad (5.7)$$

Şebeke fonksiyonunun çarpanlar şeklindeki ifadesi, kutup-sıfır diyagramında Sekil: 5.12'de gösterilmiştir. Bu diyagramda, orijinde sıfır ve  $s=0,5-j\frac{\sqrt{3}}{2}$  ile  $s= -0,5+j\frac{\sqrt{3}}{2}$ 'de iki kutup vardır.

Kutup-sıfır diyagramı, şebekenin karakteristiklerini sezmek için görüntüsöl olarak filtre tasarımına yardım eder(7). Bir kutbun, sanal eksenin sağında kalması (pozitif), kararsızlığı gösterir. Eğer kutup, gerçel eksenin sağında kalıyorsa (pozitif); şebeke çıkıştı eksponansiyel olarak yükselecektir. Filtre tasarımında, kutupların sağ yarı düzleme yerleşmemesine dikkat etmek gerekir.

Eğer elimizde 2. dereceden filtre şebekeleri varsa, bunların ard-arda bağlanmasıyla daha kompleks filtreler elde edilebilir. Bu yeni tip filtrenin transfer fonksiyonu aşağıdaki gibi genel biçimde belirlenebilir(7).



Şekil:5.12 Örnek, kutup-sıfır diyagramı(7).

$$H(s) = H_0 \cdot \frac{(s^2 + b_{11}s + b_{10})(s^2 + b_{21}s + b_{20})}{(s^2 + a_{11}s + a_{10})(s^2 + a_{21}s + a_{20})} \quad (5.8)$$

### 5.3 Bazı kullanışlı filtre karakteristikleri

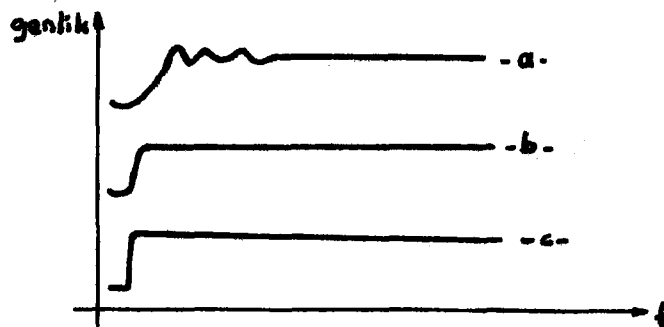
Uygulamadaki filtre cevap eğrileri veya karakteristikleri tüm ihtiyaçları karşılayamaz. Bu yüzden seçim yapılırken bir takım uzlaşımlar yapılır. Filtre transfer fonksiyonun değişik özellikleri aşağıda incelenmiştir.

Filtre derecesi: Bu özellik, filtrededeki eleman sayısı ile doğrudan ilişkilidir. Yüksek dereceli filtrelerin tasarımları zor olmasına karşın, keskin bir eğime sahiptir.

En büyük zayıflatma (rolloff) hızı: Genellikle verilen frekanslar için dB cinsinden "zayıflatma miktarı"dır. En çok kullanılan birimler; dB/octave ve dB/decade'tir. Alçak ve yüksek geçiren filtrelerde, her bir kutup için 20dB/decade alınır(7).

Geçici rejim (Transient response) cevabı: Genlik cevap eğrisi, sürekli sinüsoidal giriş işaretleri için filtre davranışını gösterir.

Gerçek uygulamalarda filtre girişine oldukça karmaşık işaretler uygulandığından, geçici rejim şartlarındaki davranışların öğrenilmesi de ilginçtir. Bunun yolu, adım (step) fonksiyonu ile test etmektir. Şekil:5.13'de adım fonksiyonu giriş'i, Alçak geçiren filtre cevap eğrisi görülmektedir.

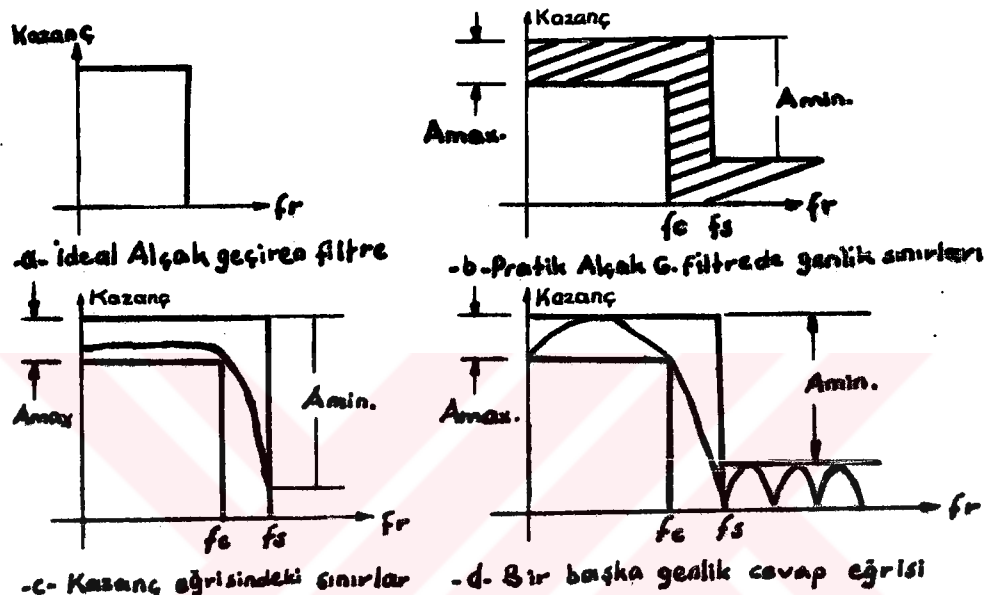


Şekil:5.13 Geçici rejim cevabı.(a) Çınlamaylı gösterir,  
(b) Düzgün bir tepkiyi gösterir,(c) giriş adım fonksiyonunu gösterir (7).

Çinlama etkisi, yüksek dereceli eğriler veya keskin kesme karakteristikleri şeklinde ortaya çıkar.

Monotoniklik: Eğer filtre kazancı frekans artarken, azalıyorsa genlik monotonik yapıya sahiptir. Bu durum alçak ve yüksek geçiren uygulamalarda karşıımıza çıkar. Bir band geçiren veya band durdurucu karakteristiklerde, merkez frekansının iki yanında monotoniklik vardır.

Şekil: 5.14'de Alçak geçiren filtre örnek alınarak, ideal eğriden sapmalar gösterilmiştir. Karşımıza dört parametre çıkmaktadır:



Şekil: 5.14 Alçak geçiren filtre için genlik kazanç eğri örnekleri(7).

Amax; Geçirme bandındaki izin verilen max. kazanç değişimi veya maximum geçirme bandı dagalanması (ripple). Bu özellik, monotonikliğe zıt düşer. Amin; Durdurma bandındaki izin verilen minimum zayıflatma miktarı,  $f_c$ ; geçirme bandı sınırı veya kesim frekansı,  $f_s$ ; Durdurma bandı başlangıç frekansıdır.

Bu dört parametre ile bir çok sayıda genlik cevap eğrileri, dolayısıyla filtre tipleri belirlenebilir. Günümüzde tasarımcılar için, standart filtre karakteristikleri tanımlanmış olup, filtre problemlerinin birçoğunu çözmekte yeterli esneklik sağlanmaktadır. Klasik filtre fonksiyonları matematiksel olarak geliştirilerek bazı filtre tipleri ortaya çıkarılmıştır.

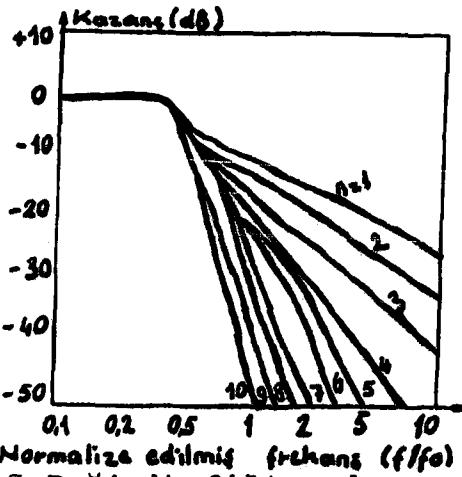
### 5.3.1 Butterworth Filtre

En çok bilinen filtre fonksiyonudur. Geçirme bandında düzgünlüğe sahip olup zayıflatma hızı (roll-off), her bir kutup için  $20\text{dB/decade}$  ( $6\text{dB/octave}$ ) dir. Bir alçak geçiren Butterworth filtrenin genlik-cevap eğrisi, genel şekli ile aşağıdaki gibidir.

$$H(\omega) = \frac{1}{1 + \left(\frac{\omega}{\omega_0}\right)^{2n}} \quad (5.9)$$

Burada  $n$ ; Filtre derecesi (pozitif sayılar  $1, 2, 3, \dots$ )  
 $\omega_0$ : -3dB frekansıdır.

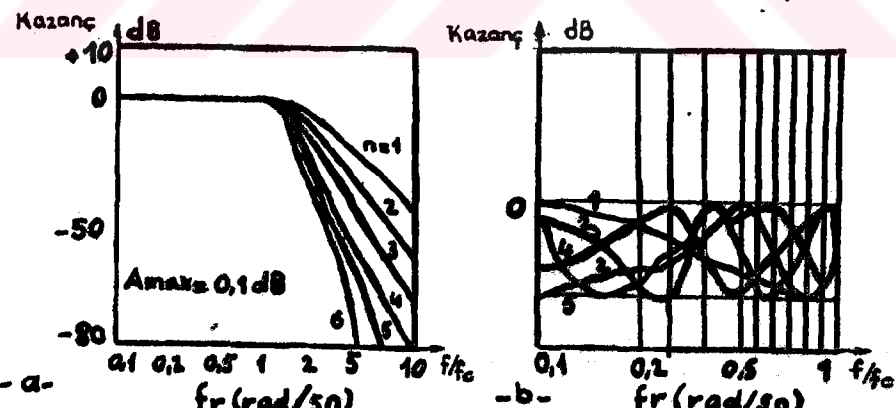
Filtrelerde görüleceği gibi, yapmış olduğumuz滤tre katında Butterworth tip filtreler kullanılmıştır. Diğer yandan Butterworth polinomları; çeşitli dereceli filtreler için tablolar halinde verilen katsayılarından kurulabilir. Şekil 5.15'de, değişik dereceler için Butterworth filtrelerin genlik cevap eğrileri gösterilmiştir.



Şekil: 5.15 Değişik filtre dereceleri için, Butterworth genlik-cevap eğrileri (7).

### 5.3.2 Chebyshev Filtre

Bu tür filtrenin genlik cevap eğrisinde geçirme bandında dalgalanma vardır. Bu dalgalanma miktarı, Chebyshev filteryi tanımlayan kullanışlı bir parametredir. -3dB frekansı yakınında "adımlayıcı" (steeper) rolloff'a sahiptir. Şekil 5.16'de farklı Chebyshev filtre karakteristikleri görülmektedir.

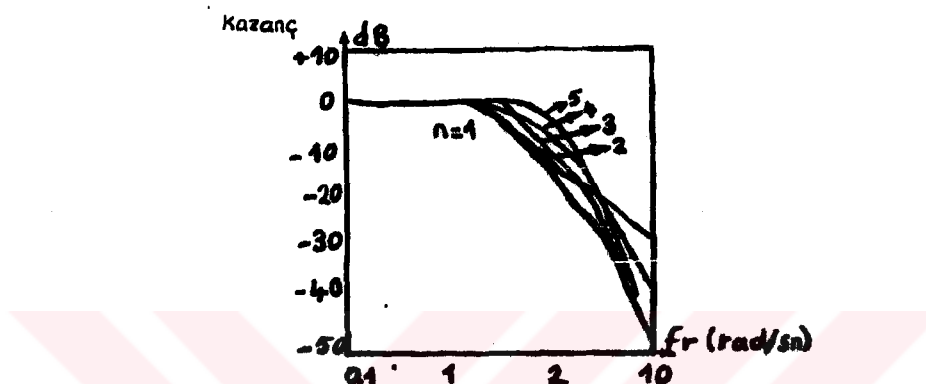


Şekil: 5.16 Chebyshev genlik cevap eğrileri (a) 0,1dB dalgalanmali, (b) geçirme bandının büyütülmüş görünüsü (7).

Bu tip filtrede geçirme bandında,  $n$ 'inci derece için  $(n-1)$  tepe (peak) veya çökme (dip) vardır(7). Nominal kazanç, geçirme bandındaki kazanca eşittir. Chebyshev filtreleri açıklanan geçirme bandı dalgalanması, Butterworth filtredeki düşme eğimi gibidir. Chebyshev filtreleri açıklamak oldukça karmaşık olup bu amacıyla, farklı "dalgalanmalar için tasarım tabloları hazırlanmıştır.

### 5.3.3 Bessel filtre

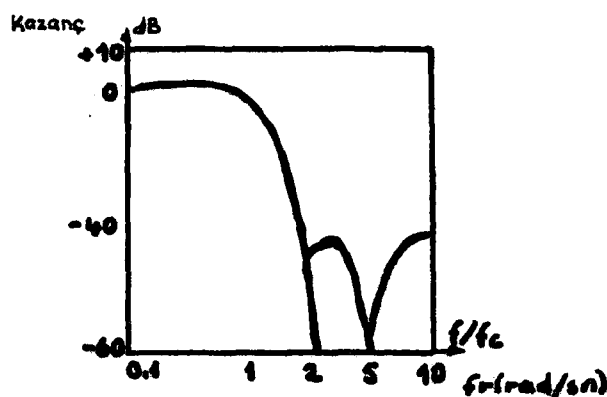
Tüm filtelerde frekansla değişen bir faz kayması vardır. Faz kayması frekansla doğru orantılı ise, çıkış işaretinde bir gecikme vardır. Faz kayması, farklı frekans bileşenlerine sahip giriş işaretinde istenmeyen etkilere yol açar. Bessel veya bazen de Thompson filtresi olarak adlandırılan filtrenin faz kayması frekansla doğru orantılı sayılabilir(7). Alçak geçiren tipleri, geçirme bandında bir "gecikme hattını" simüle eder. Bessel filtrenin genlik-cevabı monotonik ve düzgündür. Şekil: 5.17'de değişik derecelerdeki Bessel filtrelerin genlik cevapları verilmiştir. Şekildeki her bir filtrenin nominal gecikmesi 1 saniyedir.



Şekil: 5.17 Değişik derecelerdeki, Bessel filtrenin genlik cevap eğrileri(7).

### 5.3.4 Eliptic filtre

Bu filtrenin kesim eğrisi, adımlayıcı özelliklektedir. Genlik cevabında, geçirme ve durdurma bandı dalgalanmaya sahiptir. Faz cevabı ise oldukça eğriseldir. Eliptic fonksiyon, durdurma bandında keskin bir kesme(Cut-off) özelliği verir. Filtrenin dalgalanması, durdurma bandında tanımlanmıştır(7). Bu filtreyi aşağıdaki üç parametre ile tanımlayabiliriz. Bunlar; geçirme bandı dalgalanması, durdurma bandı zayıflatması ve filtrenin derecesidir. Tasarım amacıyla; katsayılar bilgisayar destekli hesaplanabileceği gibi tablolarda kullanılmaktadır. Şekil: 5.18'de Eliptic alçak geçiren filtrenin genlik-cevabı eğrisi görülmektedir. Filtre, 4.dereceden olup,  $A_{max} = 0,5 \text{ dB}$  ve  $f_s/f_c = 2$  dir.



Şekil: 5.18 Eliptic alçak geçiren filtrenin genlik cevap eğrisi(7).

#### 5.4 Aktif ve pasif filtrelerin karşılaştırılması

Bir pasif filtre, içinde yükseltici elaman bulunmayan ve direnç-kondansatör-endüktans dan oluşan devredir. Herhangi bir transfer fonksiyonun yerine getirilmesi oldukça basittir. Çok yüksek frekanslarda çalışabilirler ve gürültüleri çok küçüktür. Bununla birlikte max. kazançlı olup, uygulamada bu değerden küçüktür. Kullanılan endüktansların boyutları düşük frekanslarda büyük olacağından, pasif filtre tasarımı güçlesir.

Aktif filtreler, esasen işlemsel yükselticiler (opamps) etrafında direnç ve kondansatörlerle kurulmuş geri beslemeli döngüler kapsayan yükselticelerdir. Gerçek bir kazanç sahip olup, tasarımları kolaydır. Yüksek frekanslardaki performans, kazanç-band genişliği çarpımı ile sınırlıdır. Düşük gürültülü opamplar kullanılarak, gürültü minimize edilebilir. Genellikle, transfer fonksiyonun her kutbu için, bir kondansatör ve bir opamp gereklidir(7). Direnç ve kondansatör elemanlarının toleransları ve sıcaklık sürüklenebilirleri filtre karakteristiğini etkiler.

Yeni bir filtre tipi "anahtarlanmış kapasitor滤resi" (A.K.F.) olup, ilginç yetenekleri sayesinde standart aktif filtre tasarımındaki sorunları yener. A.K.F. ler harici kondansatör veya endüktans kullanmazlar. Kesim frekansları, harici bir saat (clock) frekansı ile ayarlanabilmektedir(7). Ard arda bağlanmak suretiyle yüksek dereceli tasarımlar yapılabilmektedir. Ayrıca çok düşük sıcaklık duyarlılığına sahiptirler. Fakat gürültü miktarları büyüktür. Alalade aktif filtreler "eviren" (inverting) integratörü kullanırken, A.K.F. ler "evirmeyen" (noninverting) integratör kullanır. Uygulanan saat frekansının değişimi, integratör direncini değiştirecektir. Bu değişim, filtrenin merkez frekans ile orantılıdır(7). National'ın MF5 ve MF10 A.K.F leri universal olup, tüm filtre tipleri bunlarla gerçekleştirilebilir.

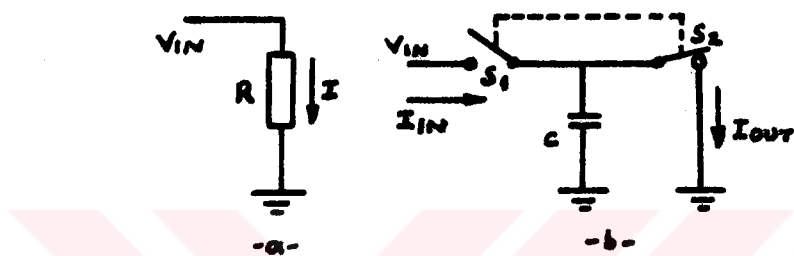
## 6. BÖLÜM

### ANAHTARLANMIŞ KAPASİTÖR FİLTRELER

Anahtarlanmış kapasitör filtreler ile, çok basit tasarım çalışmalarıyla belirli uygulama kademelerini kapsayacak şekilde çeşitli filtreler yapılabilmektedir. National firmasının ürünlerini beş temel filtre tipini gerçekleştirecek universal niteliktedir. A.K.F'lerin teorik yapıları kısaca incelenecektir.

#### 6.1 Anahtarlanmış, kapasitör-direnç

Temel düşünce, bir kapasitör ve bir kaç anahtar yardımıyla bir direnç davranışının simülasyonu edilmesidir. Bu simülasyon edilmiş direncin değeri, anahtarların açılıp-kapanma hızları ile ters orantılıdır(7). Şekil 6.1'de bu çalışma gösterilmiştir.



Şekil 6.1.(a) Simüle edilmiş direnç,(b)Anahtarlanmış kapasitör "direnç" (7).

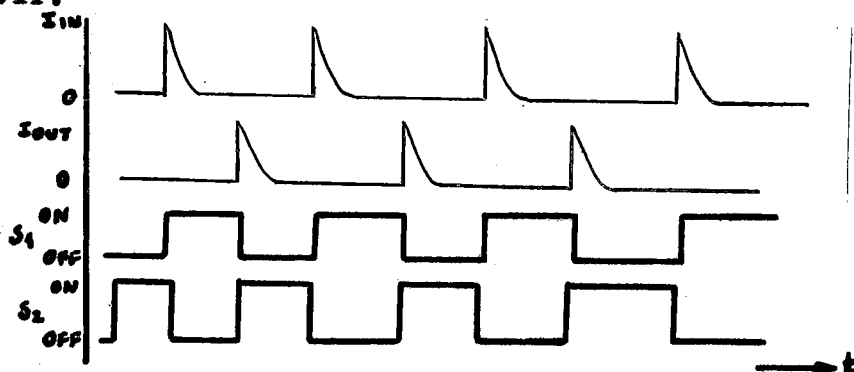
Toprağa bağlanmış dirençden akan akım;

$$I = \frac{V_{IN}}{R} \quad (6.1)$$

olacaktır. İkinci şekilde ise MOS anahtarların birisi açık iken diğerinin kapalıdır.  $S_1$  kapalı iken, kapasitör üzerinde  $V_{IN}$  uygulanır. Toplam yük miktarı aşağıdaki gibidir.

$$Q = V_{IN} \cdot C \quad (6.2)$$

$S_1$  açık ve  $S_2$  kapalı iken,  $Q$  şarjı toprağa akacaktır. Anahtarı ideal kabul edersek, kapasitör aniden şarj olmaktadır. Şekil 6.2 de kapasitörün dolma ve boşalma akımı, zamanın fonksiyonu olarak gösterilmiştir.



Şekil: 6.2 Anahtarlanmış kapasitörün dolma ve boşalma akımları (7).

$I_{IN}$ , ile kapasitöre giren akım gösterilmiştir. Bu akım,  $S_1$  anahtarının iletme alınmasıyla, akmaya başlar. Bu esnada  $S_2$  anahtarı yalıtımdadır. Anahtarların bir darbe ile sürüldüğü dikkate alınmaktadır. Şekillerden görüldüğü gibi, dolma ve boşalma akımları iğnemsi dalga şeklindedir.

Geçen akım, birim zamanda kapasitörden geçen yük şeklinde tanımlanmıştır. Sabit  $V_{IN}$  gerilimi altında, her bir anahtar kapatılmasında kapasitör akımında hızlı sıçramalar olur (peak). Ortalama akım değeri, yüksek anahtarlama hızlarında büyük olacaktır. Bu akımın değeri aşağıdaki gibidir.

$$I_{or} = \frac{Q}{T} = \frac{V_{IN} \cdot C}{T} = V_{IN} \cdot C \cdot f_{clk} \quad (6.3)$$

Burada  $T$ :  $S_1$  anahtarının kapatılmaları arasındaki zamandır. Ayrıca  $f_{clk} = \frac{1}{T}$  dir.

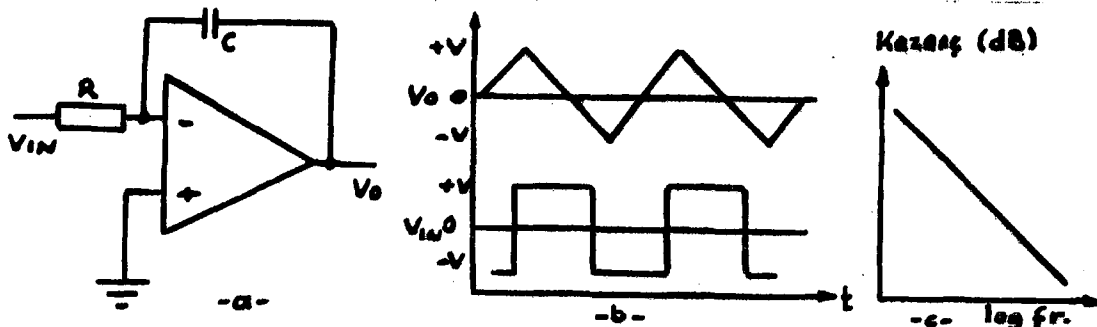
Ortalama akım bilindiğine göre, devrenin eşdeğer direnci şöyle yazılabilir.

$$R = \frac{V_{IN}}{I_{or}} = \frac{1}{C \cdot f_{clk}} \quad (6.4)$$

Kapasitör sabit olduğuna göre, direnç değeri saat frekansına bağlıdır. Uygulamada  $V_{IN}$ , bir işaret olacağına göre frekansının saat frekansından küçük olması gereklidir(7).

### 6.2 Anahtarlanmış, kapasitör-integratör

Yukarıdaki incelemelerde; bir kapasitör ve bir çift anahtar ile integrator biçiminde bir direncin nasıl elde edileceği görüldü. Şimdi, saat frekansı ayarlamalı bir filtre nasıl elde edilir bunu inceleyelim. Aktif filtrelerde temel yapı taşı, tersleyen integratördür. Bunda çıkış işaretinin polaritesi, giriş ele ters olup; çıkış gerilimi, giriş geriliminin "integral zamanı" ile çarpımına eşittir(7). Orantı sabiti ise  $1/RC$  dir.



Şekil 6.3: (a) Eviren integratör, (b) kare dalga giriş için ideal, zaman-düzlemi cevabı, (c) Sinüsoidal girişler için frekans düzlemi cevabı(7).

Devrenin karakteristik frekansı aşağıdaki gibidir:

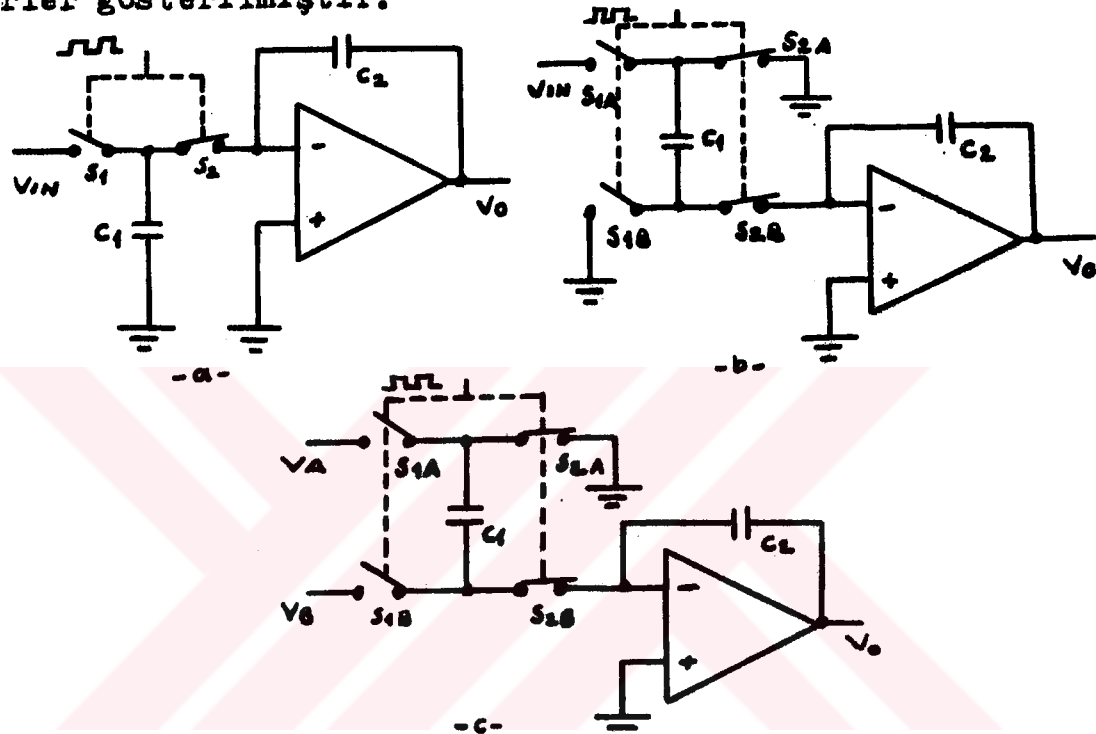
$$f_o = \frac{1}{2\pi R C} \quad (6.5)$$

Eğer, R yerine "anahtarlanmış-kapasitör direnç" konursa,

$$f_o = \frac{1}{2\pi RC} = \frac{f_{clk} \cdot C_1}{2\pi C} \quad \text{olur.} \quad (6.6)$$

Burada  $C_1$ ; Direnç etkisini oluşturan eşdeğer kapasite'dir.

Böylece, merkez frekansı dışarıdan uygulanan saat frekansı ile ayarlanabilen bir devre elde edilmiş olur. Şekil 6.4'de sırasıyla; eviren, evirmeyen ve differansiyel A.K. integratörler gösterilmiştir.



Şekil 6.4: (a) Eviren A.K. integratör, (b) Evirmeyen A.K. integratör, (c) Differansiyel A.K. integratör (7).

İlk devrede giriş geriliminin doğrudan opampın girişine bağlanmaması gereklidir. Yani anahtarlar aynı anda açılıp kapanamazlar. Ayrıca saat darbelerinin, MOS anahtarları bozmayacak düzeyde olması gereklidir. İkinci şekilde,  $C_1$  kondansatörünün  $V_{IN}$ 'e şarj olması için  $S_{1A}$  ve  $S_{1B}$  aynı anda kapatılır.  $S_{1A}$ - $S_{1B}$  açık iken,  $S_{2A}$ - $S_{2B}$  kapanırsa  $C_1$  kapasitörünün polaritesi ters çevriliyor opampın girişine bağlanacaktır. Bu olay, tersleyici integratör ile birlikte sonuçta terslemeyen etkiyi oluşturur. Üçüncü şekilde,  $S_{1B}$ 'nin toprak yerine ( $V_B$ ) ikinci girişe bağlanması ile bir farksal integratör oluşturulur. Çıkış,  $V_A$  ve  $V_B$  farkının integralidir.  $S_{1A}$  ve  $S_{1B}$  aynı anda kapatılacak olursa (ki bu anda  $S_{2A}$  ve  $S_{2B}$  açık);  $C_1$  kondansatörü  $V_A - V_B$  farkındaki gerilime dolar. Bu durum için toprağa göre,  $V_A$  gerilimi  $V_B$  den büyük olmalıdır. Daha sonra,  $S_{2A}$  ve  $S_{2B}$  kapatılıp diğerleri açıllarsa; kapasitör üzerindeki

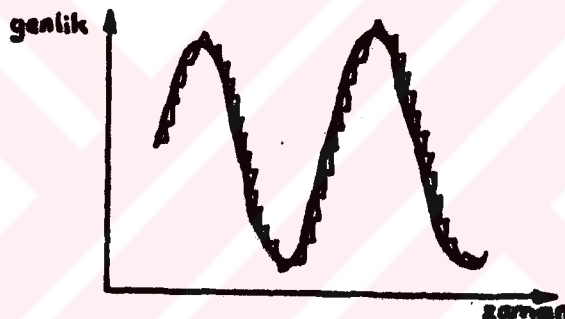
gerilim ters çevrilerek opamp girişine uygulanır. Opamp yine evirmeyen integratör çalışması gösterir.

### 6.3. A.K. Filtrelerin örneklenmiş veri sistemi olarak incelenmesi

A.K.F.'ler birer örneklenmiş veri sistemleridir. Bu nedenle alalade sürekli zaman sistemlerinde bulunmayan bazı karakteristiklere sahiptirler. Örneklenmiş bir sistemin temel özelliklerinin başında; "aralık" (aperture) etkisi ve aliasing sayılabilir. Aralık etkisi; örnek alma süresinin örneklemeye peryoduna göre oldukça küçük tutulması şeklinde açıklanır. İkincisi ise;"örnekleme teoremin"de (3.5.1) açıklandığı gibi örneklemeye frekansının, işaret band genişliğinin en az iki katı olması gerektidir. Bu durum sağlanmazsa, aliasing etkisi olarak açıklanan,  $f_o/2$  nin civarında "yansıtılmış" frekans bileşenleri ortaya çıkacaktır(7). Şimdi sırasıyla diğer özelliklerini inceleyelim.

#### 6.3.1 Çıkış adımları

Örnekleme prosesi, genliği her bir saat peryodunda değişen bir çıkışa neden olmaktadır. Bu tip bir dalga şekli Şekil 6.6'da gösterilmiştir. Örnekleme, zaman düzleminde yapılır.



Şekil 6.6: ideal bir sinüs dalgasının örneklenmiş durumu(7).

Basamakların büyüklüğü, saat darbesi hızına ve çıkış geriliminin değişim hızına bağlıdır. İşaretin en büyük (max.) frekansı  $\omega_{max}$  alınırsa, çıkış işaretinin en büyük değişim hızı;

$$\frac{dV}{dt} \text{ max} = A \cdot \omega_{max} \quad (6.7)$$

olmaktadır.(7). Burada A; işaretin tepe değeridir. Çıkış gerilimi saat darbesi hızında değişecektir. Çıkış geriliminin bir saat darbesi esnasındaki en büyük değişim (max. adım ölçüsü);

$$V_{adim} = \frac{1}{f_{clk}} \cdot \frac{dV}{dt} = \frac{A \omega_{max}}{f_{clk}} \quad (6.8)$$

olacaktır(7). Eğer, en büyük çıkış frekansına  $\omega_o$  dersek;

$$V_{adim} = \frac{A \omega_o}{f_{clk}} = \frac{2\pi A}{50} \quad (6.9)$$

veya  $f_{clk} / f_o$  oranını 100 alırsak;

$$V_{adım} = \frac{A \cdot \omega_o}{f_{clk}} = \frac{2\pi A}{100} \quad (6.10)$$

olur. Eğer bu adım etkileri rahatsız edici oluyorsa, A.K.F.'nin çıkışına basit bir R.C ünitesi bağlanmalıdır. Bu şebekenin -3dB frekansı, saat frekansının  $1/10$ 'una ayarlanmışa, adımlar 20dB kadar zayıflatılır.

### 6.3.2 Saat (Clock) beslemesi

İç yapıdaki anahtarlar saat darbesi hızında açılıp-kapanmaktadır. Bu nedenle örneklenmiş işaretin içerisinde, anahtarlamadan doğan arklar (spikes) girebilir. Bunların genlikleri genellikle 20-30mV civarındadır(7). Ark genlikleri proses boyunca sabit kalacaktır. Uzaklaştırılmaları için, yukarıda ifade edildiği gibi çıkış bir R.C ünitesi bağlanmalıdır. R-C şebekesinin kesim frekansı 0,1  $f_{clk}$  alınırsa, bu arkların genlikleri 2-3mV düzeyine kadar zayıflatılır.

### 6.3.3 Off-set gerilimi

A.C kuplajlı filtrelerde küçük miktarlı D.C off-set gerilimleri sorun oluşturmaz. Fakat büyük miktarlarda ise, çıkışda sallanma oluşur. Bu off-set etkisi; filtrenin çıkış geriliminin oluşum hızını azalttığı için, çıkış geriliminde bir azaltmaya neden olur. Normal aktif filtrelerdeki off-set gerilimi, opampın off-set değeri ile belirlenir. Genellikle 20mV'dan küçük değerdedir. A.K.F.'ler de MOS anahtarlar integratör kapasitörlerine yük katkılardan, ilave off-set gerilimleri oluşturmaktadır. MF4 ve MF6 alçak geçiren filtrede  $f_{clk}:f_o=50$  için  $\pm 200mV$  ve 100 için  $\pm 7400mV$  dur(7). Fakat MF5 ve MF10 da bu değerin açıklanması zordur.

### 6.3.4 Isıl gürültü

A.K.F.'lerin yapımındaki integre devrenin boyutlarının küçük olabilmesi için çok küçük değerli kapasitör kullanılır. Dolayısıyla simülle edilmiş direnç değeri oldukça büyük olacaktır. Büyüük dirençlerin, büyük isıl gürültü gerilimlerini üretmesinden dolayı A.K.F'lerin gürültü miktarları yüksektir(7). Örneklenmiş filtrelerde,  $f_{clk}:f_o=50$  ise gürültü miktarı 80dB'nin altındadır(7). Bu dinamik kademe bir çok uygulama için kesinlikle yeterlidir.

## 6.4 A.K.F. ile Filtre Tasarımı

Bundan önce, National A.K.F. lerin karakteristik özellikleri ve yetenekleri incelenmişti. Bu aşamada filtre tasarım özellikleri incelenecektir. İncelemelerimizde, MF10 dolayısıyla MF5 monolitik A.K.F.'leri esas alınmaktadır. Bu tür filtreler, gerçeklestirdiğimiz sistemde birer örneklemeye yapan eleman gibi çalışmaktadır. İki adet 4. dereceden alçak geçiren ve yüksek geçiren filtre katı, iki adet MF10 kullanılarak yapılmıştır. Böylelikle bir band geçirme özelliği elde edilmiş olabilmektedir.

Tasarımdaki elementlere kodlanması, İstiklal E.C.I.5'ye göre yapılmıştır.

Çok yönlü elemanlar olmalarından dolayı, MF5 ve MF10 ile yapılan tasarımlar çoğunlukla karşımıza çıkar(7). Bu elemanların; Q kazancı, merkez frekansı ve filtre tipleri ayarlanabilmektedir. Fakat tasarım için yoğun bir çalışma gereklidir. Elemanlardan her bir filtre, bir kaç parametre ile açıklanabilir. Bu parametreler; filtre tipi, geçirme bandı kazancı(Q) ve merkez frekansıdır( $f_0$ ). Saydığımız bu parametrelerin tümü, elemanlara dışarıdan bağlanan harici dirençlerle belirlenir (7). İkinci dereceden filtre için yapılan hesaplamalar oldukça kolaydır. Daha büyük dereceli filtreler için, ana filtre bloğunun 2. dereceden katlara ayrılması yararlı olmaktadır(7).

#### 6.4.1 Tasarıma İlişkin Yaklaşım.

Kompleks filtre tasarımında iki temel yaklaşım vardır. Bunlardan birincisi; ileride verilecek olan tabloları kullanarak hesaplama yapmaktadır. Bu tablolar, yüksek dereceli filtrelerin kurulması için gerekli olan 2.dereceden kısımlara ait Q ve merkez frekansı( $f_0$ ) değerlerini verirler. İkinci yaklaşım; 2. dereceden filtre elemanlarının parametrelerinin belirlenmesinde bilgisayar kullanarak hesap yapmaktadır. Bu amaçla, filtre tasarım programları verilmektedir(7).

Temel filtre tasarımında izlenen yol aşağıdaki gibi özetlenebilir.

1- Öncelikle, filtrenin gerekli performansı tanımlanmalıdır. Bu amaçla, mümkün olan değişik matematiksel yaklaşımlardan biri seçilir. Yani; Butterworth, Chebyshev, Eliptic ve Bessel gibi tiplerden birisi seçilir. Bundan sonra; Amax, Amin,  $f_c$ ,  $f_s$ , devre kazancı ve giriş empedansı gibi değerlerin tanımlanması gelir.

Burada; Amax; Geçirme bandındaki en büyük (max) dalgalanma, Amin; Durdurma bandında izin verilen minimum zayıflatma,  $f_c$ : kesim frekansı ve  $f_s$ : Durdurma bandının başlangıç frekansı olarak daha önce tanımlanmıştır(5.3)

2- Filtrenin, matematiksel yaklaşımı belirlendikten sonra filtrenin derecesi belirlenir. Bu amaçla "nomograf" kullanmak pratik olmaktadır. Eğer yüksek dereceli tasarım yapılması gerekiyorsa; gerekli kesme eğimlerini belirlemekte, filtre karakteristiklerinin seçimi önemli olmaktadır.

3- Tasarım tablosunu kullanarak basit hesaplamalar aracılığı ile her 2. dereceden kısım için Q ve  $f_0$  değerleri belirlenir.

4- MF5 ve MF10'nun "mod" seçimleri yapılarak, filtre tipi nin (alçak geçirgen, yüksek geçirgen v.s.) ve gerekli  $f_{clk}$ :  $f_0$  oranın belirlenmesi gerekecektir. Veri yapraklarında "mod" lara ait gerekli bilgiler verilmektedir.

5- Değişik filtre kısımları için, harici eleman değerleri belirlenecektir. Bunların seçimi bir çok faktöre bağlıdır. Bunlardan birincisi, değeri genellikle harici dirençlere bağlı olan devrenin komple giriş direncidir. Diğer ise MF5 ve MF10'ların çıkışları ve harici dirençlerle belirlenen yük empedansı miktarıdır(7). Integratör çıkışlarında 5K ve opamp çıkışlarında 3,5K dan büyük yükler sürülebilir. Bu değerlerden küçük yük empedansları kullanılmamalıdır.

.....\*

Nomograf<sup>\*</sup>; filtre tipine bağlı olarak hazırlanmış diyagram. Bu diyagramda;  $f_s/f_c$  oranına göre Amin ve Amax değer çeşitli filtre dereceleri için verilmektedir. Böylelikle tasarıma, büyük oranda grafik yardımıyla katkıda bulunulmaktadır.

Yüksek Q gerektiren çok kompleks tasarımlar için direnç toleransları %1'den büyük olmamalıdır, aksi takdirde hataya sebep olunur (7). Merkez frekansını belirleyen direnç değerleri çok kritiktir.

Unutulmaması gereken diğer bir konu; A.K.F'nin yapısal merkez frekansı doğruluğunun yüksek olması gerektigidir. Uygunlarda, saat frekansının (clock frequency) merkez frekansına oranı 50:1 veya 100:1 alınmaktadır. Çok kompleks filtre tasarımında, alçak geçiren prototip tasarımını ile işe başlanır(7). Elemanlara ait dinamik özelliklerini aşağıdaki gibi inceleyebiliriz.

İncelemekte olduğumuz universal filtrelerden birden fazlasını ard arda bağladığımızda elde edilecek sistemin dinamik performansı düşebilir. Bunun nedeni, alçak veya yüksek geçiren filtrelerde Q değerinin 2'den büyük tutulmasıdır(7). Bir çok kullanışlı filtre devreleri, değişik Q değerli 2. dereceden bireysel filtrelerden kurulmaktadır.

Dinamik performans kaybindan kaçınmanın en basit yolu, yüksek Q değerli katların en son sırada yer almasıdır(7). Alçak geçiren filtre yaklaşımlarında; en düşük Q'lu katların kesim frekansları da yüksek olmaktadır(7).

MF5 ve MF10 filtrelerinde değişik mod kullanımları vardır. Bu elemanlar (mod'lara göre) iki veya üç çıkışa sahip olup, bu kadar sayıda farklı " işaret kazancı " yazılabilir. MF10'a ait mod uygunlamları, Ek: 'de ayrıca açıklanacaktır.

Bundan sonraki kısımlarda; Butterworth alçak ve yüksek geçiren filtrelere ait tasarım örnekleri verilecektir. Esasen, gerçeklestirdiğimiz filtrelerin sınır frekansları dinamik olarak değiştiğinden tasarım hesaplamalarında; sabit örnek değerler üzerinden inceleme yapılmıştır. Prototip olarak kurduğumuz filtre katımızda; 4. dereceden alçak geçiren滤re ile 4. dereceden yüksek geçiren滤re yer almaktır. Bu amaç için iki adet MF10 kullanılmıştır.

#### 6.4.2 Butterworth Alçak Geçiren Filtre Tasarımı

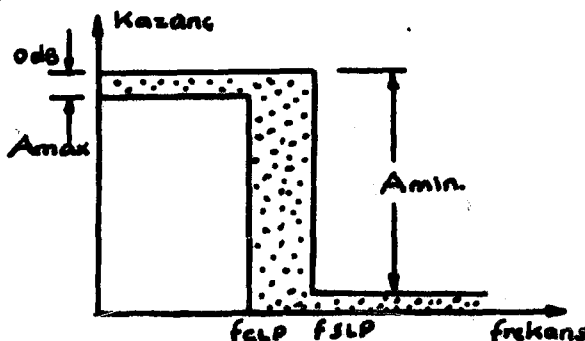
Tezimizin önemli bir kısmını oluşturan滤re katı, 4. dereceden Alçak geçiren滤re ile yine 4. dereceden bir yüksek geçiren滤re bloğundan oluşmaktadır. Her bir blokda MF10 National anahtarlanmış-kapasitör滤resi kullanılmıştır. Daha önceden açıklandığı gibi, her bir MF10 elemanı da kendi içerisinde iki adet 2. dereceden birimden oluşur.

Filtre blokları sayısal defetim altında çalışmaktadır. Yani filtrenin matematiksel tipi (Butterworth) ve derecesi sabit kalmak üzere, sınır frekansları dinamik olarak değişmektedir. Eğer; filtrenin sınır frekansları ve zayıflatma miktarları veriliip ( $f_{CLP}$ ,  $f_{SLP}$ ,

$A_{max}$ ,  $A_{min}$ ,  $H_0$ ,  $R_{IN}$ ) sabit tutulursa, hesaplamaya滤re derecesinden (n) başlanır(7).

$$n = \frac{\log_{10} \left[ \frac{10^{(A_{min}/10)-1}}{10^{(A_{max}/10)-1}} \right]}{2 \log_{10} \left( \frac{f_{SLP}}{f_{CLP}} \right)} \quad (6.11)$$

Butterworth Alçak Geçiren Filtresine ait bu parametreler Şekil: 6.7'de görülmektedir.



Şekil 6.7: Butterworth Alçak Geçiren Filtre parametreleri(7).

Burada;  $f_{SLP}$ ; Alçak geçiren filtredede durdurma bandının başlangıç sınırı ve  $f_{CLP}$ ; aynı tip filtrenin kesim frekansı veya geçirme bandının sınırıdır.

Filtre derecesini belirlemenin diğer bir yolu, "nomograf" kullanmaktadır. Nomografda  $A_{max}$  skalasında ilgili değer bulunup,  $A_{min}$  skalarındaki ilgili değer ile birleştirilir. Bu hat ile dikey eksenin kesistiği noktadan sağa bir dik çıkarılır. Aynı zamanda yatay eksendeki  $f_s/f_c$  değerinden yukarıya dik çıkarılarak bu iki dikme kesiştirilir. Kesişme noktasını orijine birleştirilen doğru, ilgili ( $n$ ) değerine aittir. Şekil 6.8'de nomograf görülmektedir.

Gerçeklestirdiğimiz Alçak geçiren filtredede harici elemanların (dirençler) bağlantı biçimleri ve değerleri sabit kaldıklarından;filtre tipi (Butterworth) ve filtredereceside sabit kalmaktadır. Bu durumda, sayısal denetim sonucunda (programlama ile) öncelikle  $f_{clk}$  belirlenir.  $f_{clk}/f_0$  oranı (100 veya 50) seçilmiş ve sabit tutulmuş olduğundan  $f_0$  merkez frekansı da buna bağlı olarak belirlenmiş olmaktadır. Eğer;  $A_{max}$  ve  $A_{min}$  parametreleri tanımlanmışsa  $f_s$  ve  $f_c$  değerleri (birisi verilmek suretiyle) bulunabilir. Sayısal denetim sonucunda; filtreden parametreleri değiştiremeye göre, tasarım çalışmalarımız örnek olarak alacağımız tipik değerler üzerinden açıklanacaktır. Bu sayede orijinal devremizin ( $n=4$ ,  $H_0=1$   $R_{IN} \geq 10K$  değerlerine sahip) tasarımını gerçekleştirmiş olacaktır. Burada  $H_0$ : giriş-cıkış arasındaki (4. derece kat için) komple gerilim kazancı ve  $R_{IN}$  giriş direncidir.

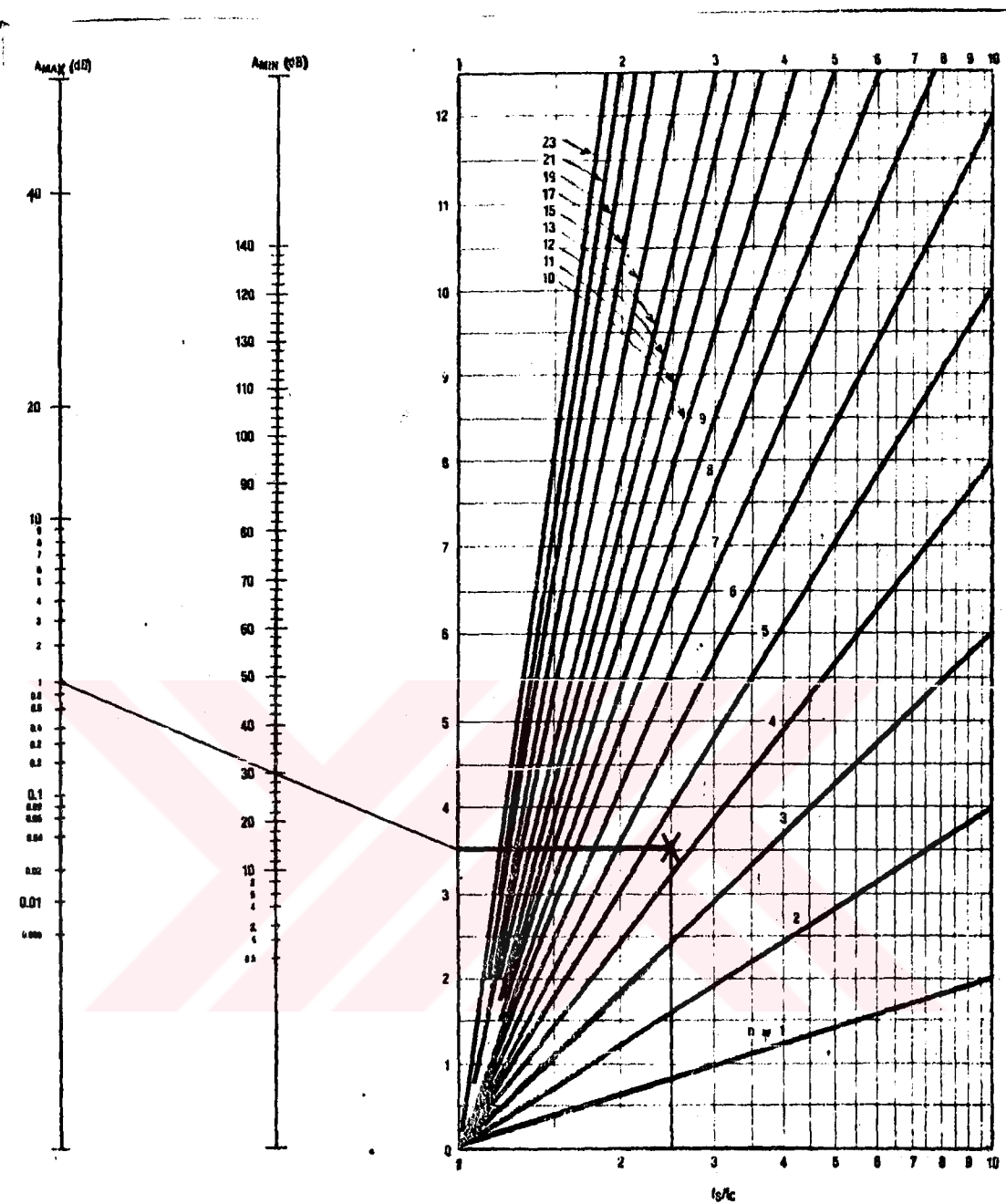
Tipik sınır frekanslarımızı  $f_s=2,5\text{KHz}$  ve  $f_c=1\text{KHz}$  olarak ve  $A_{max}=1\text{dB}$  alalım. Bu durumda  $A_{min}$ , aşağıdaki gibi hesaplanabilir(7).

$$A_{min} = 10 \log \left[ 1 + \left( 10^{0,1A_{max}} - 1 \right) \cdot \left( \frac{f_s}{f_c} \right)^{2n} \right] \quad (6.12)$$

İlgili değerler yerine konursa;  $A_{min} = 25,9\text{dB}$  bulunur. Aynı değer nomografdan da bulunabilir.

Daha sonra  $f-3\text{dB}$  değeride şöyle bulunur(7).

$$\frac{f-3\text{dB}}{f_c} = \left[ \frac{10^{0,3} - 1}{10^{(0,1A_{max})} - 1} \right]^{1/2n} \quad (6.13)$$



Şekil 6.8 Butterworth Alçak Geçiren Filtreye ait nomograf(7).

Değerler yerine konduğunda,  $f_{-3dB}=1,18\text{KHz}$  çıkacaktır. Daha önce belirtildiği gibi her bir MF10 intégresi içerisinde iki adet 2. dereceden blok vardır ( $A, B$ ). Her bir kısım için gerekli olan  $Q$  ve  $f_0$  merkez frekans değerleri Tablo 6.1'den bulunabilir.

Bu tabloda merkez frekansları,  $f_{-3dB}=1\text{Hz}$  için normalize edilmişlerdir. Bir Butterworth滤resi için, her filtre katının (2.dereceden blok) merkez frekansı, komple devrenin  $-3\text{dB}$  frekansına eşit olmaktadır (7). O halde bizim hesaplamalarımızda  $f_0=f_{-3dB}=1,18\text{KHz}$

Toblo 6.1: Butterworth Filtre,Tasarım Tablosu(7).

Filtre derecesi	$f_{-3dB} = 1\text{Hz}$										Zayıflatma(dB)
N	$F_1$	$Q_1$	$F_2$	$Q_2$	$F_3$	$Q_3$	$F_4$	$Q_4$	$F_5$	$Q_5$	$2F_C$
1	1										9
2	1	0,707									15
3	1	1,000	1								21
4	1	0,541	1	1,306							27
5	1	0,618	1	1,620	1						33
6	1	0,618	1	0,707	1	1,932					39
7	1	0,555	1	0,802	1	2,247	1				45
8	1	0,510	1	0,601	1	0,900	1	2,563			51
9	1	0,532	1	0,653	1	1,00	1	2,879	1		57
10	1	0,506	1	0,541	1	0,707	1	1,101	1	3,196	63

olacaktır. Tablodan faydalananarak;  $Q_A = 0,541$  ve  $Q_B = 1,306$  bulunur.  
(tüm filtrenin derecesi 4' olarak alınacaktır).

Şimdi her bir blok için ilgili dirençleri hesaplayabiliriz  
(Mod 1). Öncelikle  $R_1$  direnci seçilecektir. Bu eleman her blok da,  
giriş direnci (veya empedansı) kadar olmaktadır(7).

$$R_{in} = R_1 \quad (6.14)$$

Tipik olarak her bir kat için ( $R_{1A}$  ve  $R_{1B}$ ),  $20K\Omega$  seçilebilir. Devrenin  
tüm kazancı,  $H_o=1$  olduğundan (veya  $H_{OLP}$ ; alçak geçiren çalışmada  
komple kazanç), aşağıdaki bağıntı

$$H_{OLP} = - \frac{R_2}{R_1} \quad (6.15)$$

yardımıyla;  $R_2 = 1 \cdot R_1 = 20K\Omega$  bulunur(7). Yani  $R_{2A}$  ve  $R_{2B}$ ;  $20K$  çıkmaktadır.  
Her bloktaki Q değerleri daha önce tablodan bulunmuştur.

$$Q = \frac{R_3}{R_2} \quad (6.16)$$

bağıntısından

$$R_{3A} = Q_A \times R_{2A} = 0,541 \times 20K\Omega = 10,82K\Omega \text{ ve } R_1 = R_4$$

$R_{3B} = Q_B \times R_{2B} = 1,306 \times 20K\Omega = 26,12K\Omega$  bulunur (7). Diğer yandan,

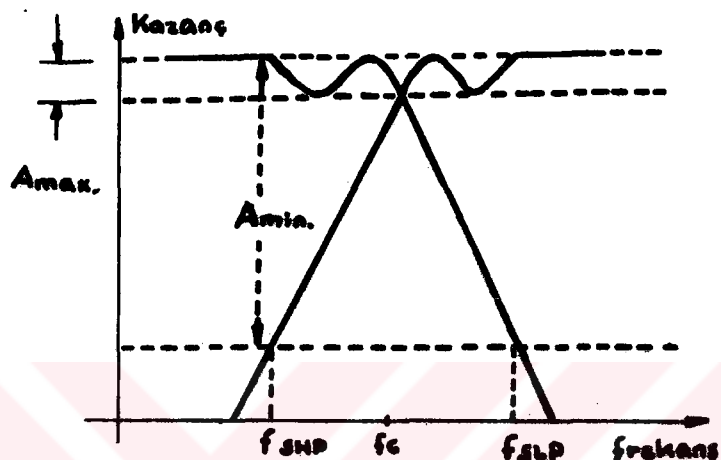
her blok için çıkış dirençlerini aynı değerde alabiliriz. Bu direnç,  $R_2$  direnci kadar ( $R_{2A}=R_{2B}$ ) yani  $20K\Omega$  seçilebilir(7).

Ayrıca;  $f_{CLK}$ :  $f_0=100$  alırsak,  $f_{CLK} = 1,18 \times 100 = 118\text{kHz}$  bulunacaktır.  
Çözümden görüldüğü gibi filtre sınırlarının değişimini sağlamak için  
esasen  $f_{CLK}$  frekansı ile oynamak yeterlidir.

### 6.4.3. Butterworth Yüksek Geçiren Filtre Tasarımı.

Alçak ve yüksek geçiren filtre karakteristikleri arasında bir simetri vardır(7). Örnek vermek gerekirse;  $f_0$  merkez frekanslı 4. dereceden Butterworth alçak geçiren filtrenin  $2f_0$ 'da sahip olduğu zayıflatma miktarı, 4. dereceden Butterworth yüksek geçiren filtrenin  $f_0/2$ 'de sahip olduğu zayıflatma miktarına eşittir.

Yüksek geçiren filtrenin performansı yine;  $A_{max}$ ,  $A_{min}$ ,  $f_c$  ve  $f_s$  parametreleri ile açıklanır. Aşağıdaki Şekil 6.9'da, Alçak ve Yüksek Geçiren Filtre parametreleri karşılaştırılmaktadır.



Şekil 6.9: Alçak ve Yüksek Geçiren Filtredeki Simetri(7).

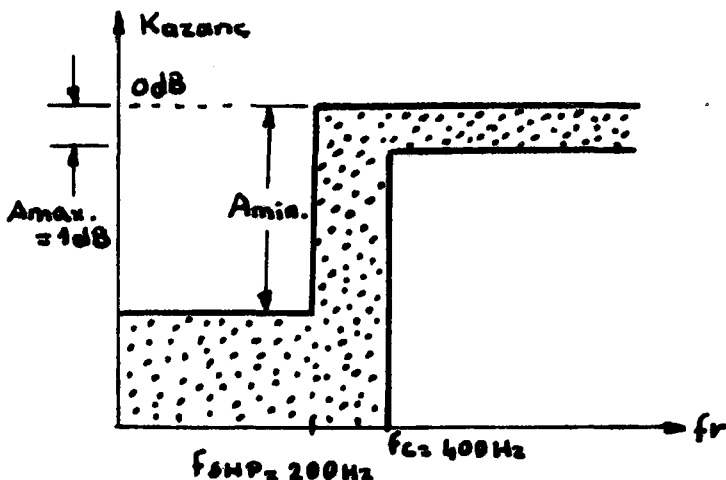
Esasen A.K.F lerle yapılan çalışmalarında tüm filtreler, alçak geçiren filtreden türetilebilirler(7). Yani önce, yüksek geçiren filtreye ait sınır frekans değeri, alçak geçiren滤re değerine dönüştürülür. Zira, "nomograf" ve  $f-3dB$  değerine ait bağıntı alçak geçiren滤re tabanlıdır.  $f-3dB$  değeri dolayısıyla merkez frekansı, bulunduktan sonra yüksek geçiren filtrenin merkez frekansını hesaplamakta kullanılır(dönüşüm yapılarak). Daha sonra ilgili mod'a göre yüksek geçiren滤re'nin dirençleri hesaplanır.

Tasarım çalışmamız, daha önce açıklanan nedenlerden dolayı yine tipik örnek değerler üzerinden yapılacaktır. Fakat; filtre derecesi ( $n=4$ ) ve filtrenin aktarma kazancı ( $H_0=1$ ) orijinal devredeki değer kadardır. Dolayısıyle, Alçak geçiren kısımdaki gibi orijinal devremizin eleman değerlerini (dirençler) hesaplamış olacağız. Tipik örnek değerler olarak;  $f_c=400Hz$ ,  $f_{SHP}=200Hz$ ,  $A_{max}=1dB$  (Alçak geçiren tipde de aynı),  $H_0=1$ (veya  $H_{0HP}$ ) ve  $R_{IN}=20K\Omega$  alalım. Bu parametreler, Şekil 6.10: da görülebilir.

Alçak ve yüksek geçiren karakteristiklerdeki(Şekil 6.9) simetriden dolayı aşağıdaki bağıntı yazılabilir(7).

$$\frac{f_{SLP}}{f_c} = \frac{f_c}{f_{SHP}} \quad (6.17)$$

Öncelikle gerekli olan alçak geçiren modelde ait  $f_{SLP}$  değeri, yukarıdaki eşitlikten hesaplanırsa;  $f_{SLP} = 800Hz$  bulunur. Bundan sonra (6.12)



Sekil6.10: Butterworth yüksek geçiren filtre genlik-cevap eğrisi ve parametreler (7).

eşitliği yardımıyla.  $A_{\min} = 18,27 \text{dB}$  bulunur. Bu değer ayrıca, Alçak geçiren filtre nomografından da bulunabilir. Alçak geçiren model için  $-3 \text{dB}$  frekansı daha önce kullanılan, (6.13) eşitliği ile bulunabilir. Sonuçda,  $f_{-3 \text{dB}} = 472 \text{Hz}$  çıkmaktadır. Onceki tasarımda olduğu gibi 4.dereceden yapıyı oluşturan her 2. dereceden filtre birimi için gerekli Q kazancı (A ve B) Tablo 6.1'den bakılarak  $Q_A = 0,541$  ve  $Q_B = 1,306$  alınır. Bu tabloda filtre tipi dikkate alınmaz (Alçak geçiren, yüksek geçiren gibi). Sonuçda alçak geçiren model ortaya çıkmış olur.

Alçak geçiren modele ait merkez frekansı, ( $\text{ki}-3 \text{dB}$  değerine eşit olmaktadır) aşağıdaki eşitlik yardımıyla yüksek geçiren tipin merkez frekansını bulmakta kullanılır(7).

$$f_{oHP_A}^2 = f_{oHP_B}^2 = \frac{f_{oLP_A}^2}{f_{oLP_A}^2} \quad (6.18)$$

Sonuçda,

$$f_{oHP_A} = \frac{(400)^2}{472} = 338,98 \text{Hz} \quad \text{bulunur.}$$

Böylece; yüksek geçiren滤器 için gerekli parametreler bulunmuş oldu. Şimdi hariç dirençleri hesaplayabiliz(Mod 3). Öncelikle giriş direnci (veya empedansını) belirleyen  $R_{1A}$ 'yi  $20 \text{K}\Omega$  seçmekle işe başlayabiliriz. İkinci blok için de  $R_{1B} = 20 \text{K}\Omega$  alınabilir.  $R_{2A}$  (aynı zamanda  $R_{2B}$ ) direnci aşağıdaki gibi hesaplanabilir(7).

$$R_{2A} = - R_{1A} \cdot H_{oHP} \quad (6.19)$$

Değerler yerine konursa  $R_{2A} = 20 \text{K}\Omega \times 1 = 20 \text{K}\Omega$  bulunur.

Eğer;  $f_{CLK}$ :  $f_{oHP} = 100$  seçilmişse  $f_{CLK} = 33,89 \text{ KHz}$  çıkmaktadır. Diğer

yandan  $R_{3A}$ ;  $R_{2A}$ ,  $R_{4A}$  ve  $Q_A$ nın fonksiyonudur. Aşağıdaki eşitlikten, şu şekilde bulunur(7).

$$R_{3A} = Q_A \cdot \sqrt{R_{2A} \cdot R_{4A}} \quad (6.20)$$

Değerler yerine konulursa,  $R_{3A} = 10,82K$  çıkar. Aynı zamanda eşitlik (6.19) yardımıyla, daha önce olduğu gibi her blokdaki çıkış dirençleri ( $R_{4A}$  ve  $R_{4B}$ ); 20K alınabilirler. Son olarak  $R_{3B}$ ; (6.21) eşitliği ile şöyle bulunabilir.

$$R_{3B} = Q_B \cdot \sqrt{R_{2B} \cdot R_{4B}} \quad (6.21)$$

Değerler yerine konulursa,  $R_{3B} = 26,12K$  olacaktır.  $\Omega_1 = \Omega_4$  Hesaplamalardan görüleceği gibi, 4. dereceden yüksek geçiren filtremizin orijinal elemanları belirlenmiş olmaktadır.

Her iki滤re tipinde dikkat edilirse;滤re derecesi ve aktarma kazancı ( $H_0$ ), benzer olduğu için eleman değerleride benzer çıkmaktadır. Farklı olan durum; seçilen sınır frekanslarına göre her iki kata uygulanacak  $f_{CLK}$  değeridir. Diğer bir deyişle,  $f_{CLK}$  değerleri ile oynanarak滤re sınırları değiştirilmektedir.

## 7. BÖLÜM

### DİĞER DEVRE BİRİMLERİ

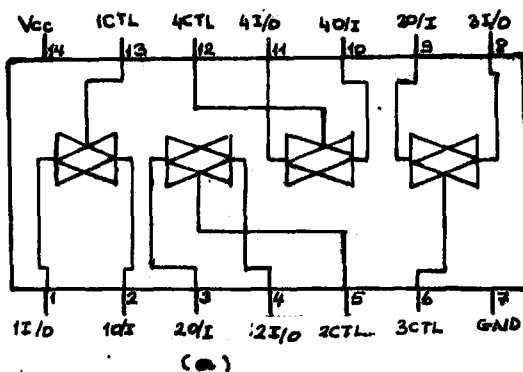
İncelemekte olduğumuz sisteme, ön yükselteçden sonra yer alan kısımlarda; analog anahtarlar (analog switchs), farksal yükselteç, alçak ve yüksek geçiren filtreler, birim kazançlı yükselteç, ana yükselteç, kırpıcı ve son kısımda da bir yükselteç yer almaktadır. Filtreler önceki bölümlerde incelenmiştir. Bu bölümde; geriye kalan kısımlar incelenecektir.

Mikro işlemci birimi ve ara biriminde yer alan "Analog-Sayısal dönüştürücü" (analog-digital converter) fiziksel olarak gerçekleştirilmemekle birlikte, mikro işlemci kabaca incelenmektedir (EK.A).

#### 7.1 Analog anahtar (4066)

Esasen, filtrelerden önce ve sonra olmak üzere iki adet analog anahtar kullanılmıştır. Bunların filtrenin girişinde kullanıldığı, polarite seçimi içindir. Kontrol girişlerinden verilen dört bitlik kod ile, ön yükselteç çıkışından alınan işaret sonraki katın istenen girişlerine veya toprağa verilir. Takip eden kat, LF356 ile kurulmuş birim kazançlı farksal yükselteçdir. Eğer girişlerden birisi(+), toprak potansiyelinde iken diğerine işaret uygulanırsa, farksal yükselteç çalışması kalkar. Negatif girişten işaret sürülmüyorsa, eviren mod uygulaması vardır. Eğer diğer girişten sürülmüyorsa, evirmeyen mod çalışması vardır. Bir başka seçenek de. her iki girişi (+,-); toprağa bağlamaktır. Bu durumda, sistemin son çıkıştı sıfır olmalıdır. Bunu sağlamak için, ana yükselteç dengesizlik ayarı mikro işlemci ile yapılır. Devrede analog anahtarlar olarak CMOS 4066 integreri kullanılmıştır.

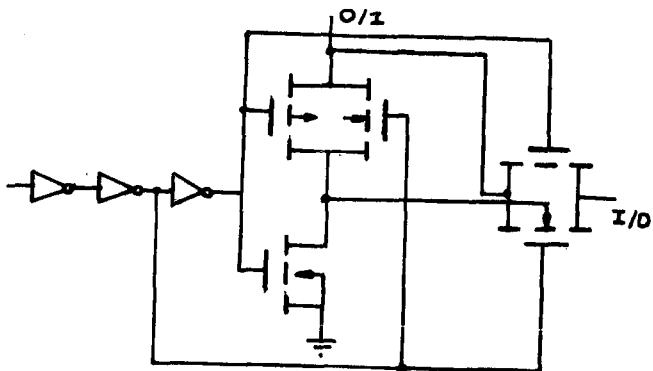
Bu elemanlar mikro CMOS teknolojisinin kullanıldığı; sayısal kontrollü analog anahtarlardır. İletim konumunda (on) düşük kontak direncine ( $30\Omega$ ), açık devre konumunda ise (off) düşük sızıntı özelliğine sahiptirler. Bu anahtarlar çift yönlü (bi directional) olarak kullanılabilirler(8). Ayrıca doğrusallık olabildiğince arttırlımıştır. Bu elemanlar; 12Vp analog işaretleri, benzer kademedeki sayısal işaretlerle kontrol edilebilirler. İlgili anahtarın kontrol ucuna "0" (low) verilerek bu anahtar açık devre edilir. Aşağıdaki şekillerde elemanın bağlantı diyagramı, doğruluk tablosu ve şematik diyagramı verilmiştir.



Giriş	anahtar
CTL	I/O - O/I
L	OFF
H	ON

(b)

Şekil 7.1 (a) 4066 bağlantı diyagramı, (b) Doğruluk tablosu(8).



Şekil 7.2: 4066 şematik diyagramı (8).

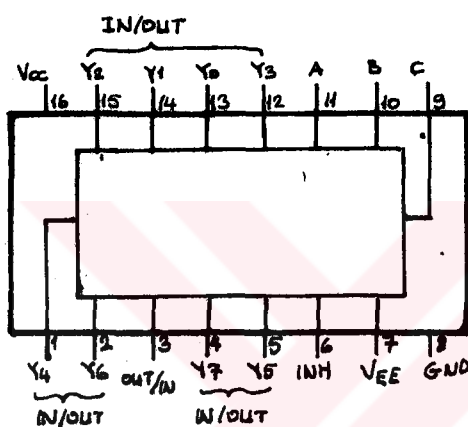
Devrede ilk sıradaki analog anahtarlar, doğrudan mikro işlemci çıkışından kontrol edilmektedir. İkinci elemanın sadece iki kontağı kullanılmakta olup; mikro işlemci çıkışından alınan saat darbesi bir anahtarlama transistöründen geçirdikten sonra uygulanır.

### 7.2 Analog çoğullayıcı (4051) ve ana yükselteç

İşaret işlemesinde; verinin tekrar elde edilebilmesi için filtrelemenin yanında, kullanılan sistemin kazancı dinamik olarak da ayarlanabilecektir. Bu işlemin ancak, mikro işlemci kontrolunda yapılabileceği açıktır. Bu amaçla, LF 356 opamp ile evren mod'da çalışan bir yükselteç (ana yükselteç) kurulmuştur. Devrenin geri besleme direnci sabit olup ( $10K\Omega$ ), girişteki seri direnç seçilmekle kazanç belirlenmektedir. Zira devrenin kazancı basit olarak  $RF/R_s$  kadardır(1). 8 bitlik bir çözümleme yapabilmek için, 8 girişli bir analog çoğullayıcı (4051) kullanılmıştır. Elemana uygulanan 3 bitlik kod ile seçilen bir direnç ( $R_s$ ) devreye alınarak, ana yükselteç kazancı belirlenmektedir. Analog anahtar (4066) ve (4051) analog çoğullayıcısı arasındaki empedans uygunluğunu sağlamak amacıyla, LF 356 ile kurulmuş birim kazançlı yükselteç yer almaktadır.

Ayrıca, ana yükseltecin dengesizlik ayarı mikro işlemci ile yapılmaktadır. Mikro işlemci çıkışından alınan bilgi, sayısal analog (digital-analog) dönüştürücüden geçirilerek ana yükseltecin "dengesizlik (offset) girişine uygulanır. Ana yükselteçten sonra gelen diyon şebekesi kırpıcı olarak görev yapar.  $D_1$  ve  $D_2$  nin anotlarının bağlılığı ucun toprağa göre sahip olduğu pozitif düzey ile,  $D_3$  ve  $D_4$ 'ün katot uqlarının toprağa göre sahip olduğu negatif gerilim düzeyi kırpmma sınırlarıdır. Yani pozitif alternansdaki yükselme, pozitif kırpmma sınırlardan küçük iken giriş işaretini, çıkışda görülecektir. Giriş işaretini bu üst eşik düzeyine ulaştığında  $D_1$ 'in katotu anoduna nazaran daha pozitif olacağından kesime gider. Bu anda çıkışda D.C gerilim düzeyinden büyük olan değişimler görülmmez. Aynı durum, negatif alternanslar için de geçerlidir. Daha sonra gelen yükselteç katı, evren mod'da çalışıp, esasen sistemin çıkış empedansını belirleyecek niteliktedir.

Şimdi, (4051) analog çoğullayıcıyı inceleyebiliriz. Bu eleman esasen sayısal kontrollü analog anahtar olup, CMOS teknolojisi ile yapılmıştır. Düşük iletim (on) dirençleri ile, yalıtım durumunda düşük sızıntıya sahiptirler. Aynı zamanda 0-6V arası sayısal kontrol işaretleri ile,  $\pm 6V$ p düzeyine kadar analog giriş işaretlerinde kullanılabılır.  $V_{CC}$ , toprak ve  $V_{EE}$  olmak üzere üç adet besleme ucuna sahiptir.  $V_{CC}=+5V$  ve  $V_{EE}=-5V$  iken; 0-5V kademesindeki logic kontrol işaretini ile  $\pm 5V$ luk kademedeki analog giriş işaretlerini kullanılabılır. A,B,C girişlerine uygulanan kod ile, 8 anahtardan birisi iletim konumuna alınarak ortak çıkışa bağlanır. İletim durumundaki kontak direnci 30 ila  $50\Omega$  arasındadır. Aşağıda şekillerde ayak bağlantısı ve doğruluk tablosu görülmektedir.



GİRİŞ				"ON" KANAL
Inh	C	B	A	Kullanılmış
H	X	X	X	
L	L	L	L	$Y_0$
L	L	L	H	$Y_1$
L	L	H	L	$Y_2$
L	L	H	H	$Y_3$
L	H	L	L	$Y_4$
L	H	L	H	$Y_5$
L	H	H	L	$Y_6$
L	H	H	H	$Y_7$

Şekil 7.3: (a) 4051 ayak bağlantısı(8). (b) 4051 doğruluk tablosu(8).

Mikro işlemci konusu tezimizin dışında kalmasına rağmen; çalışma yapacaklar için genel bir inceleme Ek:A'da verilmiştir.

## 8. BÖLÜM

## SONUÇLAR VE TARTIŞMA

Bu bölümde; gerçekleştirdiğimiz ölçüm sisteminde, ön yükselteç, filtre devreleri, analog anahtarlar, analog çoğullayıcı ve yükseltme birimlerinin dikkate alındığı ölçüm sonuçları incelenecaktır. Bu ölçümlerde: D.C. gerilim değerleri ve işaret değerleri yer almaktadır. Tüm sonuçlar şase (referans noktası)ye göre yapılmıştır. Ayrıca işaret değerleri, təpeden tepeye cinstendir. Ölçüm sisteminin komple elektriksel şeması ve baskılı devre resimleri bölüm EK.C'de yer almaktadır.

8.1 Ön yükselteç

Ön yükselteç katı esasen; ölçüm yükselteci ( $IC_1, IC_2, IC_3$  ve  $IC_4$ ) ile yalıtım (2N708-CNY21) ve kalibratör birimlerinden oluşur ( $IC_6$ ). Ön yükselteçde bulunan; off-set ayarlaması ile ( $IC_4$ 'deki potansiyometre) optik aktarıcı biriminin D.C. çalışma koşulları değişmektedir. Çünkü bu katlar arasında, direkt koplaj vardır. Aşağıdaki Tablo 8.1'de, ön yükselteçdeki alınan D.C. gerilimler görülmektedir. Bu ölçümlerde;  $V_L = 9V$  ve  $V_I = +9V$ dur.

Tablo 8.1: Ön yükselteç, D.C. ölçümleri

$V_a = 4,9V$	$V_B(\text{transistör}) = 0,6V$	$V_f = 5V$
$V_b = 4,9V$	$V_d = 4,9V$	$V_g = 0,5V$
$V_c = 3V$	$V_e = 0,6V$	$V_A = 2,2V$

Daha sonra; sistemin tersleyen girişinden 4mV (p-p)-2,5KHz'lık bir işaret verilerek bir kaç noktada osilaskopla ölçme yapılmıştır. Bu değerler Tablo 8.2'de yer almaktadır.

Tablo 8.2 Ön yükselteç A.C. ölçümleri

$V_L = 4mV$	$V_c = 60mV$	$V_f = \text{Net şekil yok.}$
$V_a = 80mV$	$V_d = 15mV$	$V_g = 500mV$
$V_b = 80mV$	$V_e = 120mV$	$V_A = 500mV$

Eğer;  $V_e$  ile  $V_L$  değerleri karşılaştırılırsa; yükselteçin kazancı  $120/4$  den 30 olarak bulunur. Bu kazanç, (4.2) bağındısından bulunabilecek kazanca çok yakındır (31).

Aynı D.C koşullar altında; ön yükseltecin banda genişliği test edilmiştir. Frekans bandının alt sınırının daha aşağıda olmamasını;  $IC_5$ 'in girişindeki 0,1mFlik kondansatörün oluşturduğu kayba bağlamak mümkündür.

Daha sonra;  $V_L = 9V$  ve  $V_I = +12V$  yapıldığında tüm D.C koşullar değiştiğinden bu kez  $V_A$ ; işaret değerinin 70 mV düşüğünü görmekteyiz ( $V_L = 3mV$ ). Bu kazanç düşümünün en büyük nedeni, optik aktarıcı biriminin doyuma girmesidir. Esasen sistemin gürültü kapacığı en uygun devre birimi ön yükselteç olduğundan, bunun kazancı düşük seviyelerde tutulmaktadır. Bu nedenle kazançdaki azalmaya rağmen ön yükselteç birimi,  $+9V$ 'luk pil bataryası ile beslenerek aynı zamanda şebekeden gelebilecek gürültü etkilerden korunmuştur. Kalibratör birimi ön yükselteç içerisinde kabul edilsede, fiziksel olarak ana kart üzerinde yer aldigindan ilgili ölçüm değerleri takip eden kısımda yer almıştır.

Ölçümler, Selül E.C.1.'e göre yapılmıştır.

### 8.2 Diğer devre birimleri

Bu aşamada, ana kart üzerinde yer alan tüm devre birimlerine ait ölçümler inceleneciktir. Bu kez ölçüm noktaları; 1...14 arasında numaralandırılmıştır. Devre şemasından da görüleceği gibi daha önce bahsedilen A noktası, 1 noktasına karşılık gelmektedir. Yine opamplar ( $IC_6$ ,  $IC_8$ ,  $IC_{12}$ ,  $IC_{14}$ ,  $IC_{15}$ ) + 12V ile, filtre integralleri ile + 5V ile beslenmektedir. Gerek analog anahtarlar ve analog çoğullayıcı ve de gerekse filtreler için gerekli logic seviyeler 5V dur. Analog anahtarlarla her kontak +5 Volt ile kapanırken (ON), sıfır volt ile açılmaktadır (OFF). Ana kart üzerinde yapılan, tüm birimlere ait ölçümlerin D.C değerleri Tablo 8.3'de verilmiştir.

Tablo 8.3 Diğer birimlere ait D.C değerler

$V_1 = 2,5V$	$V_4 = 11V$	$V_8 = 0,5V$	$V_{12} \approx 0V$
$V_2 = 0,6V$	$V_5 = 0,6V$	$V_9 = -0,2V$	$V_{13} \approx 0V$
$V_3 = 11V$	$V_6 = 0,3V$	$V_{10} = 0,5V$	$V_{14} = -2V$

Tablo 8.3 çıkarılırken; birinci (4066) analog anahtarı  $A=1$ ,  $B=1$ ,  $C=0$ ,  $D=0$  konumunda, ikinci (4066) analog anahtarının 1 ve 2 nolu kontaktları kapalı ve (4051) analog çoğullayıcısı ise;  $A=0$ ,  $B=1$ ,  $C=0$  konumunda tutulmuştur. Tablo sonuçlarından,  $IC_9$  alçak geçiren filtre integrerin çıkış off-set geriliminin 0,5V ( $V_8$ ) ve  $IC_{10}$  yüksek geçiren filtre için -0,2V ( $V_9$ ) olduğu görülmektedir. Bu değerler normal sayılabilen düzeydedir. Ayrıca kalibratör katının ( $IC_6$ ) çıkış D.C. seviyesi 11V olduğundan, diğer birimleri doyuma götürmektedir. Bunu önlemek için direkt kuplaj kaldırılarak araya 0,1nF'lık kondansatör seri olarak bağlanmıştır. Görüldüğü gibi, kırpıcı diyon şebekesinde ölçülen iki noktadaki sıfır volt seviyeleri olması gereken değerlerdir.

Esasen; logic seviyelerle dışarıdan denetlenen elemanların D.C. gerilim değerleri, bir miktar bu logic gerilim seviyelerinde bağlı olmaktadır.

Bu aşamadan sanra ana kart da yer alan devre birimlerinde işaret ölçümüne geçilmiştir. Bu ölçümlerde; giriş ön yükselteçinin (-) ucundan (ana giriş) yapılip, çıkış 14 nolu uçdan (ana çıkış) alınmıştır. Kısım 8.1'de açıkladığımız gibi ön yükselteç + 9V ile beslenmemis durumdadır. Aşağıdaki Tablo 8.4'de A.C ölçümler yer almaktadır.

Tablo 8.4 Diğer katlara ait A.C ölçümler

$V_A = 70mV$	$V_6 = 120mV$	$V_{14} = (V_o) = 17V(p-p)$
$V_2 = 70mV$	$V_7 = 300mV$	$V_{10} = 100mV$
$V_3 = 230mV$	$V_8 = 100mV$	$V_{12} = 275mV$

Bu ölçümler sırasında, ana girişden (tersleyen giriş), 3mV (p-p)-750Hz değerinde bir sinüs dalga şekli uygulanmıştır. Bu gerilim seviyesi aynı zamanda üst eşik değeridir. Aynı zamanda, birinci(4066) analog anahtar:  $A=1$ ,  $B=1$ ,  $C=0$ ,  $D=0$  ikinci (4066)nın 1-2 numaralı kontaktı kapatı, (4051) analog çoğullayıcısı da:  $A=0$ ,  $B=1$ ,  $C=0$  konumlarında tutulmuştur. Ayrıca kalibratör de max. kazanç konumuna alınırken, devrede sadece alçak geçiren filtre kullanılmıştır ( $f_{clk}=110KHz$ ,  $V_{clk}=75$ ).

Kalibratör katının teorik kazancı (max. konumda): esasen  $100\text{K}\Omega$ 'lu trimpot'un en büyük değere alınması ile max. yapılabılır. Uygulama sırasında, çıkış D.C seviyesi bu trimpot'un değeri ile çok büyük oranda etkilendiginden, eleman max. direnç değerine alınamamıştır. Bu nedenle kalibratör biriminin kazancı küçük değerde kalmıştır ( $V_4/V_A$ ). Diğer kazanca sahip birimler; IC<sub>14</sub> ve IC<sub>15</sub> civarında kurulmuştur. Bunlardan IC<sub>4</sub> civarında kurulan "tersleyen mod" daki birim, esasen (IC<sub>13</sub>) analog çoğullayıcısı ile birlikte çalışmaktadır. Elemanın A,B,C uçlarından verilen ikili (binary) kod ile girişteki sekiz dirençden birisi devreye alınarak IC<sub>14</sub>'ün kazancı değişmektedir. Analog çoğullayıcısının performansı ilerde incelenecaktır.

Diger, kazanca sahip birim sonda yer alan IC<sub>15</sub> civarında kurulan "tersleyen mod" daki yükselteçdir. Elemanın kazancı, teorik kazanca oldukça yakındır ( $V_{14}/V_{12}$ ).

Dikkatimizi çeken diğer bir durum; alçak geçiren filtrenin gerilim aktarma oranının 1'den küçük olduğunu ( $V_8/V_7$ ). Bunun nedeni, filtre girişindeki giriş empedansını belirleyen  $20\text{K}\Omega$  seri direncin sebep olduğu gerilim kaybıdır. Zira; filtre üzerinde yapılan deneyde (devreden ayrılarak); bu direnç kısa devre edildiğinde, frekansa bağımlı olmayan bu zayıflatma kalkmaktadır. Alçak geçiren filtrenin merkez frekansı  $f_o$ : 1,1KHz civarındadır ( $f_{clk}:f_o=100$ ). Filtrenin bu sınır değeri (aynı zamanda -3db frekansı) için, tüm ölçüm sisteminin band genişliği tabiyatiyla ön yükselteçdeki kademeden küçük olmaktadır.

Bu aşamadan sanra, sistemin en düşük işaret seviyesi belirlenmeye çalışılmış. Kullandığımız odyo genarator çıkışını ayarlama zorluğu ve osilaskoptaki okuma hatası da dikkate alınmak koşuluyla, bu seviye yaklaşık 1mV (p-p) olarak belirlenmiştir. Bu giriş işaretindeki alınan, diğer A.C. Ölçümler Tablo 8.5'de görülmektedir.

Tablo 8.5 Minimum giriş seviyesindeki, A.C. Ölçüler.

$V_A = 22\text{mV}$	$V_4 = 70\text{mV}$	$V_8 = 40\text{mV}$	$V_{14} = 8\text{V}$
$V_2 = 25\text{mV}$	$V_6 = 50\text{mV}$	$V_{10} = 40\text{mV}$	
$V_3 = 80\text{mV}$	$V_7 = 200\text{mV}$	$V_{12} = 100\text{mV}$	

Bu ölçümler sırasında; analog anahtarlar ve analog çoğullayıcısının konumları önceki durumda kalmıştır. Ayrıca önceki ölçümlerdeki tartışmalar bu değerler içinde geçerli olmaktadır.

#### 8.2.1 Analog anahtar (1.4066) nın test edilmesi

Bu elemanın performansı belirlenirken; (-) ana girişden 1mV (p-p) -1050 Hz değerinde işaret uygulanmış. Çıkış işaret ise yine 14 numaralı uctan alınmıştır. (4051) analog anahtarı; A=0, B=1, C=0 ve ikinci (4066) nın 1-2 numaralı kontakları kapalı konumdadır. Aşağıdaki tablo 8.6'da çeşitli olasılıklar için, çıkış gerilimi ölçümleri verilmektedir.

Sonuçlardan görüldüğü gibi bir çok konum için mikro işlemci, sistemin çıkışını sıfırlama olanağına sahip olmaktadır. Aynı zamanda bir anlamda da kazanç kalibrasyonu yapılmaktadır. Ölçümler sırasında alçak geçiren filtre kullanılmıştır ( $f_{clk}=110\text{KHz}$ ).

Tablo 8.6 1.4066 ile ilgili ölçümeler.

D	C	B	A	<u>Çıkış(p-p)</u>	D	C	B	A	<u>Çıkış(p-p)</u>
0	0	0	0	$\approx 0V$	1	0	0	0	4V
0	0	0	1	$\approx 0V$	1	0	0	1	4V
0	0	1	0	8V	1	0	1	0	10V
0	0	1	1	8V	1	0	1	1	10V
0	1	0	0	13V	1	1	0	0	$\approx 0V$
0	1	0	1	3,5V	1	1	0	1	$\approx 0V$
0	1	1	0	1V	1	1	1	0	$\approx 1V$
0	1	1	1	0,8V	1	1	1	1	$\approx 1V$

8.2.2 Analog çoğullayıcının (4051) test edilmesi

Elemanın performansı belirlenirken; ana girişden 1mV -1050Hz lik bir işaret sürülmüştür. Filtre olarak alçak geçiren devre kullanılmış, birinci (4066) analog anahtarı ise; A=1, B=1, C=0, D=0 konumuna alınmıştır. Çıkışdan yapılan ölçümeler, Tablo 8.7'de görülmektedir.

Tablo 8.7. (4051) ile ilgili ölçümeler

C	B	A	<u>Çıkış (p-p)</u>	C	B	A	<u>Çıkış(p-p)</u>
0	0	0	18V	1	0	0	8V
0	0	1	12V	1	0	1	7V
0	1	0	12V	1	1	0	3,5V
0	1	1	8V	1	1	1	6V

Tablodaki sıraya uygun olarak; analog çoğullayıcı Y<sub>0</sub> dan Y<sub>7</sub>'ye kadar olan girişleri seçer. Bu seçim sırasında; sırayla 560Ω'lu en küçük değerli dirençten başlayıp 8KΩ en büyük değerli sekiz adet direnci seçer (R<sub>x</sub>). Bu dirençler IC<sub>14</sub>'den oluşan yükselteç kazancını belirler. Tablo değerlerine göre en büyük sistem çıkış gerilimi (dolayısıyla IC<sub>14</sub>'ün kazancı), en küçük direnç konumunda olmaktadır. Zira yükselteç kazancı kabaca 10KΩ/R<sub>x</sub> kadardır.

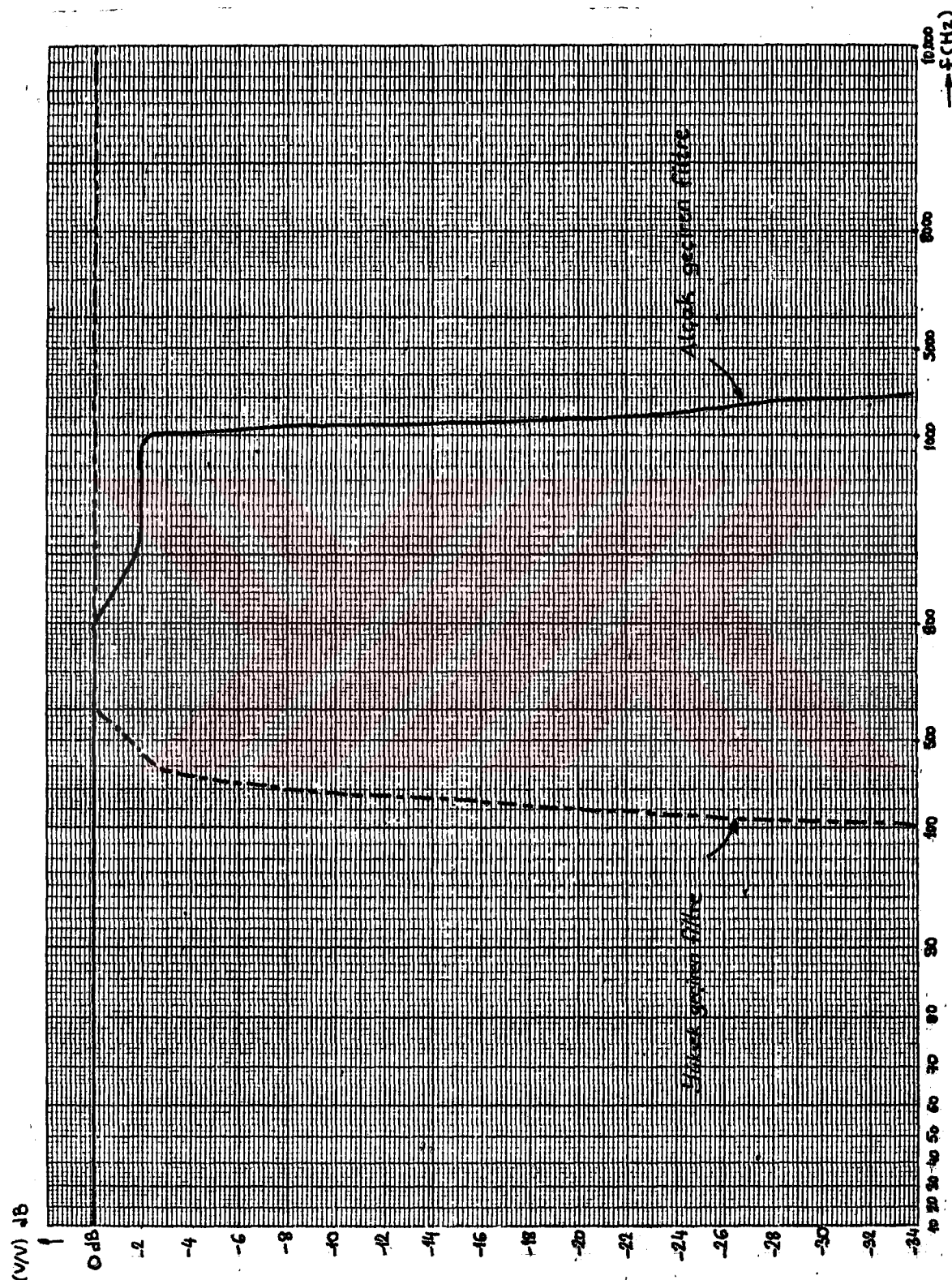
8.2.3 Filtrelerin test edilmesi

Bu ölçümeler sırasında; Alçak ve yüksek geçiren filtreleri (MF10) diğer katlardan ayrılarak test edilmistir. Esasen elemanların performansı komple sistem içerisinde de belirlenebilir. Bu yola başvurmanın nedeni, filtrelerden önce gelen katlarda frekansa bağlı olan kayıpların dikkate alınmaması içindir (seri bağlı kuplej kandansatörlerinden dolayı).

Alçak geçiren filtre deneyinde 30mV (p-p) değerindeki işaret filtrenin giriş ucundan (4) doğrudan uygulanmıştır. Ölçümler osiloskop yardımıyla çıkışındaki 20KΩ'lu dirençten sonra yapılmıştır.

Yüksekgeçiren filtre ölçümelerinde de, aynı seviyedeki işaret kullanılmıştır. Alçak geçiren filtreye 110.KHz'lik ve yüksek geçiren filtreye ise 34KHz'lik saat frekansı uygulanmıştır. Girişdeki işaretin

frekansı çeşitli aralıklarda değiştirilerek, çıkış gerilimleri ölçülmüştür. Elde edilen değerler kullanılarak, çizilen filtre cevap eğrileri Şekil 8.1'de verilmiştir.



Şekil 8.1. Alçak ve yüksek geçirilen filtre, cevap eğrileri.

## EK.A.

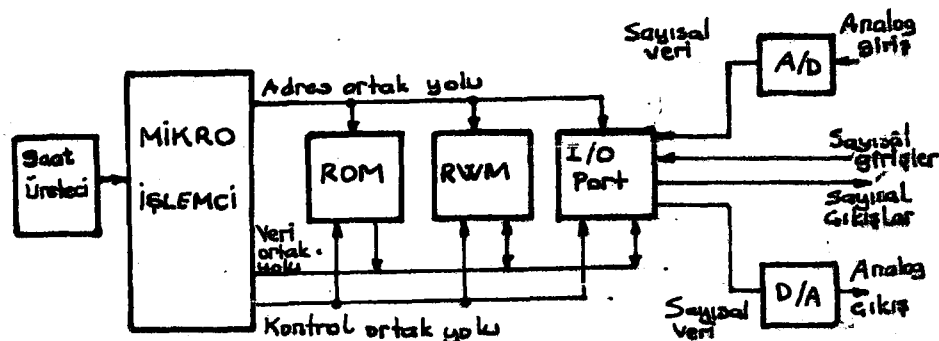
## GENEL MİKRO İŞLEMÇİ YAPISI VE 8085A MİKRO İŞLEMÇİSİ

Daha önce de belirtildiği gibi, gerçekleştirdiğimiz sisteme-deki devrelerin bir çoğu mikro işlemci denetiminde çalışmaktadır. Fakat mikro işlemci katı prototip olarak gerçekleştirilmemiştir. Bu bölümde konuya ilgili çalışma yapıcıklar için, genel bir mikro işlemci incelemesi yapılmıştır. Ayrıca 8 bitlik bir mikro işlemci örneği de incelenmiştir.

E.A.1. Mikro işlemci genel yapısı ve Özellikleri.

Bir mikro işlemci sistemi bir çok temel amacı yerine getirirken; dış dünyadan gelen sayısal verileri işler ve çıkış fonksiyonunu olaraq yine sayısal bilgiler verir. Mikro işlemciye giriş yapmak amacıyla analog bilgi; analog-sayısal dönüştürücüden geçirilir. Aynı zamanda dış ortama uygun olması açısından elde edilen sayısal bilgi, bu kez sayısal-analog dönüştürücüden geçirilir. Şekil E.A.1'de sayısal ve örnekSEL girişi mikro işlemci tabanlı bir sistem görülmektedir. ROM (sadece okunabilir bellek), RWM (yazılıp-okunabilen bellek) ve I/O port (giriş-çıkış kapısı) birimleri bir yazıcı (register) topluluğunu oluştururlar(9). Bu yazıcılar, eğer mikro işlemci ile birlikte yer almışlarsa dahili yazıcı olarak adlandırılırlar. Yazıcılar sayesinde, sistem mimarisi (architecture) içerisinde mümkün miktarda veri aktarımı (transfer) yapılabilmektedir. Mikro işlemcideki yazıcıların tipleri ve veri aktarım miktarı, mikro işlemci mimarisini belirler.

Bir mikro işlemci sistemi kendi fonksiyonlarını, sistem yazıcılarında verinin aktarım ve dönüşümü yolu ile yerine getirir. Tipik olarak verinin dönüşümü, herhangi bir işlemel yazıcıda (operational register) olur. Bu işlemel yazıcılar, depolama yazıcılarından farklı olup, kendi yardımcı devreleri ile birlikte aritmetik ve mantık (logic) işlemlerini yaparak verinin dönüşümünü sağlar(9).



Sekil E.A.1: Sayısal ve analog girişi, mikro-islemci tabanlı sistem(9).

Mikro işlemciler, sistem ROM'undaki uygulama programından okudukları komutlara (instructions) uygun bir şekilde, veri aktirimini ve dönüsümünü kontrol ve senkronize ederler. Dış birimlerden gelen kontrol işaretleri, mikro işlemcinin aşağıdaki durumlardan herhangi birine girmesine neden olur.

**Reset;** Bu durumda program başlangıçtan itibaren yürütülür. Wait (bekleme); Tanımlanan bellek gözüne yeterli bir sürede erişmek için sistem bekleme durumuna girer.

**Interrupt (kesinti);** Yürütmekte olan program kesilerek başka bir bellek gözüne dallanma sağlanır.

**Suspend (askıda kalmak);** Adres ve veri uçlarını yüksek empedanslı duruma geçirerler, diğer elemanlara doğrudan yazma ve okuma işlemine izin verir. Mikro işlemci sisteminin değişik alt sistemlerindeki yazıcılar, sistem ortak yolu (bus) tarafından harici olarak birbirlerine bağlanırlar. Sistem ortak yolu içérisine; adres ortak yolu, veri ortak yolu ve kontrol ortak yolu girer. Aşağıdaki tabloda, tipik bir sistem ortak yoluna ait işaretler görülmektedir.

Tablo E.A.1: Tipik bir sistem ortak yolu işaretleri kümesi(9).

İsim	Fonksiyon	Sayı	Yön
<u>A</u> <sub>o</sub> -A <sub>15</sub>	Adres ortak yolu	16	Çıkış
<u>D</u> <sub>o</sub> -D <sub>7</sub>	Veri ortak yolu	8	İki yönlü
RD	Genel okuma işareteti	1	Çıkış
WR	Genel yazma işareteti	1	Çıkış
IO/M	Durum(I/Oveya bellek referansı)	1	Çıkış
MEMR	Bellek okuma işareteti	1	Çıkış
I/OR	Giriş elemanı okuma işareteti	1	Çıkış
I/OW	Çıkış elemanı yazma işareteti	1	Çıkış
Reset	Sistem reset çıkışı	1	Çıkış

Aşağıda, mikro işlemci integresinin iç yapısı kısaca gözden geçirilecektir.

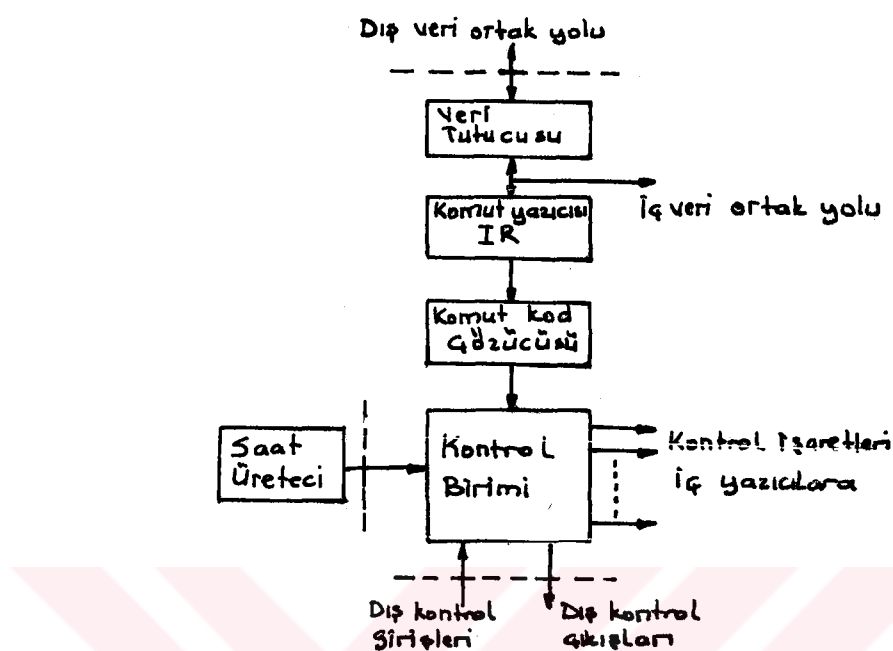
### E.A.2: Kontrol birimi

Mikro işlemcinin kontrol birimi, veri aktirimı ve dönüsümünü kontrol ve senkronize ederek alt sistemleri kendi kendine devreye alır. Bu birim, ana saat (clock) dan gelen girişleri kullanarak zamanlama ve kontrol işaretlerini üretir. Bu işaretler, her bir komut ile birlikte aktarım ve dönüsüm olaylarını düzenlerler(9). Bu birim, sistem içindeki diğer elemanların ürettiği kontrol işaretlerini de bir giriş gibi kabul ederek, mikro işlemci sisteminin durumunu değiştirir.

Kontrol birimi tarafından düzenlenmiş mikro işlemcinin temel çalışması, devirsel (cyclical) ve komutların ard-ardına alınıp yerine getirilmesi şeklindedir(9).

Her bir komutun yerine getirilmesi, alma (fetch) ve infaz (execute) gibi iki aşamada olur. Alma konumunda, bellekten gelen komut mikro işlemciye alınır ve infaz konumunda, bu komut yerine getirilir.

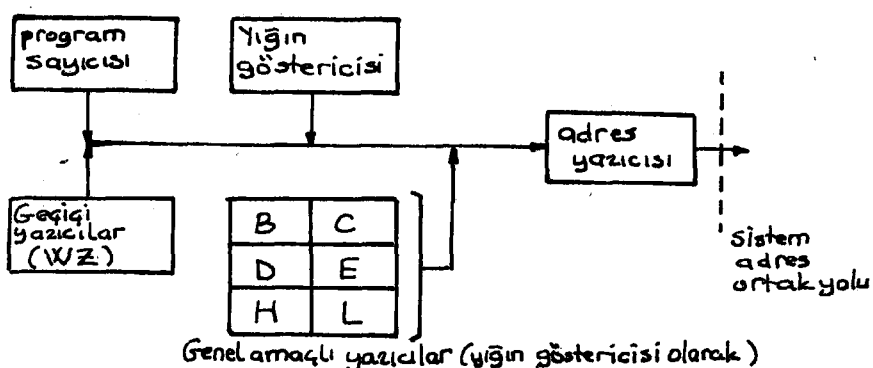
Sekil E.A.2'de mikro işlemci kontrol birimi, komut yazıcısı ile komut kod çözücüsü görülmektedir.



Sekil E.A.2: Mikro işlemci kontrol birimi, komut yazıcısı ve komut kod çözücüsü(9).

### E.A.3 İç yazıcılar.

Aşağıdaki şekilde, adres yazıcılarının düzenlenmesi görülmektedir.



Sekil E.A.3: İç yazıcılar arasındaki düzenleme(9).

PC, program sayıcısı yürütülecek bir sonraki komutun adresini tutar. Bu sayıcı, her alma çevirimini sonunda kontrol birimi tarafından bir arttırılır. Mikro işlemci reset edildiği zaman, kontrol birimi program sayıcısını sıfırlar. Komutun ilk kelimesini elde etmek için program sayıcısında bulunan adres, adres yazıcısına geçirilir. Bundan sonra PC, bir sonraki adres gözünü gösterecek şekilde bir arttırılır(9). Kontrol birimi; ilgili bellek gözündeki veriyi mikro işlemciye aktarmak için bellek okuma işaretini üretir. Alınan bu veri, veri ortak yolu tutucusu üzerinden komut yazıcısına (IR) geçirilir. İç yazıcılar, iç veri ortak yolu üzerinden birbirlerine bağlıdır(9).

Bir komutun ilk kelimesi (byte) "OP KODU" alarak bilinir. Bu kelime, esas komutun yürütülmesi için gereken işlemleri kontrol birimi gösterir. Bu sayede; IR'nın çıkış kodu çözüllerek bir dizi işlemin sırayla yapılması sağlanır. Aslında OP KODU, temel komut dizilerinin yerleştirildiği kontrol ROM'un daki başlangıç gözünün adresidir(9). Komutun diğer parçasına (byte) "operand" ismi verilir. Bazen bu kısım iki kelime de olabilir (genel komut 3 kelime iken). Bir komutun alma çeviriminin tamamlanabilmesi için, geride kalan diğer kelimelerin mikro işlemciye aktarılması gereklidir. Her bellek okuma veya yazma işlemi, bellek referansı olarak bilinir.

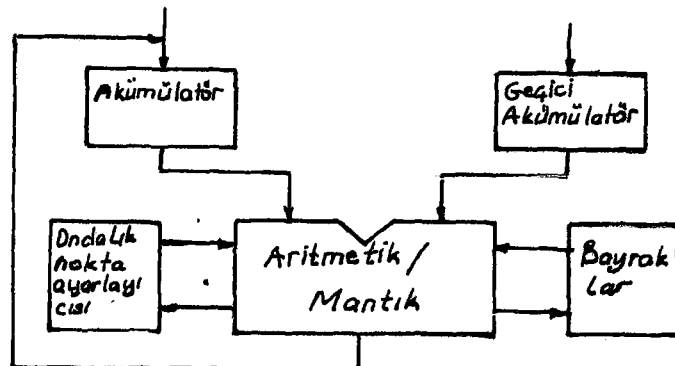
Geçici yazıcılar (temporary registers), kontrol birimi tarafından kullanılmak suretiyle bir komutun operand'larını veya adreslerini tutarlar. Bu işlem; operand'ların mikro işlemcideki bir başka yazıcıya aktarılmasına kadar veya bu operand'ların kullanılmasına kadar sürer. Şekil E.A.3'deki gösterilen W-Z geçici yazıcılarının her biri 8 bitlidir.

Diğer genel amaçlı yazılar ise hesaplamaların geçici sonuçlarını dahili olarak depolarlar. Bu işlem, dış okuma/yazama belleğindeki depolamaya karşılık düşer. Bu genel amaçlı yazılar arasında veri aktarımı için, iç yazıcıların adreslenmesinde sadece bir kaç bit'e gereksinim vardır. Bunun sebebi, iç yazıcı miktarının sınırlı olmasıdır. Böylece, bir komutun alma çevrimi için bir kaç bellek referansı yeterli olacaktır, komutun infaz süresi kısaltılmış olacaktır(9). Ayrıca akümülatör ve genel amaçlı yazıcılar arasında yapılan gerçek veri aktarımı, bir bellek referansına gereksinim duymaz. Şekil E.A.4'deki sistemde yer alan B,C,D,E,H, ve L genel amaçlı yazıcılarının her biri 8 bitlidir. Bir dizi oluşturan bu yazıcılar, tek veya çift olarak kullanılabilir.

#### E.A.4 Aritmetik -Mantık birimi

Bir veya iki operand'lık temel veriler üzerinde aritmetik veya mantık işlemleri, mikro işlemci tarafından dönüşüm (transformation) ile yerine getirilir(9). Bu amaçla, Aritmetik-Mantıksal birim ALU (arithmetic-logic-unit) kullanılır. Şekil E.A.4'de CPU içinde yer alan ALU birimin yapısı görülmektedir.

Akümülatör; üzerinde işlem yapılacak olan verilerden birini tutar. İkinci veri ise geçici akümülatörde saklanır. İşlemlerin sonuçları yine akümülatörde depolanır. ALU, şu işlemleri yapabilir; (a) İkili Toplama ve Çıkarma, (b) Mantıksal AND, OR, EX-OR, (c) Eşlenik alma, (d) Sola-sağa öteleme. ALU birimi, aritmetik ve mantık işlemlerinin sonuçlarına bağlı olarak bilgi saklayan bir kaç adet Flip-flop bulundurur. Bunlara durum bayrakları(flags) da denir.



Şekil E.A.4; Aritmetik-mantık biriminin yapısı(9)

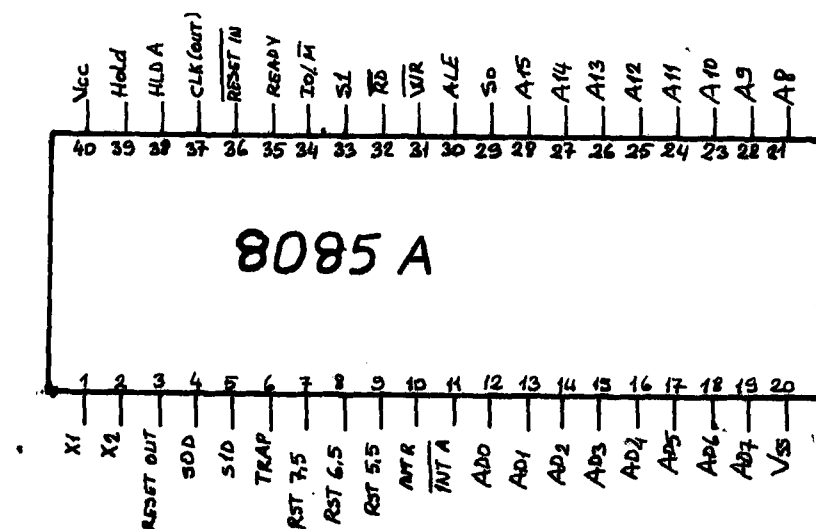
#### E.A.5. 8085A Mikro işlemcisi

Bu eleman 8 bitlik olup, uygulama alanı genişstir. Tek yonga (chip) tipindeki yapı içerisinde 6200 adet NMOS transistör kullanılmıştır. 8085A'nın komut kümesi 74 komutu içerir. 5Vluk tek bir kaynakla beslenmekte olup, Vss toprak ucudur. X<sub>1</sub>-X<sub>2</sub> uçlarına bağlanacak kristal veya R-C şebekesi yardımıyla iç kısımda elde edilen saat frekansı ile 8085A'nın çalışması senkronize edilir. Şekil E.A.5.'de elemanın üç bağlantıları ve Şekil E.A.6'de ise mimari yapısı görülmektedir.

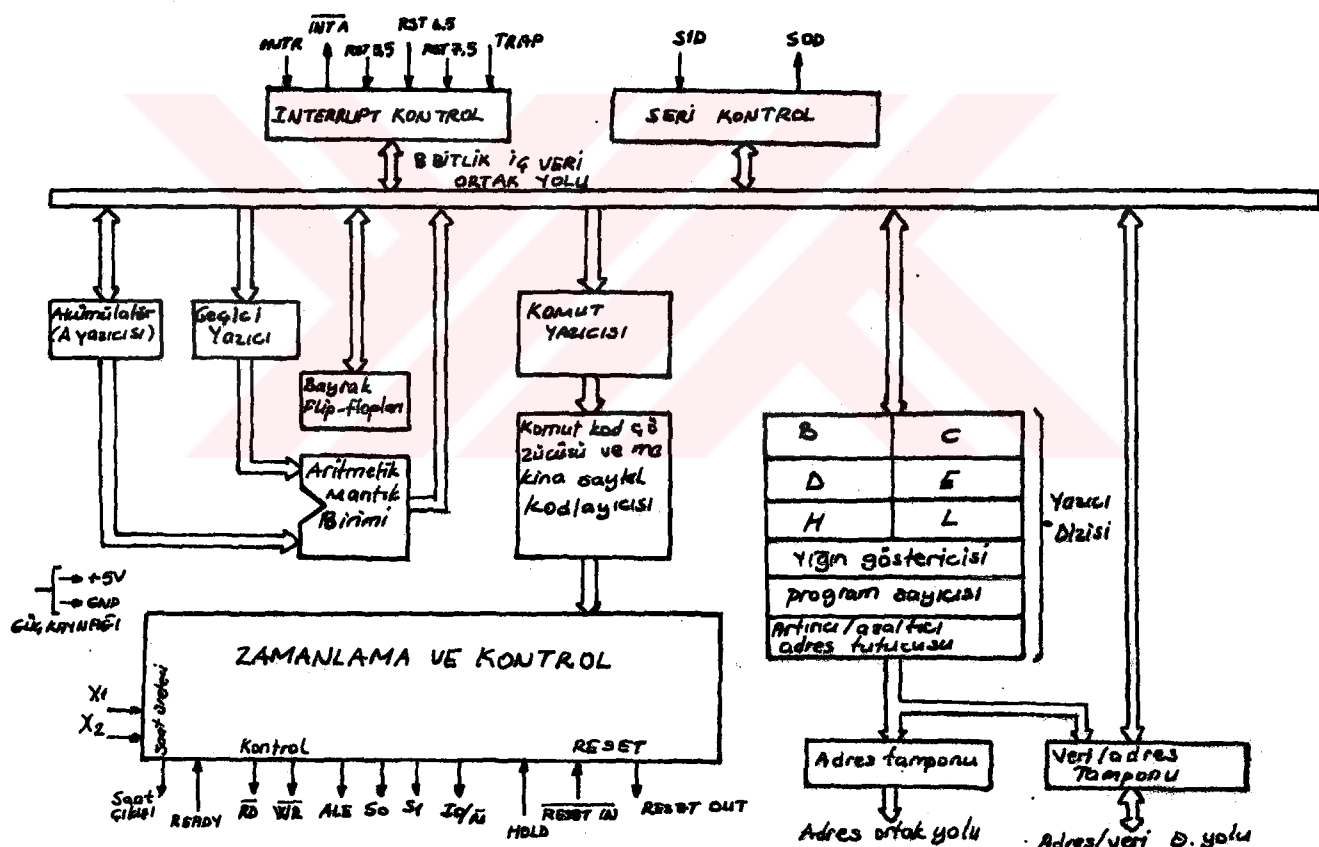
8085A mikro işlemcisi ile kurulmuş bir sistemde, standart ROM ve RWM ile bellek ve I/O kapılarını kapsayan özel tasarımlanmış integraller yer almaktadır. Şekil E.A.7'de böyle bir sistem görülmektedir.

Elemanın mimari yapısında (iç kısmı); 16 bitlik bir program sayıcısı, 16 bitlik yığın göstericisi, 6 adet 8 bitlik çift şekilde düzenlenmiş (BC-DE-HL) genel amaçlı yazıcılar ve WZ geçici yazıcı çifti (8+8) vardır.

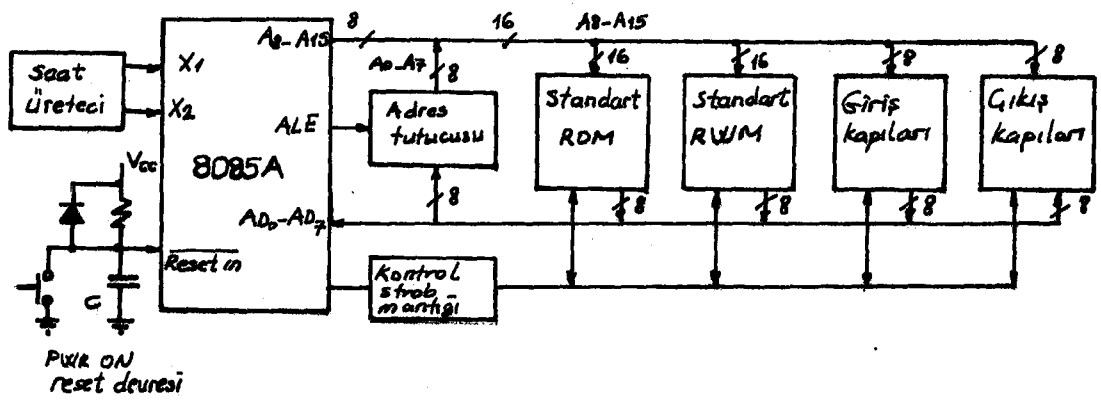
Aritmetik-mantık biriminde; 8 bitlik bir akümlatör ile 8 bitlik geçici yazıcı akümlatörü bulunur. Ayrıca; aritmetik veya mantık işlemlerinin sonuçlarını gösteren 5 adet bayrak (flip-flop) vardır. Bunların her biri, birer bitliktir.



Sekil E.A.5: 8085 mikro işlemcisinin üç bağlantıları(9).



Sekil E.A.6: 8085A Mimarisi(9).



PWR ON  
reset deuresi

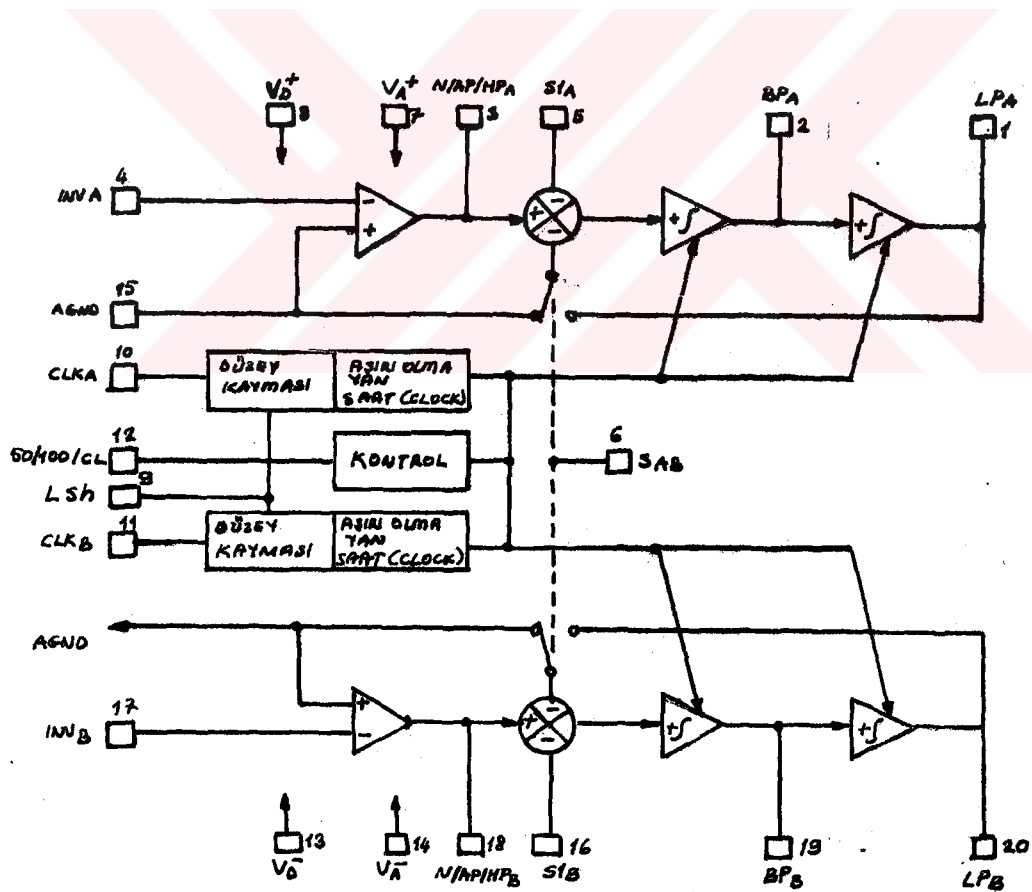


Şekil E.A.7: 8085A mikro işlemcisinin kullandığı standart ROM ve R/WM elemanlarının bağlantısı(9).

## EK.B

MF10 ÜNİVERSAL MONOLİTİK DÜAL ANAHTARLANMIŞ KAPASİTÖR  
FİLTRESİ VERİ YAPRAKLARI

MF10, iki adet birbirinden bağımsız ve kullanımı son derece kolay olan genel amaçlı CMOS aktif filtre bloklarından yapılmıştır. Her bir blok; 2. dereceden filtre devresini içerir. Her bir filtreden üç çıkış alınabilir. Çıkışlardan herhangibirisi; tüm geçiren, alçak geçiren, yüksek geçiren ve band geçiren fonksiyonlardan birisini gerçekleştirecek şekilde düzenlenebilir (Mod'lara göre). Geriye kalan iki üç; sadece alçak ve band geçiren fonksiyonun merkez frekansı, doğrudan saat (clock) frekansına veya saat frekansı ve harici dirençlerin oranına bağlı olacak şekilde belirlenebilir. Band durdurulan (notch) ve tüm geçiren fonksiyonların merkez frekansı, doğrudan saat frekansına bağlıdır. Yüksek dereceli filtre devrelerini kurmak için, ard-ardına bağlantı yapılır. Bu elemanla, klasik filtre yapıalarından herhangi birisi gerçekleştirilebilir (Butterworth, Bessel, Cauer, Chebyshev). Şekil E.B.1'de elemanın blok diyagramı gösterilmiştir.



Sekil E.B.1:MF10, sistem blok diyagramı (7).

### E.B.1 MF10'nun teknik özellikler

Elemanın teknik özelliklerini aşağıdaki gibi sıralayabiliriz.

- Düşük harcama
- 20 uçlu (0,3") geniş bir gövde
- Kullanım kolaylığı
- $\pm 0,6\%$  doğrulukta, saat-merkez frekansı oranı ( $f_{clk}/f_c$ )
- Filtre kesim (cut-off) frekansı kararlılığının doğrudan saat frekansının kalitesine bağlı olması,
- Harici eleman değişimine karşı düşük duyarlılık.
- Yüksek geçiren, band geçiren ve alçak çıkışlar için seçme yeteneği
- 200 KHz'e kadar,  $f_{oxQ}$  değeri
- 30 KHz'e kadar, çalışma yeteneği

Tablo E.B.1: Karakteristik değerler (7).

Mutlak max. miktarlar					
Besleme gerilimi	14V	Depolama sıcaklığı	150°C	Dayanma sıcaklığı (10sn)	300°C
Güç harcaması	500mV				
Çalışma sıcaklığı	0°C - 70°C				
Elektriksel karakteristikler (komple filtré) $V_s = \pm 5V$ , $T_A = 25^\circ C$					
Parametre	Koşullar	Min.	Tipik	Max.	Birim
Frekans kademesi	$f_0 \times Q < 200 \text{ KHz}$	20	30		KHz
Saat fr.-Merkez fr. oranı $f_{clk}/f_0$					
MF 10 BN	12 uç, $Q = 10$		49,94 $\pm 0,2\%$	$\pm 0,6\%$	
MF 10 CN	$f_{oxQ} < 50 \text{ KHz}$ , Mod. 1		49,94 $\pm 0,2\%$	$\pm 1,5\%$	
MF 10 BN	12 uç, orta seviyede besleme		99,35 $\pm 0,2\%$	$\pm 0,6\%$	
MF 10 CN	$Q = 10$ , $f_{oxQ} < 50 \text{ KHz}$ , Mod. 1		99,35 $\pm 0,2\%$	$\pm 1,5\%$	
$Q$ doğruluğu (ideal filtre koşullarında $Q$ sapması)	$f_{oxQ} < 50 \text{ KHz}$ $f_0 < 5 \text{ KHz}$ , Mod. 1		$\pm 2\%$	$\pm 6\%$	
$f_0$ sıcaklık katsayıısı	12 uç ( $\sim 50 : 1$ ) 12 uç orta besleme ( $\sim 100 : 1$ ) $f_{oxQ} < 100 \text{ KHz}$ , Mod. 1 Harici saat sıcaklığı bağımsız		$\pm 10$ $\pm 100$		ppm/ $^\circ C$ ppm/ $^\circ C$
$Q$ sıcaklık katsayıısı	$f_{oxQ} < 100 \text{ KHz}$ , $Q$ ayarla ma dirençlerinin sıcaklığı bağımsız		$\pm 500$		ppm/ $^\circ C$
DC.Alg.Geg. doğruluğu	Kazanç Mod. 1, $R_1 = R_2 = 10k$			$\pm 2$	%
Gapraz konusum			50		dB
Saat beslemesi			10		mV
Max. saat frekansı		1	1,5		MHz
Güç kaynağı akımı			8	10	mA

E.B.2 Terimlerin tanımlanması:

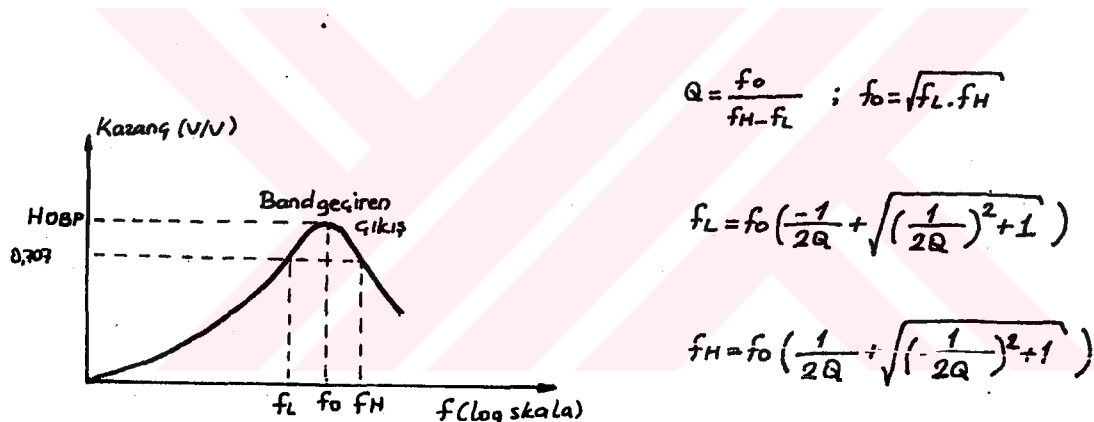
$f_{CLK}$ : Anahtarlanmış kapasitör filtrenin harici saat frekansı.

$f_0$  : İkinci dereceden fonksiyonun karmaşık (complex) kutup çiftinin merkez frekansı.  $f_0$ ; her bir  $1/2MF10$ 'nun band geçirici çıkışında ölçülmüş olup, band geçirme pik (peak)ının oluşturduğu frekanstır (Şekil: E.B.2).

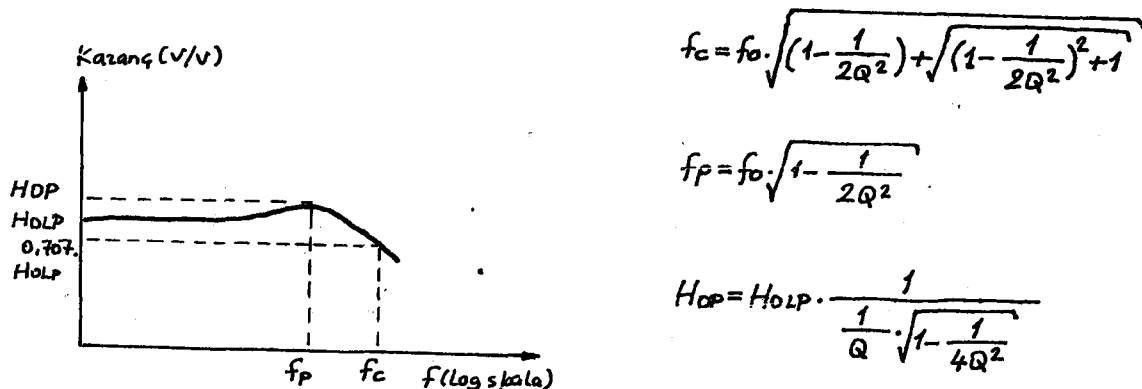
$Q$  : İkinci dereceden fonksiyonun karmaşık kutup çiftinin kilit faktörüdür.  $Q$ ; her bir  $1/2 MF10$ 'nun band geçirme çıkışında ölçülmüş olup;  $f_0$ 'nın, ikinci dereceden bant geçirici filtrenin  $-3$  dBlik band genişliği miktarına oranıdır (Şekil E.B.2).  $Q$ 'nın değeri, alçak geçiren ve yüksek geçiren çıkışlarda ölçülmez.

$H_{OBP}$ :  $f=f_0$ 'da band geçirici çıkışın ( $V/V$ ) kazançlı.

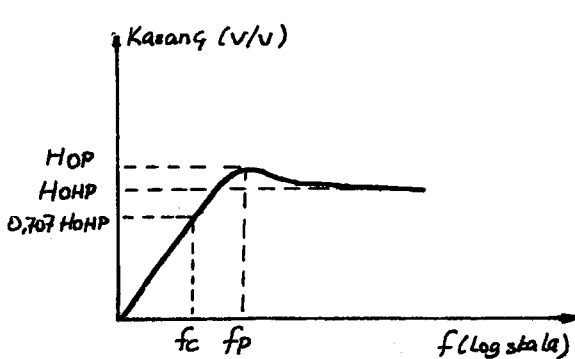
$H_{OLP}$ :  $f \rightarrow 0$ 'Hz de (Şekil E.B.3) her bir  $1/2 MF10$ 'nun alçak geçiren çıkışındaki ( $V/V$ ) kazanç.



Şekil E.B.2: Band geçirilen çıkış(7).



Şekil E.B.3: Alçak geçirilen çıkış(7).



$$f_c = f_0 \left[ \sqrt{\left(1 - \frac{1}{2Q^2}\right)} + \sqrt{\left(1 - \frac{1}{2Q^2}\right)^2 + 1} \right]^{-1}$$

$$f_p = f_0 \left[ \sqrt{1 - \frac{1}{2Q^2}} \right]^{-1}$$

$$H_{OHP} = H_{OHP} \cdot \frac{1}{\frac{1}{Q} \cdot \sqrt{1 - \frac{1}{4Q^2}}}$$

Sekil E.B.4: Yüksek geçiren çıkış (7).

$H_{OHP}$ :  $f \rightarrow f_{clk}/2$  iken; (Şekil E.B.4) her bir 1/2 MF10'un yüksek geçiren çıkışındaki kazanç.

$Q_z$  : Herhangi bir ikinci dereceden "karmaşık sıfır" (complex zero) çiftinin kalite faktörü ( $Q$  doğrudan ölçülemediği zamanda,  $Q_z$  kullanışlı bir parametredir).

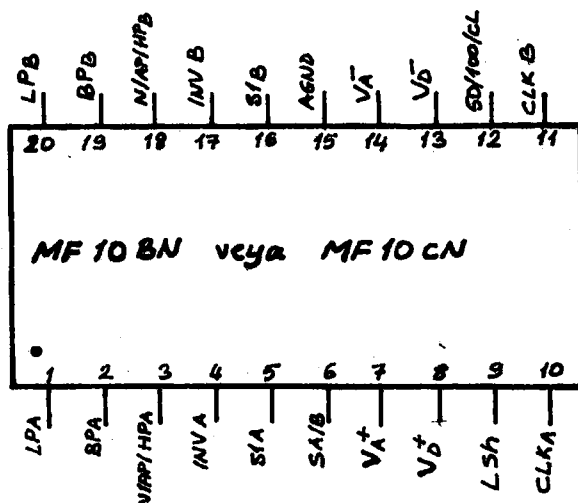
$f_z$  : Herhangi bir 2. dereceden fonksiyonun "karmaşık sıfır" çiftinin merkez frekansıdır. Eğer  $f_z$ ,  $f_0$ 'dan farklı ve  $Q_z$  oldukça yüksekse; tüm geçiren çıkışda bir notch frekansı etkisi olarak gözlenebilir.

$f_{notch}$ : MF10'un Band durdurma çıkışında veya çıkışlarında gözlenen band durdurma frekansı.

$H_{ON1}$  :  $f \rightarrow 0$  Hz iken notch çıkışındaki kazanç.

$H_{ON2}$  :  $f \rightarrow f_{CLK/2}$  iken notch çıkışındaki kazanç.

Sekil E.B.5'de bağlantı diyagramı görülmektedir.



Sekil E.B.5: Bağlantı diyagramı (7).

E.B.3 Uçlara (pin)lere ait açıklamalar:

- LP, BP, N/AP/HR : Bunlar; Alçak geçiren, band geçiren, band durdurucu veya tüm geçiren ve yüksek geçiren çıkışlardır (Her biri 2. dereccden kısım için dikkate alınmıştır).
- INV : Her bir filtrenin toplayıcı opampının tersleyici girişi. Bu uç, statik deşarj korumalıdır.
- S1 : "Tüm geçiren" bağlantıda işaret girişcisi olarak kullanılmıştır (4. ve 5. modlara bakınız). Bu uç,  $1\text{K}\Omega$  dan daha az bir kaynak empedansı ile sürülmüş olmalıdır.
- $S_{A/B}$  : Bu uç. filtrenin 2. toplayıcı girişlerinden birisini analog toprak ( $S_{A/B}$ 'yi  $V_A$  yaparak) veya devrenin alçak geçirici çıkışına ( $S_{A/B}$ 'yi  $V_A^+$  yaparak) bağlayan anahtar etkisi gösterir. Bu uç, integrenin değişik mod çalışmalarındaki esnekliği temin eder.  $S_{A/B}$ : statik deşarjlardan korunmuştur.
- $V_A^+, V_D^+$  : Analog pozitif besleme ve sayısal pozitif besleme. Bu uçlar dahili olarak (IC) integreye bağlandıklarından, benzer besleme kaynaklarından sürülmüş olmalıdır. İstenirse, bir kondansatörle (by-pass) köprülenebilirlir.
- $V_A^-, V_D^-$  : Analog ve sayısal besleme uçları, Burada,  $V_A^+$  ve  $V_D^+$  için yapılan açıklamalarda geçerlidir.
- $L_{Sh}$  : Düzey kaydırma ucu (pin). Bu uç çift veya tek besleme çalışmalarında değişik saat(clock) düzeylerini sisteme uydurur.  $\pm 5\text{V}$  beslemesinde MF10,  $\pm$  CMOS saat darbeleriyle sürülmüş olmalıdır. Bu durumda  $L_{Sh}$  ucu sistemin toprağına veya negatif besleme uçlarından birisine bağlanmış olmalıdır. Eğer yukarıdaki gibi benzer kaynaklar kullanılmış fakat OV-5V arası  $T^2L$  saat darbeleriyle sürülmüşse,  $L_{Sh}$  ucu sistem toprağına bağlanmalıdır. Tek besleme kaynaklı (OV-10V) çalışmalar için,  $V_D^-$ ,  $V_A$  uçları sistem toprağına bağlanmalıdır. Bu arada AGND ucu (analog toprak), 5V'da kutuplanmalı ve  $L_{Sh}$  ucu da sistem toprağına bağlanmalıdır. Bu durum, CMOS ve  $T^2L$  saat darbe seviyeleri için uyum sağlayacaktır.
- CLK (A veya B): Herbir A.K.F. bloğu ( $1/2 \text{MF10}$ ) için saat girişleri. Bu girişler, benzer saat düzeyleri ile ( $T^2L$  veya CMOS) ile sürülmeliidir. Daha önce açıklanan  $L_{Sh}$  düzeylerinin nasıl uzlaştırılacağı hakkında bilgi vermektedir. Esasen saat frekansları 200 KHz'in üzerinde seçilmişse, iş çevirimi (Duty cycle) %50'ye yakın olmalıdır. Bu durum, opampın filtre çalışmada optimum performans için gerekli olacaktır.
- 50/100/CL : Bu ucun "1" (high) yapılması ile, saat-merkez frekansı oranı 50:1 şeklinde seçilmiş olur. Bu ucun, çift kaynak çalışmasında sıfır noktasına bağlanması aynı oranın 100:1 olmasını belirler. Bu uç "0" (low) yapıldığında, besleme akımını  $2,5\text{mA}$ 'den aşağıdaki bir değerde sınırlayan akım tetikleme devresi, etkili olmaktadır.

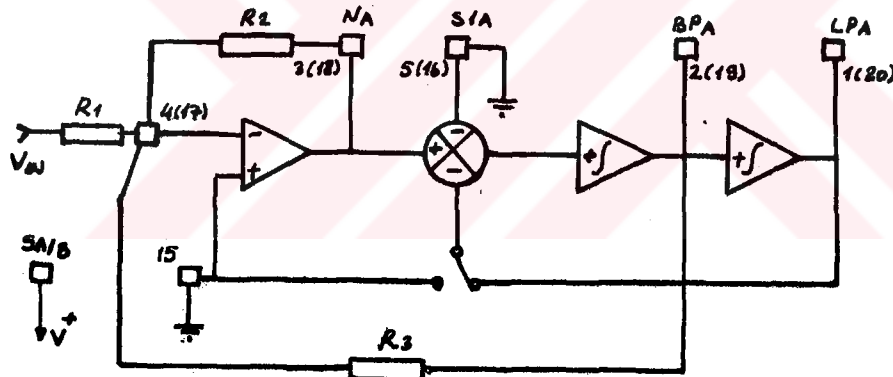
AGND : Analog toprak ucudur. Bu üç çift (dual) besleme çalışmasında sistem toprağında veya tek kaynak çalışması için beslemenin erta değerinde kutuplanmalıdır ( $V_{cc}/2$ ). Filtre opamlarının pozitif girişleri, AGND ucuna bağlanmıştır. Zira düzgün bir topraklama gerekmektedir. Bu üç, statik desarjlardan korunmuştur.

## E.B.4 Çalışma Mod'lari

MF10 bir A.K.F. dir. Onun transfer fonksiyonunun tam olarak açıklanması için, zaman-düzleminde yaklaşım uygun olacaktır. Fakat bu tür bir inceleme tarzı zahmetli olmaktadır. MF10 integresi kabaca sürekli zaman filtresi gibi kabul edilebileceğinden, aşağıdaki tartışmalarda frekans-düzlemi tabanlı incelemelere yer verilmiştir. Bu ifadeler,  $1/2$  MF10 birimini esas alır (her bir kısım 2. dereceden fonksiyonu sağlar). İncelemelerimizde sadece Mod. 1 ve Mod. 3 dikkate alınmaktadır.

E.B.4.1 Mod 1 : Band durduran, Band geçiren, Alçak geçiren çıkışlar  $f_{\text{notch}} = f_o$

Aşağıdaki Şekil E.B.6'da Mod. 1 uygulaması gösterilmüştür.



Sekil E.B.6: Mod. 1 uygulaması(7).

$f_o$  = Karmaşık (complex) kutup çiftinin merkez frekansı =  $\frac{f_{CLK}}{100}$  veya  $\frac{f_{CLK}}{50}$

$$f_{\text{notch}} = \text{Sanal sıfır çiftinin merkez frekansı} = f_0$$

$$H_{OLP} = A.G. \text{ çıkışının kazancı } (f \rightarrow 0) = \frac{R_2}{R_1} \quad E.B.3$$

$$H_{OBP} = \text{Band geçiren çıkışın kazancı } (f=f_0) = - \frac{R_3}{R_1} \quad E.B.4$$

$$H_{ON} = \text{Notch çıkışın kazancı } (f \rightarrow 0) = -\frac{R_2}{R_1} \quad E.B.5$$

$$Q = \frac{\frac{f_o}{BW}}{\frac{R_3}{R_2}} = \frac{R_3}{R_2} \quad \text{Karmaşık kutup çiftinin kalite faktörü} \quad E.B.6$$

BW = Band geçiren çıkışın -3dB'lik band genişliği

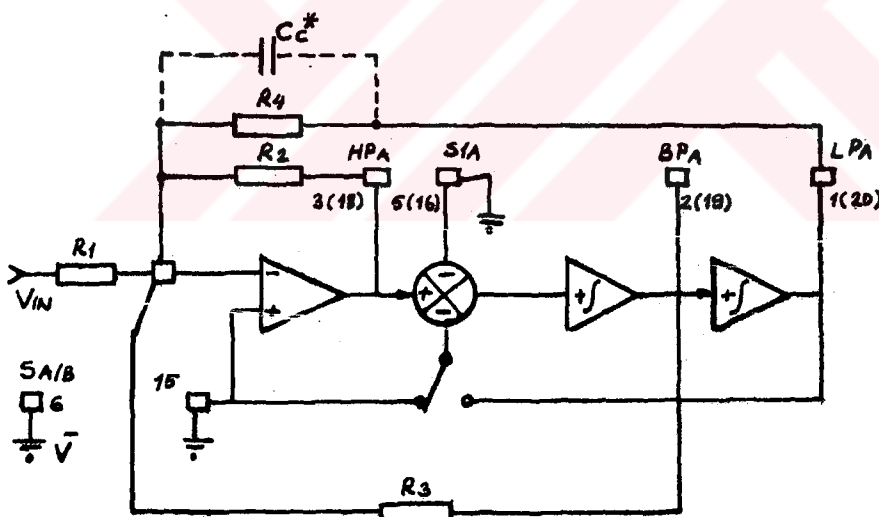
Devre dinamikleri:

$$H_{OLP} = \frac{H_{OBP}}{Q} \quad \text{veya} \quad H_{OBP} = H_{OLP} \times Q = H_{ON} \times Q \quad E.B.7$$

$$H_{OLP}(\text{peak}) \cong Q \times H_{OLP} \quad (\text{yüksek } Q \text{ için}) \quad E.B.8$$

E.B.4.2 Mod 3: Yüksek geçiren, band geçiren, alçak geçiren çıkışlar.

Aşağıdaki Şekil E.B.7'de Mod. 3 uygulaması görülmektedir.



Şekil E.B.7: Mod. 3 uygulaması(7).

$$f_o = \frac{f_{CLK}}{100} \times \sqrt{\frac{R_2}{R_4}} \quad \text{veya} \quad \frac{f_{CLK}}{50} \times \sqrt{\frac{R_2}{R_4}} \quad E.B.9$$

Q = Karmaşık kutup çiftinin kalite faktörü =

$$\sqrt{\frac{R_2}{R_4}} \times \left( \frac{R_3}{R_2} \right) \quad E.B.10$$

$$H_{OHP} = \text{Yüksek geçiren kazanç } (f \rightarrow \frac{f_{CLK}}{2}) = - \frac{R_2}{R_1} \quad E.B.11$$

$$H_{OBP} = \text{Band geçiren çıkışın kazancı } (f=f_o) = - \frac{R_3}{R_1} \quad E.B.12$$

$$H_{OLP} = \text{Alçak geçiren çıkışın kazancı } (f \rightarrow 0) = - \frac{R_4}{R_1} \quad E.B.13$$

Devre dinamikleri:

$$\frac{R_2}{R_4} = \frac{H_{OHP}}{H_{OLP}}; \quad H_{OBP} = \sqrt{H_{OHP} \times H_{OLP} \times Q} \quad E.B.14$$

$$H_{OLP} (\text{peak}) \approx Q \times H_{OLP} \quad (\text{yüksek } Q \text{ için}) \quad E.B.15$$

$$H_{OHP} (\text{peak}) \approx Q \times H_{OHP} \quad (\text{yüksek } Q \text{ için}) \quad E.B.16$$

## EK.C

## TABLO VE ŞEMALAR

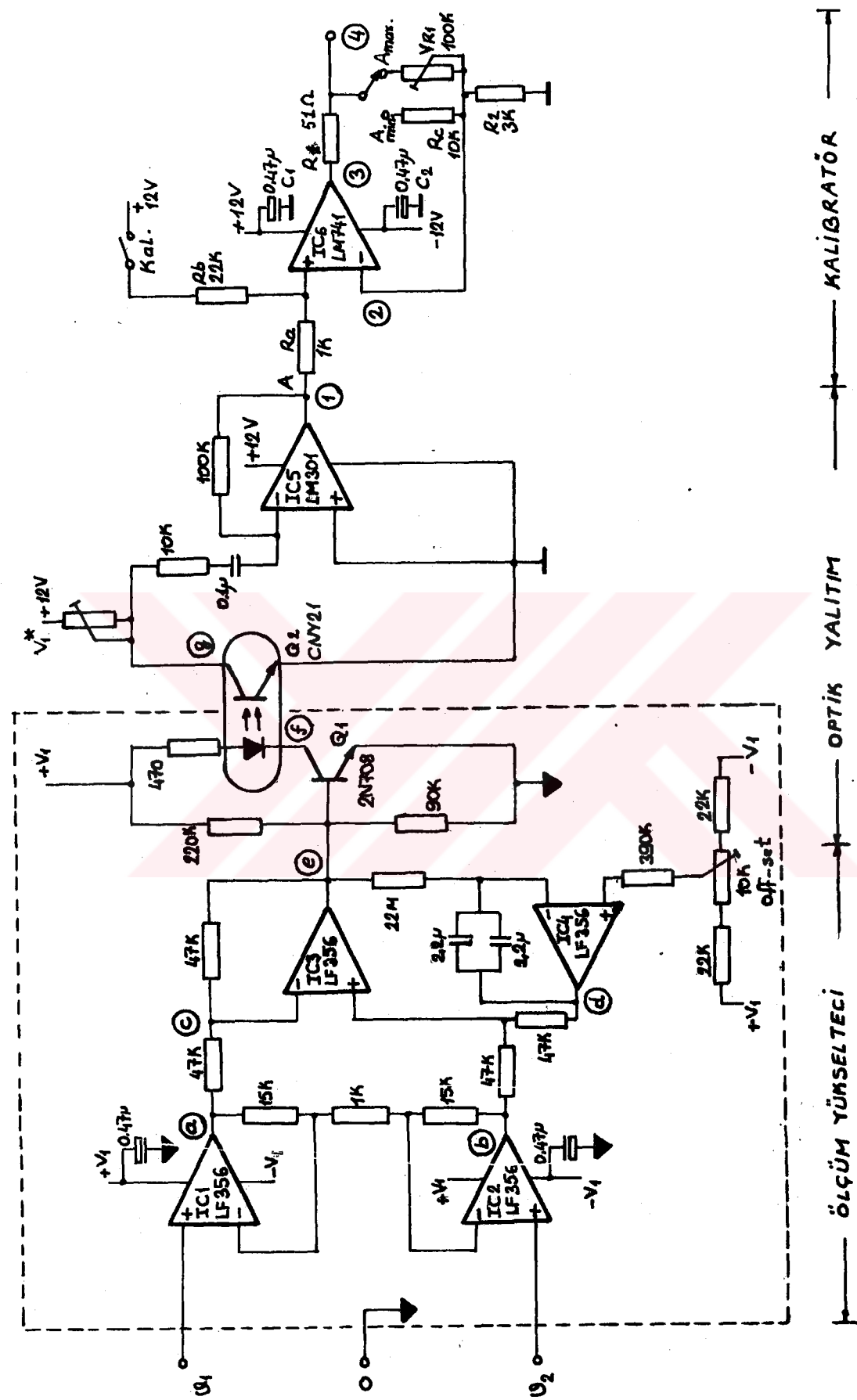
Bu bölümde vücuttan alınan biyo-elektrik potansiyellerin, tipik genlik sınırları ve ilgili frekans bölgeleri ile ölçümlerde kullanılan dünüştürücü (transducer) tiplerini içeren tablo yer almaktadır. Ayrıca bu bölümde; Devrenin elektriksel şeması ve baskılı devre planına ait şemalara da yer verilmiştir.

Tablo E.C.1: Biyo-elektrik potansiyeller(2).

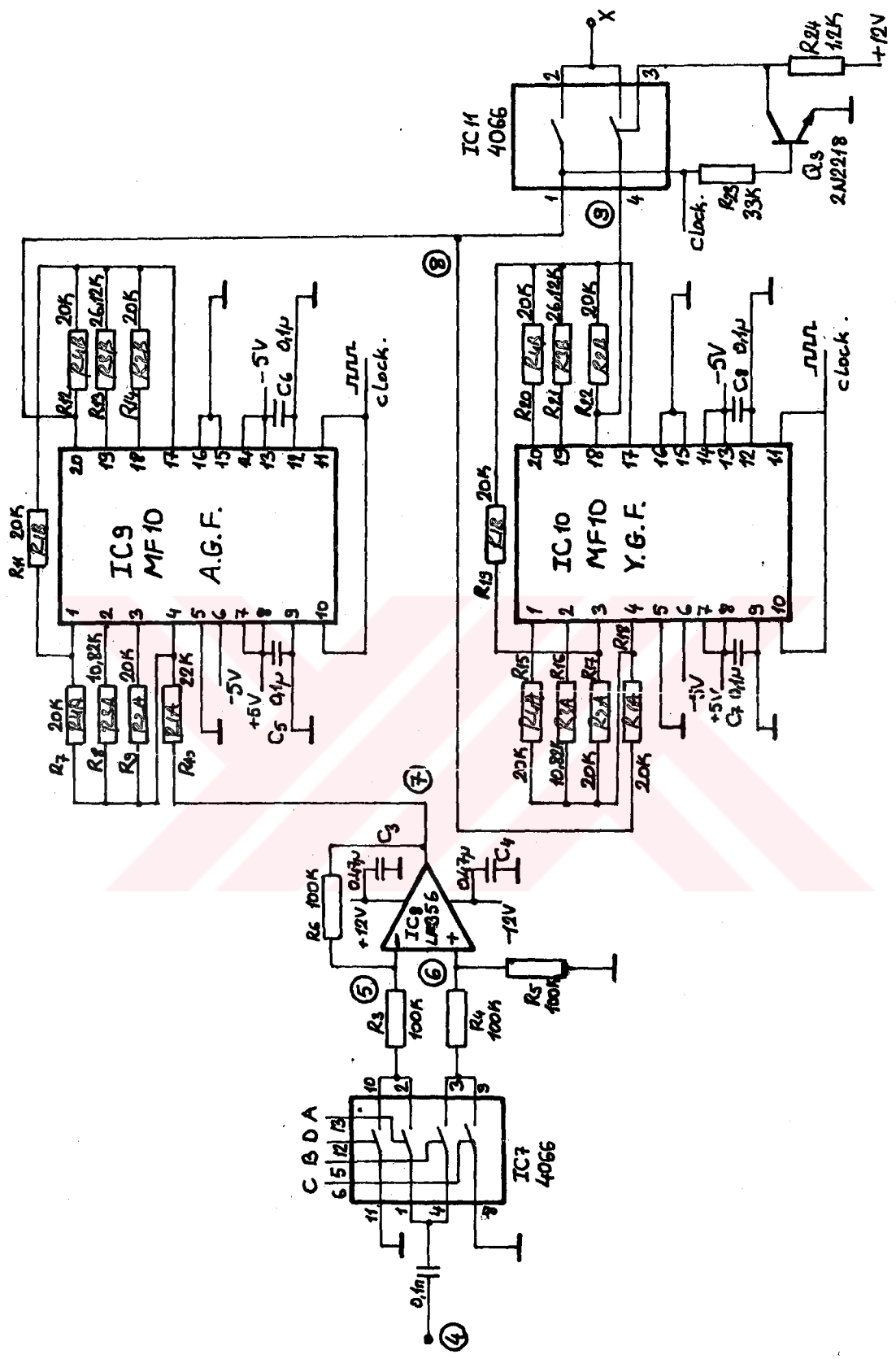
Parametre	Parametre (peak) Kademesi	Gerekli frekans cevabı (75% doğrulukta) Hz	Dönüştürücülerle ait açıklamalar
Elektrokardiyogram	10 $\mu$ V - 5mV	0,05 - 85	Deri elektrotları, igne elektrotlar veya esdeğeri
Elektroensefalogram	10 $\mu$ V - 200mV	DC - 100 (0,5 - 60)	Deri elektrotları, igne elektrotlar, hücre dışı mikro elektrotlar veya esdeğeri
Hücre içi potansiyeller (kas ve sinir hücreleri)	-100 $\mu$ V ila 200 $\mu$ V	DC - 200	Mikro elektrotlar veya mikro pipet
Hücre dışı potansiyeller (kas ve sinir hücreleri)	-100 $\mu$ V ila 200 $\mu$ V	DC - 2000	Özel elektrotlar ve igne elektrotlar
Beyinsel potansiyeller	10 $\mu$ V - 100mV	Darbe süresi 0,5msn - 0,1sn	Özel elektrotlar
Elektromiyogram (birinci işaret)	20 $\mu$ V - 300 $\mu$ V	10 - 2500	İgne elektrotlar (deri elektrotları kullanılabilir)
Elektromiyogram (ortalama)	0,1 - 1mV	Yukarıdaki değerin zaman ortalaması	-
Elektroretinogram	0 - 1mV	DC - 25	Deri veya igne elektrotlar
Elektrookülogram	0,05 - 5mV	-	Deri elektrotları
Düzenin kas potansiyeli	0,5 - 100mV	DC - 1	İgne veya fitil elektrotları

Sekil E.C.1'de sistemin komple elektriksel bağlantı şeması, Sekil E.C.2 ve Sekil E.C.3'de ise baskılı devre planı ile yerleştirme planları verilmüştür.

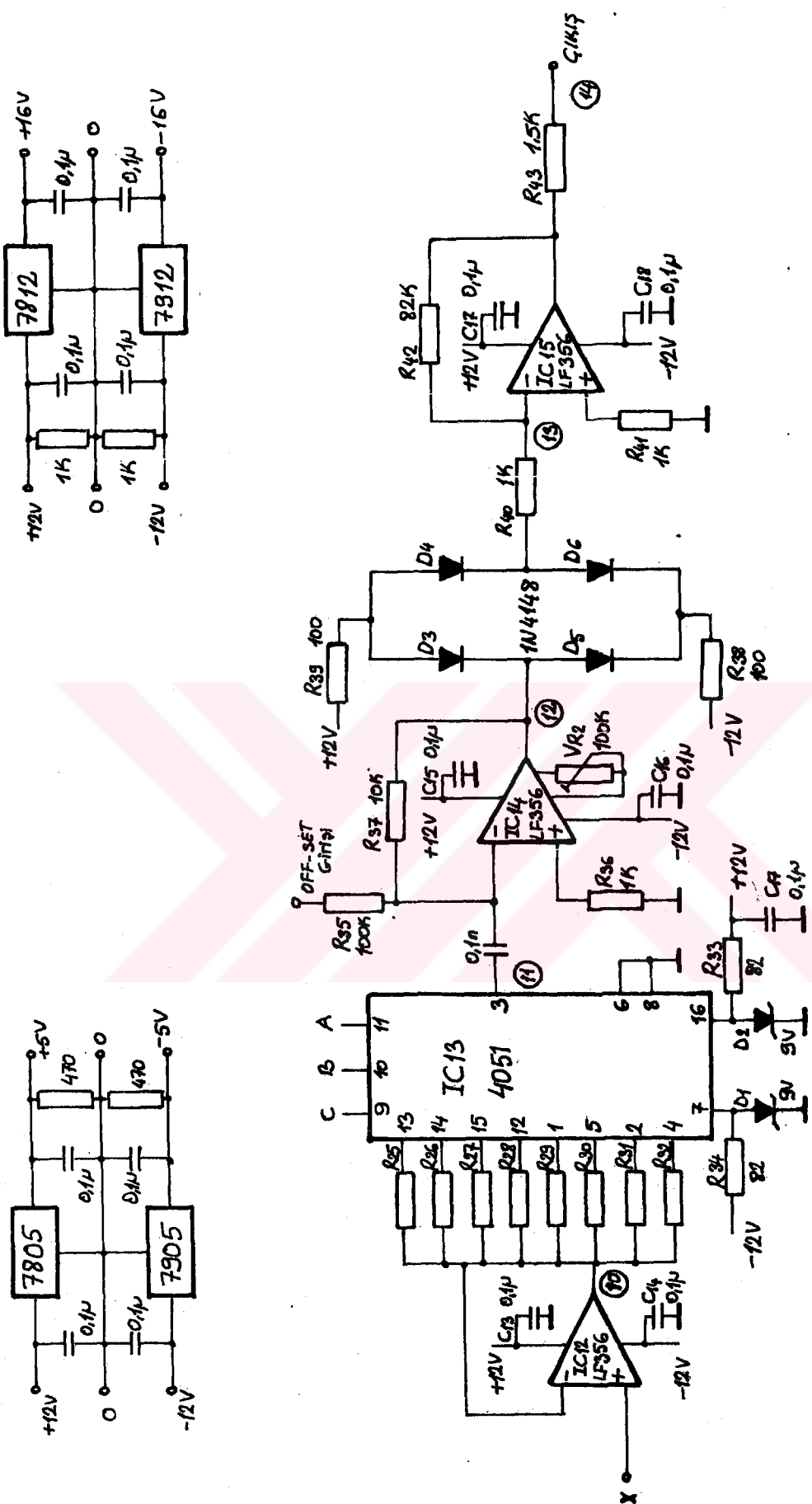




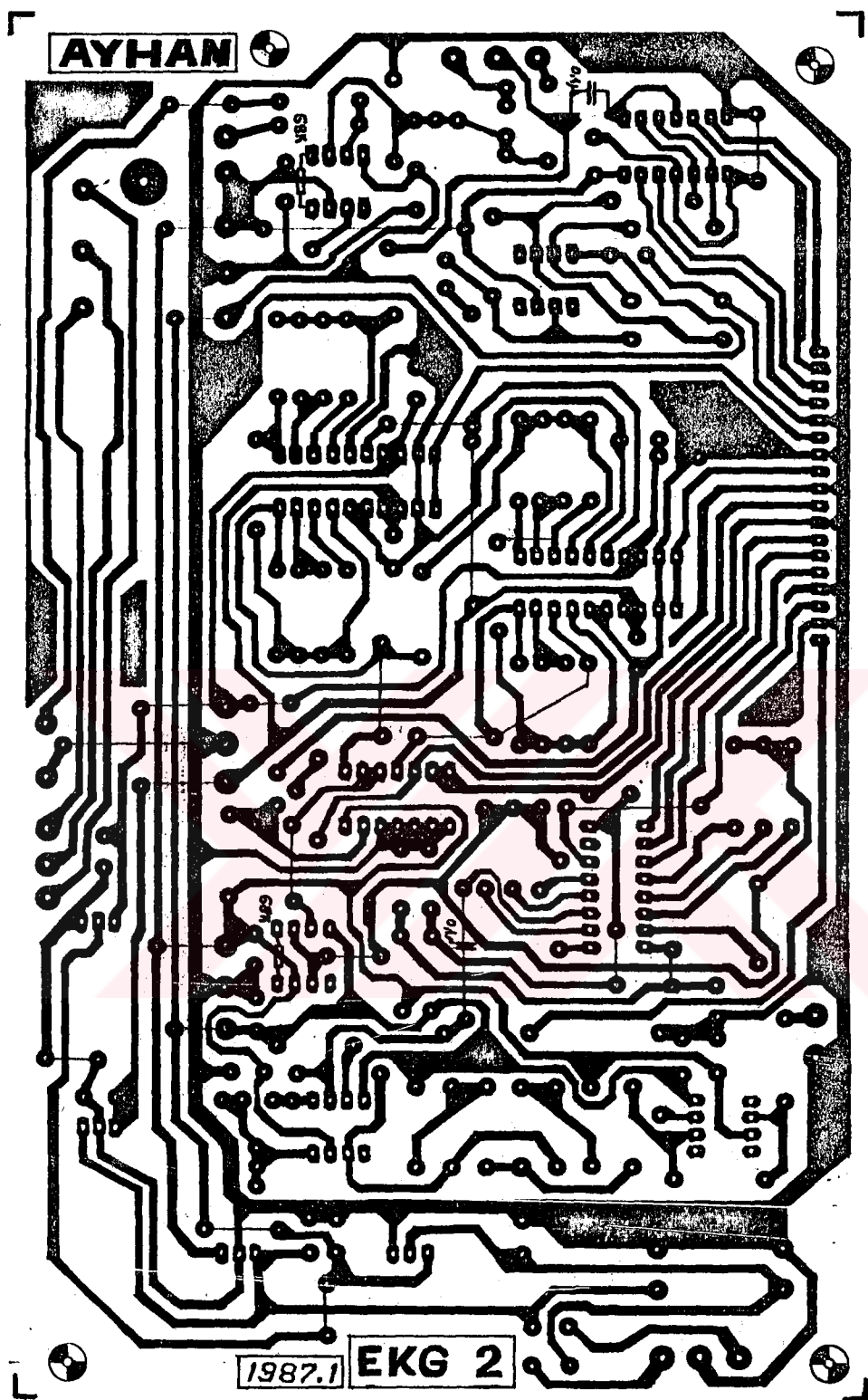
Sekil E.C.1:a Ön yükselteç ve kalibratör.



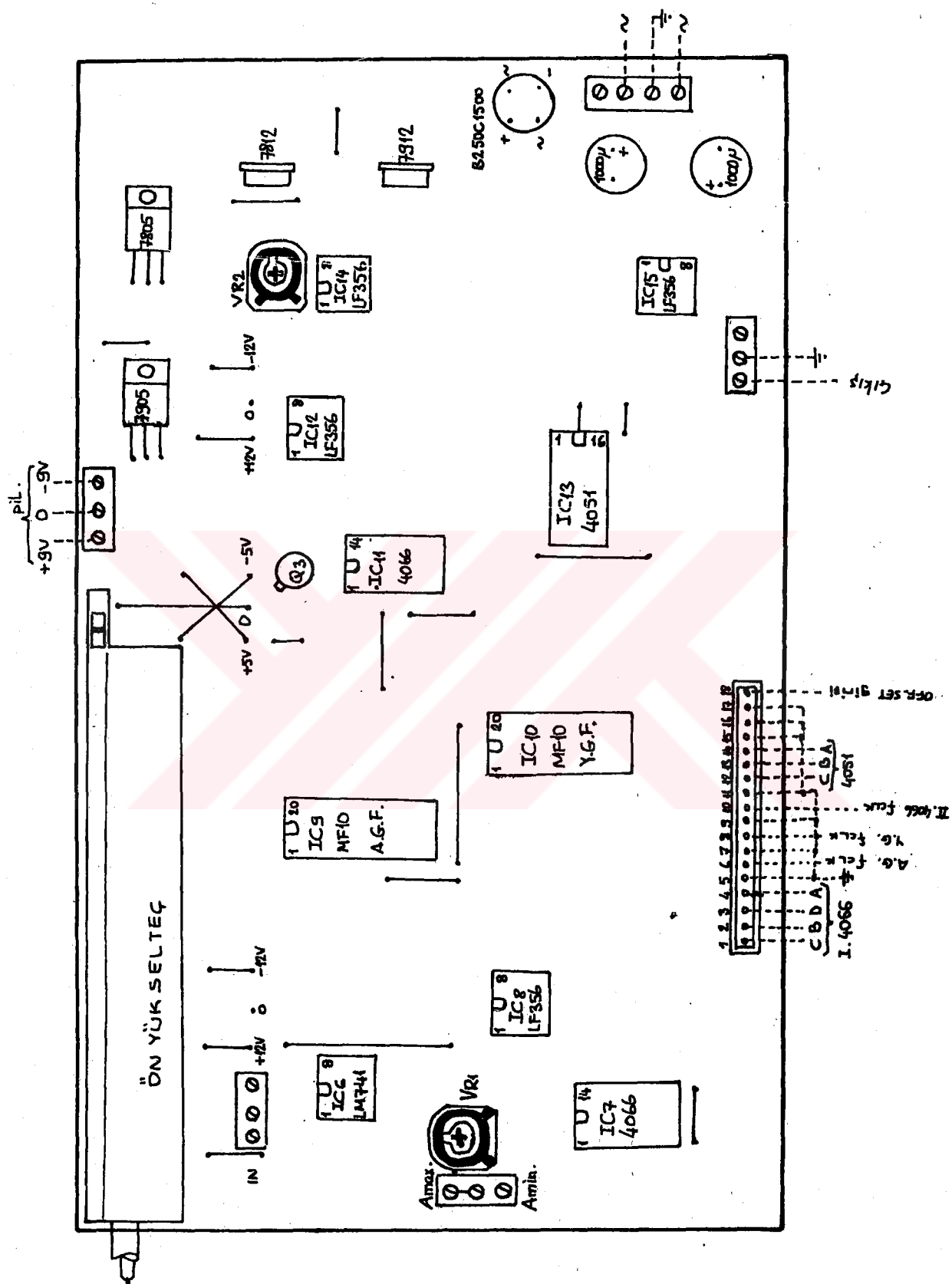
(81)



Şekil E.C.1.c: Analog Çoğullayıcı ve çıkış katı.



Sekil E.C.2: Baskı devre planı.



K A Y N A K L A R

- 1- Van Heuningen, R., Goovaerts, H.G., De Vries, F.R., «A Low Noise Isolated Amplifier System for Electrophysiological Measurements: Basic Considerations and Design», Med. & Biol. Eng. & Comput., 22, (1984), 77-85.
- 2- Cromwell, L., Weibell, F.J., Pfeiffer, E.A., Biomedical Instrumentation and Measurements, New Jersey, Prentice-Hall, Inc., (1980).
- 3- Beauchamp, K.G., Yuen, C.K., Digitals Methods for Signal Analysis, London, (1979).
- 4- Malmstadt, H.V., Enke, C.G., Horlick, G., Optimization of Electronic Measurements, W.A. Benjamin Inc.
- 5- Furno, G.S., Tompkins, W.J., «A Learning Filter for Removing Noise Interference», IEEE Transactions on Biomedical Eng., VOL.BME-30, NO.4, (1983), 234-235.
- 6- Pastaci, H., Elektronik Devreler, İstanbul, Nesil Matb. Yay. San. Tic. A.Ş., (1986).
- 7- Lacenette, K., The Switched-Capasitor Filter Handbook, Santa Clara, National Semiconductor Corporation, (1985).
- 8- CMOS Databook, Santa Clara, National Semiconductor Corporation.
- 9- Short, K.L., Microprocessors and Programmed Logic, N.J., Prentice-Hall, Inc., Englewood Cliffs, (1981).

ÖZGEÇMİŞ

---

1958 yılında İzmir'de doğdu . İlk ve Orta öğrenimini aynı şehirde tamamladı. 1980 yılında Ankara Yüksek Teknik Öğretmen Okulundan, Elektronik Lisans diplomasını aldı.

Aynı yıl İzmit Endüstri Meslek ve Teknik Lisesinde görev'e başladı. 1986 yılından beri, Yıldız Üniversitesi Kocaeli Meslek Yüksekokulunda Öğretim Görevlisi olarak çalışmaktadır.

Askerlik görevini yapmış olup, İngilizce ve Fransızca bilmektedir.

W. C.  
Yükseköğretim Kurulu  
Dokümantasyon Merkezi